



Instituto Tecnológico
GeoMinero de España

TRABAJOS DE INVESTIGACION MINERA
EN EL AREA DE LOS LLANILLOS -
(CACERES).

INFORME FINAL.

TOMO II - PLANOS



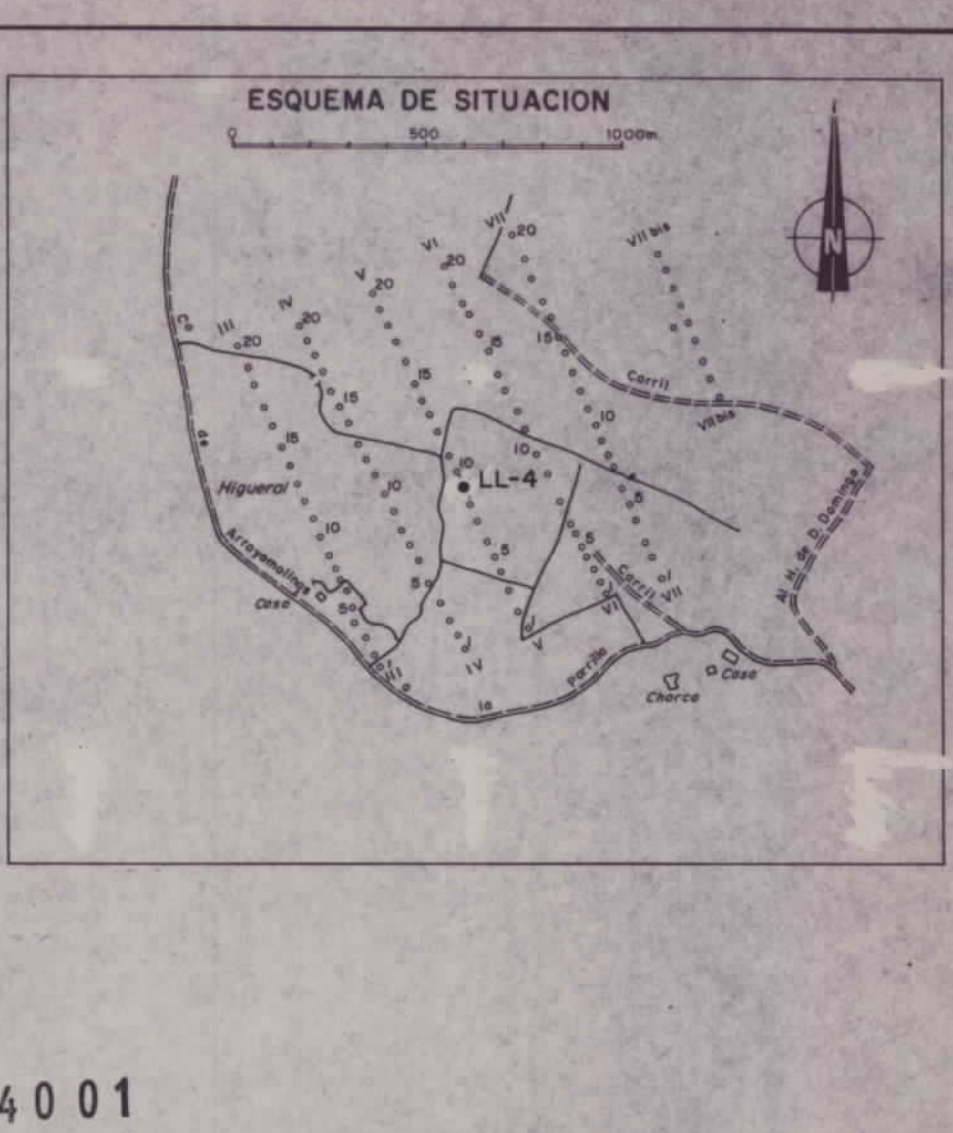
MINISTERIO DE INDUSTRIA Y ENERGIA

11224

RELACION DE PLANOS

| | | | | | |
|----|---|--|----|---|---|
| 1 | - | Plano de situacion de la Reserva LOS LLANILLOS | 23 | - | Idem (cobalto) |
| 2 | - | Plano geológico a escala 1:10.000. Zona con metamorfismo de contacto visible | 24 | - | Idem (molibdeno) |
| | | | 25 | - | Idem (cinc) |
| 3 | - | Investigación aeroradiamétrica y aeromagnética | 26 | - | Idem (boro) |
| 4 | - | Plano de síntesis de trabajos realizados en el área de "LOS LLANILLOS" (Antes de 1986) | 27 | - | Idem (Ytrio) |
| | | | 28 | - | Idem (flueur) |
| 5 | - | Anómalías de W | 29 | - | Idem (estroncio) |
| 6 | - | Anómalías de Sn | 30 | - | Idem (sodio) |
| 7 | - | Anomalías de As | 31 | - | Idem (potasio) |
| 8 | - | Anomalías de B | 32 | - | Idem (calcio) |
| 9 | - | Valores del factor de mineralización F-2 | 33 | - | Idem (magnesio) |
| 10 | - | Plano de magnetometría | 34 | - | Idem (silice) |
| 11 | - | Distribución cualitativa y cuantitativa de alteraciones | 35 | - | Idem (factor F1) |
| | | | 36 | - | Idem (factor F2) |
| 12 | - | Cartografía geológico-estructural del área Montánchez-La Parrilla, a escala 1:18.000 | 37 | - | Idem (factor F3) |
| | | | 38 | - | Idem (factor F4) |
| 13 | - | Mapa geológico de detalle, a escala 1:5.000 | 39 | - | Idem (factor F5) |
| 14 | - | Situación de trabajos geofísicos | 40 | - | Alteraciones hidrotermales en los "cuttings" de wagon-drill |
| 15 | - | Interpretación en una sección a lo largo del perfil A | 41 | - | Radiación gamma superficial en cuentas/segundo |
| 16 | - | Interpretación en una sección a lo largo del perfil C | 42 | - | Situación de calicatas y sondeos |
| | | | 43 | - | Calicata LL-1 ✓ |
| 17 | - | Situación de sondeos de wagon-drill | 44 | - | Calicata LL-2 ✓ |
| 18 | - | Leyes de W en los "cutings" de wagon-drill | 45 | - | Sondeo LL-4 ✓ |
| 19 | - | Contenidos en los "cuttings" de wagon-drill (wolframio) | 46 | - | Sondeo LL-5 ✓ |
| | | | 47 | - | Sondeo LL-6 ✓ |
| 20 | - | Idem (estaño) | 48 | - | Sondeo LL-7 ✓ |
| 21 | - | Idem (arsénico) | 49 | - | Sondeo LL-8 ✓ |
| 22 | - | Idem (cobre) | 50 | - | Sondeo LL-9 ✓ |

| | | | |
|----------------------------|--|--|--|
| DIBUJADO F. Pérez Moros | | MINISTERIO DE INDUSTRIA Y ENERGIA | |
| FECHA DICIEMBRE 1987 | | INSTITUTO GEOLOGICO Y MINERO DE ESPAÑA | |
| COMPROBADO J. Llorca | | PROYECTO: PREPARACION DE MUESTRAS EN ALDEA-MORET (CACERES) 88/87 E INVESTIGACION EN ZONAS DEL CENTRO-OESTE | |
| AUTOR G. Gil | | CLAVE | |
| ESCALA 1:200 | | PLANO N° | |
| CONSULTOR I G M E | | COLUMNA DEL SONDEO LL-4 | |
| | | 45 | |



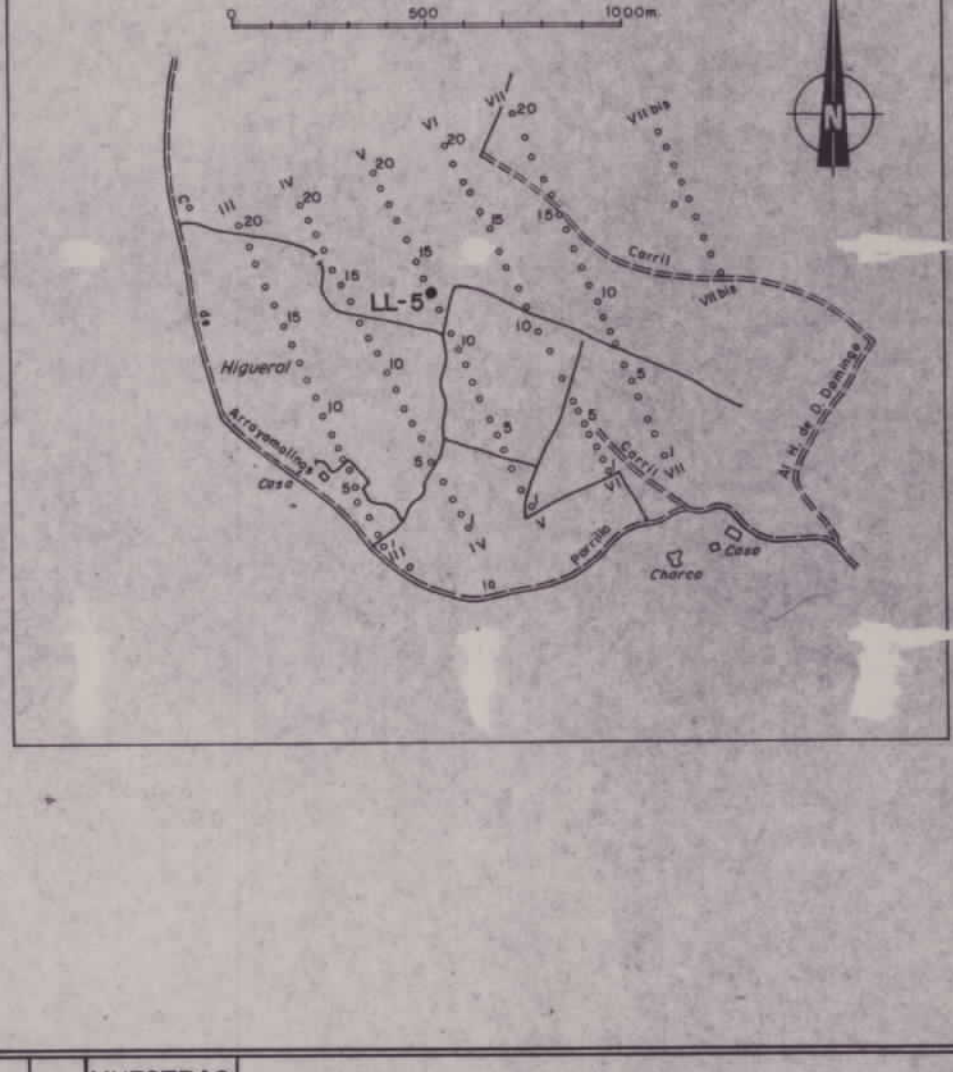
SONDEO: LL-4 (407,20 m)
 LOCALIZACION: Los Llanillos (CACERES)
 LONGITUD: 748670
 LATITUD: 4331990
 COTA: 419 m
 DIRECCION/INCLINACION: NM-20-W/30°NW

OBSERVACIONES: NOTA: El mineral de fluorescencia anaranjada entrado como porcelanita, es anarato.

11224001

| N° DE CAJA | LONGITUD m. TOTAL | REGISTRACION m. ANUAL | ESTRUCTURAS | COLUMNA LITOLÓGICA | DESCRIPCION | INCLINACION | MUESTRAS Analisis Químico P.L.T. | ANALISIS QUIMICO (ppm) | | | | | | | | |
|------------|-------------------|-----------------------|-------------|--------------------|--|-------------|----------------------------------|------------------------|----|-----|-----|----|------|------|-----|--|
| | | | | | | | | W | Sn | As | Cu | Mo | Zn | Au | Co | |
| 1 | 9,8 | 32,4 | | | Arcillas rojas micáceas. Son las pizarras del llanvir-Llanidello alteradas. A los 9,2 m pizarras grises con fuerte metamorfismo de contacto y óxidos de Fe. Presentan una neta esquistosidad de plano axial. | | | 818 | 0 | 672 | 144 | 0 | 1530 | - | 1 | |
| | | | | | | | | 549 | 0 | 555 | 139 | 0 | 1150 | - | - | |
| | | | | | | | | 414 | 0 | 467 | 129 | 0 | 1030 | - | 3 | |
| | | | | | | | | 298 | 0 | 369 | 111 | 0 | 740 | - | 3 | |
| 2 | 9,8 | | | | Pizarras grises moscovíticas. A las 13,5 filón de 7 de 29 cm con óxidos de Fe, puntos metálicos óraques y moscovitas en las salvandas. | | | 38 | 10 | 75 | 62 | 0 | 163 | - | - | |
| | 14,0 | | | | id. anterior. Nódulos sedimentarios de 2cm de diámetro. 2 filoncillos de 0 de 4 cm. | | | 20 | 11 | 109 | 42 | 0 | 122 | - | - | |
| 3 | 3,70 | 80,5 | | | Pizarras pardas con óxidos de Fe y nódulos medim. En el tramo medio 2 filoncillos de 5 mm de Q con óxid. de Fe. Traza W. | | | 65 | 19 | 198 | 68 | 0 | 110 | - | - | |
| | 17,70 | | | | Pizarras pardas y grises con nódulos y algún filoncillo milimétrico. Al final 5 m de color gris claro. | | | 78 | 44 | 286 | 134 | 0 | 172 | - | 45 | |
| 4 | 2,8 | 79,2 | | | Pizarras pardas con óxidos de Fe y nódulos medim. En el tramo medio 2 filoncillos de 5 mm de Q con óxid. de Fe. Traza W. | | | 54 | 33 | 351 | 133 | 0 | 182 | - | 67 | |
| | 20,5 | | | | Pizarras pardas y grises con nódulos y algún filoncillo milimétrico. Al final 5 m de color gris claro. | | | 39 | 17 | 387 | 145 | 0 | 86 | - | 1 | |
| 5 | 3,5 | 92 | | | Pizarras de gris clara a parduzcas por óxidos de Hierro, micáceas. En los 28 m hay un filón de cuarzo de 10 cm con 2% de algo de schellita diseminada vista con L.U.V. | | | 103 | 19 | 422 | 139 | 0 | 143 | 0,04 | 129 | |
| | 24,0 | | | | Pizarras de gris clara a parduzcas por óxidos de Hierro, micáceas. En los 28 m hay un filón de cuarzo de 10 cm con 2% de algo de schellita diseminada vista con L.U.V. | | | 37 | 27 | 263 | 99 | 0 | 118 | - | 27 | |
| 6 | 8 | 37,2 | | | Pizarras pardas con óxidos de Fe y nódulos medim. En el tramo medio 2 filoncillos de 5 mm de Q con óxid. de Fe. Traza W. | | | 31 | 29 | 472 | 122 | 0 | 171 | - | 38 | |
| | 32,0 | | | | Pizarras pardas con óxidos de Fe y nódulos medim. En el tramo medio 2 filoncillos de 5 mm de Q con óxid. de Fe. Traza W. | | | 43 | 21 | 772 | 184 | 0 | 168 | - | 13 | |
| 7 | 6,6 | 46,9 | | | Pizarras pardas con óxidos de Fe y nódulos medim. En el tramo medio 2 filoncillos de 5 mm de Q con óxid. de Fe. Traza W. | | | 25 | 18 | 347 | 113 | 0 | 133 | - | 4 | |
| | 38,6 | | | | Pizarras pardas con óxidos de Fe y nódulos medim. En el tramo medio 2 filoncillos de 5 mm de Q con óxid. de Fe. Traza W. | | | 19 | 0 | 758 | 64 | 0 | 247 | - | - | |
| 8 | 2,9 | 10,0 | | | Pizarras pardas con óxidos de Fe y nódulos medim. En el tramo medio 2 filoncillos de 5 mm de Q con óxid. de Fe. Traza W. | | | 29 | 25 | 232 | 62 | 0 | 118 | - | 3 | |
| | 41,5 | | | | Pizarras pardas con óxidos de Fe y nódulos medim. En el tramo medio 2 filoncillos de 5 mm de Q con óxid. de Fe. Traza W. | | | 27 | 34 | 218 | 100 | 0 | 76 | - | - | |
| 9 | 2,7 | 10,0 | | | Pizarras pardas con óxidos de Fe y nódulos medim. En el tramo medio 2 filoncillos de 5 mm de Q con óxid. de Fe. Traza W. | | | 50 | 28 | 580 | 162 | 0 | 98 | - | - | |
| | 44,2 | | | | Pizarras pardas con óxidos de Fe y nódulos medim. En el tramo medio 2 filoncillos de 5 mm de Q con óxid. de Fe. Traza W. | | | 45 | 22 | 806 | 40 | 0 | 143 | - | 4 | |
| 10 | 5,3 | 95,2 | | | Pizarras grises con nódulos sedimentarios y óxidos de Fe. En las grises hay un filón de 2 cm de óxidos. | | | 65 | 35 | 599 | 162 | 0 | 151 | - | 6 | |
| | 49,5 | | | | Pizarras grises con nódulos sedimentarios y óxidos de Fe. En las grises hay un filón de 2 cm de óxidos. | | | 29 | 36 | 57 | 97 | 0 | 120 | - | 14 | |
| 11 | 4,2 | 69,7 | | | Pizarras grises con nódulos sedimentarios y óxidos de Fe. En las grises hay un filón de 2 cm de óxidos. | | | 58 | 39 | 82 | 133 | 0 | 151 | - | 22 | |
| | 53,7 | | | | Pizarras grises con nódulos sedimentarios y óxidos de Fe. En las grises hay un filón de 2 cm de óxidos. | | | 45 | 37 | 430 | 234 | 0 | 168 | - | 30 | |
| 12 | 3,35 | 68 | | | Pizarras grises con nódulos sedimentarios y óxidos de Fe. En las grises hay un filón de 2 cm de óxidos. | | | 22 | 23 | 928 | 181 | 0 | 123 | - | 20 | |
| | 57,05 | | | | Pizarras grises con nódulos sedimentarios y óxidos de Fe. En las grises hay un filón de 2 cm de óxidos. | | | 32 | 24 | 269 | 86 | 0 | 90 | - | 13 | |
| 13 | 3,05 | 95 | | | Pizarras grises con nódulos sedimentarios y óxidos de Fe. En las grises hay un filón de 2 cm de óxidos. | | | 29 | 27 | 315 | 68 | 0 | 119 | - | 5 | |
| | 60,0 | | | | Pizarras grises con nódulos sedimentarios y óxidos de Fe. En las grises hay un filón de 2 cm de óxidos. | | | 34 | 30 | 314 | 68 | 0 | 63 | - | 14 | |
| 14 | 3,8 | 78 | | | Pizarras grises con nódulos sedimentarios y óxidos de Fe. En las grises hay un filón de 2 cm de óxidos. | | | 53 | 24 | 81 | 34 | 0 | 63 | - | 12 | |
| | 63,90 | | | | Pizarras grises con nódulos sedimentarios y óxidos de Fe. En las grises hay un filón de 2 cm de óxidos. | | | 35 | 21 | 26 | 14 | 0 | 57 | - | 6 | |
| 15 | 4,20 | 100 | | | Pizarras grises con nódulos sedimentarios y óxidos de Fe. En las grises hay un filón de 2 cm de óxidos. | | | 13 | 0 | 52 | 11 | 0 | 387 | - | 8 | |
| | 68,10 | | | | Pizarras grises con nódulos sedimentarios y óxidos de Fe. En las grises hay un filón de 2 cm de óxidos. | | | 21 | 10 | 34 | 30 | 0 | 131 | - | 8 | |
| 16 | 3,30 | 100 | | | Pizarras grises con nódulos sedimentarios y óxidos de Fe. En las grises hay un filón de 2 cm de óxidos. | | | 42 | 37 | 124 | 90 | 0 | 176 | - | 15 | |
| | 71,40 | | | | Pizarras grises con nódulos sedimentarios y óxidos de Fe. En las grises hay un filón de 2 cm de óxidos. | | | 21 | 16 | 29 | 37 | 0 | 91 | - | 12 | |
| 17 | 3,6 | 100 | | | Alternancias milimétricas y centimétricas de lutitas y areniscas con Slumps Ripples, etc. | | | 29 | 15 | 202 | 73 | 0 | 89 | - | 11 | |
| | 75,0 | | | | Alternancias milimétricas y centimétricas de lutitas y areniscas con Slumps Ripples, etc. | | | 32 | 11 | 18 | 35 | 0 | 77 | - | 8 | |
| 18 | 4,6 | 91 | | | id. anterior. El último metro es una arenisca gris. | | | 17 | 0 | 10 | 37 | 0 | 60 | - | 4 | |
| | 79,60 | | | | id. anterior. El último metro es una arenisca gris. | | | 39 | 27 | 100 | 45 | 0 | 101 | - | 11 | |
| 19 | 4,7 | 89 | | | id. anterior pero predominando los tramos lutíticos. | | | 52 | 0 | 57 | 40 | 0 | 130 | - | 3 | |
| | 84,30 | | | | id. anterior pero predominando los tramos lutíticos. | | | 22 | 0 | 38 | 0 | 0 | 61 | - | 6 | |
| 20 | 4,1 | 100 | | | Lutitas gris-azuladas masivas. Algun tramo milimétrico de pirita sedimentaria. | | | 22 | 0 | 27 | 51 | 0 | 80 | - | 2 | |
| | 88,40 | | | | Lutitas gris-azuladas masivas. Algun tramo milimétrico de pirita sedimentaria. | | | 30 | 0 | 46 | 27 | 0 | 68 | - | 10 | |
| 21 | 3,7 | 100 | | | Lutitas gris-azuladas rosas. Al final alternancias areniscas milimétricas. | | | 89 | 0 | 157 | 47 | 0 | 99 | - | 12 | |
| | 92,10 | | | | Lutitas gris-azuladas rosas. Al final alternancias areniscas milimétricas. | | | 54 | 0 | 92 | 43 | 0 | 78 | - | 21 | |
| 22 | 3,9 | 100 | | | Lutitas gris-azulada con intercalaciones areniscas mín. A las 94,50 lutitas (60 cm) Slumps, ripples. | | | 11 | 0 | 23 | 43 | 0 | 142 | - | 18 | |
| | 96,0 | | | | Lutitas gris-azulada con intercalaciones areniscas mín. A las 94,50 lutitas (60 cm) Slumps, ripples. | | | 18 | 0 | 0 | 36 | 0 | 84 | - | 26 | |
| 23 | 3,85 | 91 | | | Alternancia mm de lutitas y areniscas al 50%. Nódulos (o cantos blandos) muy abundantes. | | | 107 | 35 | 383 | 55 | 0 | 319 | - | 14 | |
| | 99,85 | | | | Alternancia mm de lutitas y areniscas al 50%. Nódulos (o cantos blandos) muy abundantes. | | | 16 | 0 | 12 | 32 | 0 | 104 | - | - | |
| 24 | 3,95 | 100 | | | id. anterior | | | 80 | 0 | 0 | 31 | 0 | 90 | - | 21 | |
| | 103,8 | | | | id. anterior | | | 18 | 0 | 0 | 15 | 0 | 126 | - | 15 | |
| 25 | 4,0 | 100 | | | id. anterior | | | 14 | 0 | 0 | 21 | 0 | 92 | - | 19 | |
| | 107,9 | | | | id. anterior | | | 14 | 11 | 0 | 27 | 0 | 110 | - | 19 | |
| 26 | 3,9 | 100 | | | Lutitas gris azuladas con poca frac. arenosa. Los últimos 50 cm están algo sericitizados. | | | 15 | 0 | 0 | 45 | 0 | 139 | - | 13 | |
| | 111,8 | | | | Lutitas gris azuladas con poca frac. arenosa. Los últimos 50 cm están algo sericitizados. | | | 23 | 12 | 29 | 42 | 0 | 190 | - | 18 | |
| 27 | 3,9 | 100 | | | Lutitas gris azuladas con poca frac. arenosa. Algun nódulo y el último tramo algo alterada. | | | 70 | 26 | 149 | 56 | 0 | 137 | - | 16 | |
| | 115,9 | | | | Lutitas gris azuladas con poca frac. arenosa. Algun nódulo y el último tramo algo alterada. | | | 14 | 0 | 73 | 26 | 0 | 113 | - | 10 | |
| 28 | 3,75 | 100 | | | Lutitas grises con nódulos muy alterados. A las 116,9 un filón de 0,5 m de cuarzo. | | | 14 | 0 | 23 | 32 | 0 | 93 | - | 15 | |
| | 119,55 | | | | Lutitas grises con nódulos muy alterados. A las 116,9 un filón de 0,5 m de cuarzo. | | | 32 | 16 | 112 | 30 | 0 | 126 | - | 10 | |
| 29 | 4,35 | 96 | | | Lutitas grises con nódulos alterados. A los 120,3 filón de 0 de 20 cm con pirita, Arsenopirita y óxidos. W visto con L.U.V. | | | 38 | 16 | 147 | 40 | 0 | 131 | - | 16 | |
| | 123,90 | | | | Lutitas grises con nódulos alterados. A los 120,3 filón de 0 de 20 cm con pirita, Arsenopirita y óxidos. W visto con L.U.V. | | | 58 | 39 | 971 | 100 | 0 | 110 | - | 17 | |
| 30 | 4,0 | 100 | | | Los 1,5 m últimos areniscas gris-azuladas con 4 filoncillos de 1 mm. resto lutitas grises con nódulos alterados. | | | 25 | 25 | 36 | 46 | 0 | 93 | - | 19 | |
| | 127,9 | | | | Los 1,5 m últimos areniscas gris-azuladas con 4 filoncillos de 1 mm. resto lutitas grises con nódulos alterados. | | | 20 | 20 | 35 | 44 | 0 | 96 | - | 19 | |
| 31 | 3,9 | 100 | | | En 1er m arenisca gris azulada con 3 filoncillos milimétricos, con pirita y arsenopirita. El resto pizarras grises con nódulos. | | | 25 | 34 | 129 | 80 | 0 | 210 | - | 27 | |
| | 131,8 | | | | En 1er m arenisca gris azulada con 3 filoncillos milimétricos, con pirita y arsenopirita. El resto pizarras grises con nódulos. | | | 23 | 20 | 78 | 56 | 0 | 155 | - | 18 | |
| 32 | 4,0 | 100 | | | Lutitas grises con nódulos y varios filoncillos milimétricos. Alguna pirita sedimentaria | | | 17 | 10 | 11 | 31 | 0 | 117 | - | 24 | |
| | 135,8 | | | | Lutitas grises con nódulos y varios filoncillos milimétricos. Alguna pirita sedimentaria | | | 16 | 0 | 15 | 34 | 0 | 114 | - | 26 | |
| 33 | 4,0 | 100 | | | Lutitas grises con nódulos. De los 0,60 a los 1,8 m predomina fracción arenosa. | | | 10 | 0 | 41 | 35 | 0 | 113 | - | 26 | |
| | 139,8 | | | | Lutitas grises con nódulos. De los 0,60 a los 1,8 m predomina fracción arenosa. | | | 14 | 0 | 0 | 31 | 0 | 88 | - | 27 | |
| 34 | 3,95 | 100 | | | Lutitas grises con nódulos algún tramo alteradas. | | | 17 | 0 | 14 | 37 | 0 | 166 | - | 23 | |
| | 143,75 | | | | Lutitas grises con nódulos algún tramo alteradas. | | | 20 | 15 | 36 | 40 | 0 | 120 | - | 22 | |
| 35 | 4,05 | 100 | | | Lutitas grises algo alteradas. A los 145,0 filón de 0 de 3 cm transversal (oblicuo) al testigo con sulfuros. A los 146,25 filón de 0 de 12 cm con calcopirita. | | | 55 | 28 | 53 | 76 | 0 | 116 | - | 18 | |
| | 147,80 | | | | Lutitas grises algo alteradas. A los 145,0 filón de 0 de 3 cm transversal (oblicuo) al testigo con sulfuros. A los 146,25 filón de 0 de 12 cm con calcopirita. | | | 72 | 19 | 60 | 45 | 0 | 135 | - | 21 | |
| 36 | 4,2 | | | | Lutitas grises con nódulos. Un poco arenosas. | | | 17 | 0 | 18 | 38 | 0 | 90 | - | 19 | |
| | 152,0 | | | | Lutitas grises con nódulos. Un poco arenosas. | | | 19 | 0 | 29 | 46 | 0 | 150 | - | 18 | |
| 37 | 3,95 | 100 | | | id. anterior | | | 19 | 13 | 21 | 40 | 0 | 111 | - | 17 | |
| | 155,95 | | | | id. anterior | | | 18 | | | | | | | | |

| | | | |
|----------------------------|--|--|--|
| DIBUJADO F. Pérez Meras | | MINISTERIO DE INDUSTRIA Y ENERGIA | |
| FECHA DICIEMBRE 1987 | | INSTITUTO GEOLOGICO Y MINERO DE ESPAÑA | |
| COMPROBADO J. L. García | | PROYECTO: PREPARACION DE MUESTRAS EN ALDEANORET (CLAVE (CACERES) 86/87 E INVESTIGACION EN ZONAS DEL CENTRO-OESTE | |
| AUTOR G. Gil | | ESCALA 1:200 | |
| CONSULTOR I G M E | | COLUMNA DEL SONDEO LL-5 | |
| | | PLANO N° 46 | |

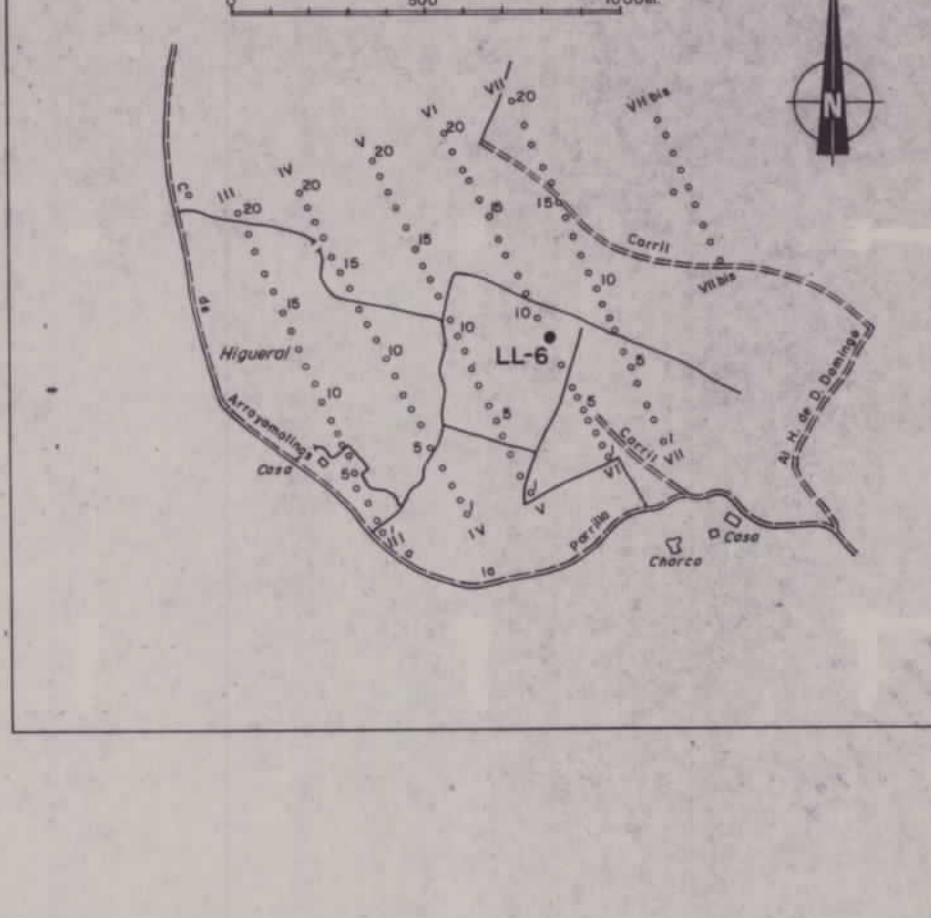


SONDEO: LL-5 (419,00 m)
 LOCALIZACION: Los Llanillos (CACERES)
 LONGITUD: 748580
 LATITUD: 4332170
 COTA:
 DIRECCION/INCLINACION: NM-20-W/30°NW

11224002

| N° DE LAJA | LONGITUD m. | RECUPERACION % | ESTRUCTURAS | COLUMNA LITOLÓGICA | DESCRIPCION | INCLINACION | DIRECCION | MUESTRAS | ANALISIS QUIMICO (ppm) | | | | | | | |
|------------|-------------|----------------|-------------|--------------------|--|-------------|-----------|----------|------------------------|-----|-----|------|-----|-----|-----|--|
| | | | | | | | | | W | Sn | As | Cu | Mo | Zn | Au | |
| 1 | 3,0 | 40 | | | Limos azules | | 30°20'W | | | 260 | 30 | 680 | 60 | | 100 | |
| | 2,4 | 77 | | | Pizarras alteradas con N.D.C., óxidos de Fe. A los 4 m filón de Q con óxidos de Fe. | | | | | 400 | 40 | 480 | 40 | | 100 | |
| 2 | 5,40 | | | | Pizarras grises alteradas, óxidos de Fe. 3 filones de Q con óxidos de Fe milimétricos. | | | | | 370 | 120 | 380 | 30 | | 110 | |
| | 7,80 | | | | Id. anterior. 2 filones, el 1° de Q y el 2° con óxidos de Fe. | | | | | 200 | 60 | 330 | 30 | | 110 | |
| 3 | 10,55 | | | | Id. anterior. No filones. Nódulos Fe ruginosos. | | | | | 320 | 80 | 340 | 40 | | 100 | |
| 4 | 12,95 | | | | Id. anterior. | | | | | | | | | | | |
| 5 | 16,00 | | | | Pizarras grises y violáceas alteradas con óxidos de Fe. | | | | | | | | | | | |
| 6 | 18,60 | | | | Pizarras grises y violáceas alteradas con nódulos y óxidos de Fe. | | | | | | | | | | | |
| 7 | 21,40 | | | | Pizarras gris-parduzco alteradas con nódulos y óxidos de Fe. | | | | | | | | | | | |
| 8 | 24,85 | | | | Id. anterior. Del 27,05 al 27,45 scheelita diseminada y wolframita abundante. | | | | | | | | | | | |
| 9 | 27,45 | | | | Id. anterior. Del 27,45 al 28,80 sigue la scheelita anterior. | | | | | 130 | 30 | 310 | 80 | | 100 | |
| 10 | 29,75 | | | | Id. anterior. A las 31,85 un poco de scheelita. | | | | | | | | | | | |
| 11 | 32,15 | | | | Id. anterior. Muy alteradas y fragmentadas. | | | | | 140 | 30 | 270 | 70 | | 50 | |
| 12 | 35,70 | | | | Los primeros tramos, pizarras muy alteradas. Después pizarras oscuras con óxidos de Fe. 2 filones de 3-6 mm a los 38 m y 36,5 m de óxidos de Fe y mica. | | | | | | | | | | | |
| 13 | 39,0 | | | | Pizarras oscuras con óxidos de Fe. 2 filones de 4-5 mm de Q y Fe con forma - tridimensional. | | 30°20'W | | | | | | | | | |
| 14 | 41,70 | | | | Pizarras grises con nódulos con óxidos de Fe, alteradas. | | | | | | | | | | | |
| 15 | 44,10 | | | | Id. anterior. Una parte grande disgregada. | | | | | | | | | | | |
| 16 | 47,25 | | | | Pizarras grises poco alteradas. Nódulos y óxidos de Fe. Se perpendicular al eje del sondeo. | | | | | | | | | | | |
| 17 | 49,65 | | | | Id. anterior. A los 50,20 m red de varios filones de hasta 5 cm de Q y óxidos de Fe hasta los 24,10 m. | | | | | 110 | 60 | 1460 | 60 | | 160 | |
| 18 | 52,25 | | | | Pizarras grises con algún nódulo, poco alteradas. | | | | | | | | | | | |
| 19 | 54,60 | | | | Id. anterior. A los 55,75 reducción del diámetro a 4,5 cm. A los 55,80 filón de Q de 1 cm. | | | | | | | | | | | |
| 20 | 57,30 | | | | Pizarras grises azuladas con algunos nódulos sin alterar. | | | | | | | | | | | |
| 21 | 60,00 | | | | Id. anterior. A los 64,25 m un filón de 3 mm de Q con pirita. | | | | | | | | | | | |
| 22 | 64,50 | | | | Id. anterior. A los 64,60 un filón de 3 mm de Q con pirita. | | 30°20'W | | | | | | | | | |
| 23 | 68,10 | | | | Pizarras gris azuladas. En los 71,50 algún cuarzo de segregación. | | | | | | | | | | | |
| 24 | 71,50 | | | | Id. anterior. 2 filoncillos de 1 mm de Q. SCHEELITA VISTAL.U.V. | | | | | 10 | 0 | 10 | 40 | | 150 | |
| 25 | 74,90 | | | | Pizarras gris azuladas. Varios Q de segregación y varios filones milimétricos de Q. Pirita sedimentaria. A los 76,25 m con SCHEELITA diseminada vista con L.U.V. | | | | | 10 | 10 | 0 | 30 | | 170 | |
| 26 | 78,35 | | | | Id. anterior. A los 78,85 filón de Q con sulfuros diseminados. Varios filoncillos milimétricos de Q con pirita, arsenopirita y Q de segregación. | | | | | 20 | 30 | 380 | 30 | | 160 | |
| 27 | 81,85 | | | | Id. anterior. Algún filoncillo milimétrico. Pirita sedimentaria | | | | | | | | | | | |
| 28 | 85,25 | | | | Id. anterior. Id. | | | | | | | | | | | |
| 29 | 88,75 | | | | Pizarras gris azules. Algún cuarzo de segregación. Pirita sedimentaria. | | 30°20'W | | | | | | | | | |
| 30 | 92,20 | | | | Pizarras gris azuladas algo areniscosas. Varios filoncillos milimétricos de Q y pirita. A los 96,60 un filón de 2 cm de Q con pirita y con SCHEELITA vista con L.U.V. | | | | | 20 | 20 | 950 | 40 | | 520 | |
| 31 | 95,70 | | | | Id. anterior. A los 97,40 y a los 97,70 dos filones de Q de 4 cm con pirita. Varios filoncillos milimétricos de Q con pirita. Observación: los filones gruesos van transversales, los filones oblongos van longitudinales. | | | | | 20 | 20 | 130 | 40 | | 200 | |
| 32 | 99,20 | | | | Id. anterior. A los 102 filones de Q con pirita de 5 cm. | | | | | | | | | | | |
| 33 | 102,05 | | | | Id. anterior. Varios filones de Q con pirita. La pirita es abundante. | | | | | 10 | 10 | 160 | 30 | | 130 | |
| 34 | 105,10 | | | | Id. anterior. A los 105,40 filón de 2 cm de Q con pirita. | | | | | | | | | | | |
| 35 | 108,10 | | | | Pizarras gris azulada. Ausencia de filones. | | | | | | | | | | | |
| 36 | 111,00 | | | | Id. anterior. 1 filoncillo de Q + pirita. | | | | | | | | | | | |
| 37 | 114,00 | | | | Id. anterior. Algún filoncillo de Q + pirita y cuarzos de segregación + L.U.V. | | 30°20'W | | | | | | | | | |
| 38 | 116,80 | | | | Id. anterior. Ausencia de filones. | | | | | | | | | | | |
| 39 | 119,75 | | | | Id. anterior. Algún filoncillo milimétrico de Q + pirita. Por la mitad del tramo, zona de fractura | | | | | 30 | 20 | 20 | 30 | | 390 | |
| 40 | 122,90 | | | | Id. anterior. Pirita sedimentaria. | | | | | | | | | | | |
| 41 | 125,85 | | | | Id. anterior. A los 127 m filón de 3 cm de Q + pirita. 3 filoncillos milimétricos con pirita. | | | | | 10 | 10 | 290 | 30 | | 120 | |
| 42 | 128,70 | | | | Id. anterior. Pirita sedimentaria. Ausencia de filones. | | | | | | | | | | | |
| 43 | 131,70 | | | | Id. anterior. Algún filón de Q sin sulfuros. A los 132,40 filón de 1 cm de pirita sin Q. | | | | | 10 | 0 | 20 | 30 | | 110 | |
| 44 | 134,45 | | | | Pizarras azuladas-negruzcas con algún tramo grafitosas con Py sedimentarias. Cuarzos de segregación, sigmoidales, con algo de Py. Algunos de hasta 2 cm. | | | | | | | | | | | |
| 45 | 137,40 | | | | Id. anterior. Mucho Q de segregación. A los 140,10, filón de 3-4 mm, de Py. | | 30°20'W | | | | | | | | | |
| 46 | 140,35 | | | | Id. anterior. A los 140,75 filón de Py de 1 cm. | | | | | 10 | 10 | 110 | 30 | | 110 | |
| 47 | 143,10 | | | | Pizarras negras. Id. anterior. | | | | | | | | | | | |
| 48 | 146,00 | | | | Id. anterior. | | | | | | | | | | | |
| 49 | 149,00 | | | | Id. anterior. | | | | | | | | | | | |
| 50 | 151,75 | | | | Id. anterior. | | | | | | | | | | | |
| 51 | 154,80 | | | | Id. anterior. | | | | | | | | | | | |
| 52 | 157,95 | | | | Id. anterior. | | | | | | | | | | | |
| 53 | 160,80 | | | | Id. anterior, menos cuarzos de segregación | | | | | | | | | | | |
| 54 | 163,80 | | | | Pizarras gris-azuladas, con algún cuarzo de segregación y algo, poco, de Py sedimentaria. | | 29°20'W | | | 150 | 10 | 0 | 30 | | 230 | |
| 55 | 166,65 | | | | Id. anterior. A los 167,50 dos filones de 2-5 mm de Q y sulfuros, - idéntica a la de la Fariña). | | | | | | | | | | | |
| 56 | 169,70 | | | | Id. anterior. No filones. Alguna intercalación arenosa | | | | | | | | | | | |
| 57 | 172,60 | | | | Id. anterior. | | | | | | | | | | | |
| 58 | 175,60 | | | | Id. anterior. 1 cuarzo de segregación con sulfuros. | | | | | | | | | | | |
| 59 | 178,40 | | | | Id. anterior. A las 181,35 l filón de sulfuros (Py, Apy) de 2-3 mm. | | | | | 40 | 30 | 80 | 70 | | 110 | |
| 60 | 181,40 | | | | Id. anterior. | | | | | | | | | | | |
| 61 | 184,35 | | | | Pizarras grises, algo arenosas. So a al eje del sondeo. Se observa la Sp. No filones. | | | | | | | | | | | |
| 62 | 187,25 | | | | Pizarras grises arenosas. Sp marcada A los 187,50 filón de Q con sulfuros (Py, Apy.) de 5 cm. W visto con L.U.V. en los sulfuros. | | 29°20'W | | | 520 | 60 | 130 | 50 | | 90 | |
| 63 | 190,20 | | | | Pizarras gris-azuladas con algo de Py sedimentaria. | | | | | | | | | | | |
| 64 | 193,0 | | | | Id. anterior. | | | | | | | | | | | |
| 65 | 196,05 | | | | Id. anterior. Algún cuarzo de exudación y 3 filones milimétricos de Q. | | | | | | | | | | | |
| 66 | 198,90 | | | | Id. anterior. Algún Q de exudación. A los 200,45 un filón de Q de 3 mm con sulfuros en la salbanda. | | | | | 130 | 100 | 4 | 340 | 50 | 110 | |
| 67 | 201,90 | | | | Id. anterior. Algún Q de exudación. Varios cantos blandos y nódulos arcillosos. Algún filón de Q milimétrico. | | | | | | | | | | | |
| 68 | 204,70 | | | | Pizarras gris azuladas. Q de exudación. A los 205,70 y 206,50, 2 filones de Q de 1 cm sin sulfuros. | | | | | 20 | 40 | 70 | 50 | | 110 | |
| 69 | 207,60 | | | | Pizarras gris-azuladas. Algún canto blando arcilloso. | | | | | | | | | | | |
| 70 | 210,50 | | | | Id. anterior. | | | | | | | | | | | |
| 71 | 213,40 | | | | Id. anterior. Alternancia fuerte de cantos blandos de tramos finos arenosos. A los 215,45 filón de Q de 2 mm con sulfuros. Transversal (hasta los 215,45 cm de W). A los 215,45 cm de W diseminada. * Apartito a 283,80 | | 30°20'W | | | 100 | 40 | 290 | 40 | | 90 | |
| 72 | 216,20 | | | | Id. anterior. Alternancia centimétrica de tramos arenosos. (según normal según criterios sedimentológicos) | | | | | | | | | | | |
| 73 | 219,20 | | | | Id. anterior. | | | | | | | | | | | |
| 74 | 222,20 | | | | Id. anterior. Filones mm a los 220,20 de Q con sulfuros. A los 224,80 tramo de 20 cm cuarítico | | | | | | | | | | | |
| 75 | 225,30 | | | | Tramo cuarítico fundamentalmente con finas intercalaciones pelíticas. A los 228 filón de 4-5 cm de Q con sulfuros. Observación: el filón de los barros de W diseminada. * Apartito a 283,80 | | | | | 80 | 90 | 6 | 080 | 180 | 40 | |
| 76 | 228,30 | | | | Id. anterior. A los 231,20 filón de Q de 2 cm y a los 231,80 otro filón de Q de 1 cm ambos sin sulfuros. | | | | | | | | | | | |
| 77 | 230,60 | | | | Id. anterior. A los 234,10 filón de 2 cm de Q con sulfuros. W visto con L.U.V. diseminada en el cuarzo. | | | | | 50 | 10 | 10 | 20 | | 40 | |
| 78 | 233,10 | | | | Cuarcita americana masiva. A los 238 filón de Q con Apy hasta lps 238,60 (50 cm) W visto con L.U.V. y naranja | | | | | 70 | 10 | 14 | 130 | 30 | 90 | |
| 79 | 239,80 | | | | Id. anterior. Algún tramo filítico centimétrico. So a 45° con el eje del sondeo. | | 32°20'W | | | | | | | | | |
| 80 | 242,75 | | | | Id. anterior. Zona de fractura. Filones de Q. | | | | | | | | | | | |
| 81 | 246,20 | | | | Id. anterior. A los 248,25 (hasta los 248,70) filón de Q con turmalina y algunos sulfuros. Trazas de naranja. | | | | | 60 | 10 | 620 | 50 | | 120 | |
| 82 | 249,0 | | | | Id. anterior. Varios filones centimétricos de Q con algunos sulfuros. | | | | | | | | | | | |
| 83 | 251,50 | | | | Id. anterior. 1 filón milimétrico con sulfuros. | | | | | | | | | | | |
| 84 | 254,80 | | | | Id. anterior. Varios filones de Q milimétricos | | | | | 430 | 130 | 2 | 550 | 100 | 560 | |
| 85 | 257,80 | | | | Id. anterior. Del 257,80 a los 258,60 zona | | | | | | | | | | | |

| | | | |
|-------------------------|--|---|--|
| DIBUJADO F. Pérez Moros | | MINISTERIO DE INDUSTRIA Y ENERGIA | |
| FICHA DICIEMBRE 1987 | | INSTITUTO GEOLOGICO Y MINERO DE ESPAÑA | |
| COMPROBADO J. Llorca | | PROYECTO: PREPARACION DE MUESTRAS EN ALDEA-DORÉ (CACERES) 86/87 E INVESTIGACION EN ZONAS DEL CENTRO-OESTE | |
| AUTOR G. Gil | | CLAVE | |
| ESCALA 1:200 | | PLANO N° | |
| CONSULTOR I G M E | | COLUMNNA DEL SONDEO LL-6 | |
| | | 47 | |



SONDEO: LL-6 (432,00 m)
 LOCALIZACION: Los Llanillos (CACERES)
 LONGITUD: 748 890
 LATITUD: 4332030
 COTA:
 DIRECCION/INCLINACION: NM-20-W/30°NW
 OBSERVACIONES:

11224003

| N° DE CAJA | LONGITUD (m) | RECUERACION (%) | ESTRUCTURAS | COLUMNA LITOLÓGICA | DESCRIPCION | INCLINACION DIRECCION | MUESTRAS ANALISIS QUIMICO (ppm) | | | | | | | |
|------------|--------------|-----------------|-------------|--------------------|--|-----------------------|---------------------------------|----|-----|-----|-----|-----|----|--|
| | | | | | | | W | Sn | As | Cu | Mo | Zn | Au | |
| 1 | 5,50 | 54,5 | | | Del 0 al 4,2 suelo(arcillas rojas) A los 4,2 pizarras gris-rojizas alteradas, con oxidos de Fe. | 30° 20' W | 60 | 0 | 170 | 40 | 70 | 80 | | |
| 2 | 5,50 | 3,40 | 70,6 | | Pizarras gris-rojizas, alteradas con oxidos de Fe y algunos nódulos. Puente metamorfismo de contacto. | | 20 | 0 | 110 | 50 | 70 | | | |
| 3 | 8,90 | 3,10 | 77,4 | | Id. anterior | | 60 | 0 | 250 | 80 | 70 | | | |
| 4 | 12,00 | 2,60 | 92,3 | | Id. anterior | | 80 | 0 | 320 | 60 | 70 | | | |
| 5 | 14,60 | 3,90 | 61,5 | | Id. anterior. Muy alterado. El testigo está demorinado. Posible zona de frag lura. | | 150 | 0 | 90 | 40 | 70 | 90 | | |
| 6 | 18,50 | 6,00 | 40 | | Id. anterior. Muy alterado. Algunos filoncillos milimétricos de óxidos de Fe sin cuarzo. | | 20 | 0 | 120 | 50 | 60 | | | |
| 7 | 24,50 | 2,50 | 96 | | Id. anterior. Muy alterado. Tramos desmoronados. Algunos nódulos. Algunos filoncillos de ox. de Fe sin cuarzo. | 31° 20' W | 70 | 0 | 230 | 60 | 60 | | | |
| 8 | 27,00 | 2,60 | 92,3 | | Id. anterior. Nódulos a 27,46 m. 1 cm ox. Fe y mica en salb. A 27,56 m. 20 cm abundante mica y ox. Fe en salb. Ambos 90° eje | | 70 | 0 | 230 | 60 | 60 | | | |
| 9 | 29,60 | 1,70 | 100 | | Id. anterior. A los 29,10 filón de 1 cm de Q con óxidos. | | 110 | 0 | 200 | 60 | 80 | | | |
| 10 | 33,60 | 2,30 | 100 | | Id. anterior. Nódulos. A los 31,60 un tramo algo breccificado de 10 cm que puede ser fractura. Oxidos de Fe. | | 20 | 0 | 120 | 50 | 70 | | | |
| 11 | 36,00 | 2,40 | 100 | | Id. anterior. Algunos filoncillos milimétricos de óxidos de Fe. A las 39,10 filón de 4 cm de ox. de Fe sin cuarzo - transversal al eje. | | 60 | 30 | 150 | 390 | 90 | | | |
| 12 | 38,00 | 2,00 | 100 | | Id. anterior. A los 36,20 zona de 20 cm con ox. Fe. A 35,50 m. 1 cm | | | | | | | | | |
| 13 | 41,70 | 3,70 | 81,1 | | Id. anterior. A los 36,20 zona de 20 cm con ox. Fe. A 35,50 m. 1 cm | | | | | | | | | |
| 14 | 43,50 | 1,80 | 100 | | Id. anterior. A los 36,20 zona de 20 cm con ox. Fe. A 35,50 m. 1 cm | | | | | | | | | |
| 15 | 46,30 | 2,80 | 100 | | Id. anterior. Algunos filoncillos de óxidos de Fe (uno de hasta 1 cm) | | | | | | | | | |
| 16 | 49,50 | 3,20 | 100 | | Id. anterior. A los 45,80 hasta 49,30 filón de 50 cm de Q lechoso con algo de sulfuros amorfos o coliformes. Forma 35° | 31° 20' W | 30 | 20 | 300 | 170 | 110 | | | |
| 17 | 53,00 | 3,50 | 100 | | Id. anterior. A los 50,20 filón de 0 de 30 cm de cristales de Fe. A los 51,60 filón de 10 cm de Py y Arv. A los 51,60 filón de Q con Arv. | 31° 20' W | 60 | 10 | 250 | 110 | 240 | | | |
| 18 | 56,50 | 3,50 | 100 | | Id. anterior. Algunos filoncillos de óxidos de Fe. | | | | | | | | | |
| 19 | 60,00 | 3,50 | 100 | | Id. anterior. A los 54,60 filón de 1 cm de Q con óxidos de Fe y sulfuros disseminados (diseminados escasos). | | | | | | | | | |
| 20 | 63,40 | 3,40 | 100 | | Id. anterior. No nódulos. A los 60,65 filón de 2 cm de Q con abundantes Arv y Py. Varios filoncillos de Q + sulfuros. | | 30 | 20 | 120 | 120 | 360 | 110 | | |
| 21 | 67,00 | 3,60 | 100 | | Id. anterior. El metamorfismo es muy visible. | | | | | | | | | |
| 22 | 70,40 | 3,40 | 100 | | Id. anterior. Varios filoncillos de Q + Ox. de Fe milimétricos. A los 69,25 filón de 2 cm de Q + sulfuros. | | | | | | | | | |
| 23 | 74,35 | 3,95 | 100 | | Id. anterior. Varios filoncillos (4) milimétricos con Ox. de Fe. | | | | | | | | | |
| 24 | 77,80 | 3,45 | 100 | | Id. anterior. A los 75,95 filón de 7 cm de Q + sulfuros. Oblicual eje. A los 77,30 filón de 2 mm de Q + óxidos. Varios filoncillos de Ox. de Fe. | 31° 20' W | | | | | | | | |
| 25 | 81,15 | 3,35 | 100 | | Id. anterior. Varios filoncillos milimétricos de Ox. de Fe. A los 80,55 filón de 3 mm de Q + sulfuros (cristalizados). | | | | | | | | | |
| 26 | 84,70 | 3,55 | 100 | | Pizarras grises con nódulos. Q de segregación, alguno con sulfuros. Varios filoncillos mil. A los 82,70 m. Filón de 0 de 1 cm con sulf. corta al eje con 40° eje. | | | | | | | | | |
| 27 | 88,10 | 3,40 | 88,2 | | Pizarras grises con alguna Py sediment. dispersa. A los 86,40 m filón de 0 de 10 cm con alguna Pv. | | | | | | | | | |
| 28 | 90,90 | 2,80 | 100 | | Pizarras grises que pasan a azuladas con nódulos de hasta 5 cm. A los 88,50 filón de 1 cm de Q + sulf. visto con LW. | | | | | | | | | |
| 29 | 94,15 | 3,25 | 92,3 | | Pizarras azuladas con nódulos. | | | | | | | | | |
| 30 | 97,30 | 3,15 | 95,2 | | Pizarras gris azuladas con algunos nódulos y alguna Pirita sedimentaria | | | | | | | | | |
| 31 | 100,10 | 2,80 | 100 | | Id. anterior. 3 filoncillos milim. de 0 + Pv. A los 99,15 filón de 0 de 1 cm breccificado, con Pirita. A las 100 m filón de 1 cm de Q + sulf. | 31° 20' W | | | | | | | | |
| 32 | 103,10 | 3,00 | 100 | | Id. anterior. Red filoniana de Q + Pv de 5 mm v de Pv de 1 mm entrecruzada. La 3ª corta a la 1ª | | | | | | | | | |
| 33 | 106,0 | 2,90 | 100 | | Id. anterior. Filoncillos milimétricos de Py a 50° al eje. | | | | | | | | | |
| 34 | 108,90 | 2,90 | 100 | | Id. anterior. Filonc. milim. de Pv que cortan 50-60°. A los 107,60 2 filones de 4 cm de Q + Pv cortan 30° al eje. Anat. (LW) | | 30 | 10 | 110 | 120 | 90 | | | |
| 35 | 111,75 | 2,85 | 100 | | Id. anterior. Filoncillos milimétricos de Py. El de los 111,15 tiene 1 cm cuarzo con 60° al eje. | | | | | | | | | |
| 36 | 114,95 | 3,20 | 93,7 | | Id. anterior. A los 112 filón de 16 cm de Q + Pv transversal eje. A los 113 m filón de 40 cm de Q + Pv. Filonc. milim. de Pv de 10 cm de eje (uno de 1 cm). | | | | | | | | | |
| 37 | 117,85 | 2,90 | 100 | | Id. anterior. A los 114,95 filón de 0 de 20 cm con rocos sulfuros (60° al eje) | | | | | | | | | |
| 38 | 120,60 | 2,75 | 100 | | Id. anterior. 2 filones milimétricos de Q + Pv (50° al eje) | | | | | | | | | |
| 39 | 123,95 | 2,95 | 100 | | Id. anterior. A los 121 m filón de 25 cm de Q + Pv v de 60° al eje. Varios filoncillos milim. de Q + sulf. Anat. dis. (LW) | | | | | | | | | |
| 40 | 126,50 | 2,95 | 100 | | Id. anterior. 1 filoncillo de Q + Pv (60° al eje). | 32° 20' W | | | | | | | | |
| 41 | 129,30 | 2,80 | 100 | | Pizarras gris azuladas con algunos nód. 3 filoncillos de Q + Pv y 0 coloromorfo (70°) | | | | | | | | | |
| 42 | 132,25 | 2,95 | 100 | | Id. anterior. A los 132,15 filón de 10 cm de Q + Pv + micas | | | | | | | | | |
| 43 | 135,20 | 2,95 | 100 | | Id. anterior. Cuarzos de exudación. 1 filón de 2 mm de Q + Pv. (60° al eje). | | | | | | | | | |
| 44 | 138,10 | 2,90 | 100 | | Id. anterior. Py sedimentaria | | | | | | | | | |
| 45 | 140,90 | 2,80 | 100 | | Id. anterior. Q de exudación. 2 filones milimétricos de Q + sulfuros. | | | | | | | | | |
| 46 | 144,0 | 3,10 | 96,7 | | Id. anterior. A los 142,70 filón de 10 cm de Q + Arv. (50° al eje). A los 143 (hacia los 144,75) filón de 2 de Q + sulf. (40° al eje) id. anterior. A los 145,2 filón de 3 cm de Q + sulfuros y micas Anat. visto con LW (disperso) (60° al eje) | | | | | | | | | |
| 47 | 146,70 | 2,70 | 100 | | Id. anterior. A los 147,20 filón de 0 de sulfuros de 2 cm (45° al eje) cuarzos de segregación. | | | | | | | | | |
| 48 | 149,70 | 3,00 | 100 | | Id. anterior. A los 150,95 filón de Q + sulf. de 3 cm (60° al eje) Varios Q seque. | 32° 20' W | | | | | | | | |
| 49 | 152,60 | 2,90 | 100 | | Id. anterior. 3 filones milimétricos de Q + Pv (60° al eje). | | | | | | | | | |
| 50 | 155,55 | 2,95 | 100 | | Id. anterior | | | | | | | | | |
| 51 | 158,40 | 2,85 | 100 | | Id. anterior | | | | | | | | | |
| 52 | 161,35 | 2,95 | 100 | | Id. anterior. Pv sedimentaria | | | | | | | | | |
| 53 | 164,20 | 2,85 | 100 | | Id. anterior. id. anterior | | | | | | | | | |
| 54 | 167,10 | 2,80 | 100 | | Id. anterior. id. anterior. Algun Q de exudación. | | | | | | | | | |
| 55 | 170,00 | 2,90 | 100 | | Id. anterior | | | | | | | | | |
| 56 | 172,80 | 2,80 | 100 | | Id. anterior. A los 171,45 filón de 8 cm de Q + sulfuros (transversal eje) | | | | | | | | | |
| 57 | 175,80 | 3,00 | 100 | | Id. anterior. A los 173,55 filón de Q + sulfuros y wolframita (transversal eje) A los 175,40 filón de 5 cm de Q + sulf. Anat. visto con LW (disperso) (60° al eje) | 33° 20' W | | | | | | | | |
| 58 | 178,70 | 2,90 | 100 | | Id. anterior. No nódulos. Filoncillos de Q + sulfuros de 1 mm. (1 de 1 cm) Abundantes Q de segregación. | | | | | | | | | |
| 59 | 181,60 | 2,90 | 100 | | Pizarras azuladas con nódulos. | | | | | | | | | |
| 60 | 184,40 | 2,80 | 100 | | Id. anterior | | | | | | | | | |
| 61 | 187,30 | 2,90 | 100 | | Id. anterior. Q de exudación con sulfuros sedimentarios. | | | | | | | | | |
| 62 | 190,20 | 2,90 | 100 | | Id. anterior. A los 188,70 filón de Q + sulfuros (5 cm) (30° al eje). Q de segregación. | | | | | | | | | |
| 63 | 193,15 | 2,95 | 100 | | Id. anterior. Algun filoncillo milimétr. de Q + sulfuros | | | | | | | | | |
| 64 | 196,10 | 2,95 | 100 | | Id. anterior. A los 194,60 filón de 6 cm de Q + sulfuros (10° al eje). Algun Q de exudación. | | | | | | | | | |
| 65 | 199,20 | 3,10 | 97 | | Id. anterior. A los 197,38 filón de 5 cm de Q (30° al eje). A los 198,97 filón de 2 cm de Q (60° al eje). | | | | | | | | | |
| 66 | 202,25 | 2,85 | 100 | | Id. anterior. A los 199,84 filón de 1 cm de Q + sulfuros (45° al eje). 2 filones milimétricos de Pv. | 34° 20' W | | | | | | | | |
| 67 | 205,05 | 3,00 | 100 | | Id. anterior. Abundantes Q de exudación con sulfuros. | | | | | | | | | |
| 68 | 208,00 | 2,95 | 100 | | Id. anterior. A los 205,55 filón de 3 cm de Q + sulfuros a los 207,40 dos filoncillos de Q + sulfuros (90° al eje) | | | | | | | | | |
| 69 | 211,00 | 3,00 | 100 | | Id. anterior. A los 208 filón de 3 cm de Q + Pv y Arv (45° al eje). 2 filones de 0,5 cm de Q con sulf. en las 25° al eje. Abund. Q seque. con Py y QPy. | | | | | | | | | |
| 70 | 213,90 | 2,90 | 100 | | Id. anterior. No nódulos. A los 212 m filón de 2 cm de Q con algo de Pv (49° al eje). Algunos Q de segregación. | | | | | | | | | |
| 71 | 216,90 | 3,00 | 100 | | Id. anterior. A los 214,40 m. 15 cm sulf. + Arv. A 215,20 m. 15 cm sulf. + Arv. sed v. Abundantes Q de segregación. Algun filoncillo milimétrico. | | | | | | | | | |
| 72 | 219,90 | 2,80 | 100 | | Id. anterior. A 220,66 m. 15 cm sulf. + Arv. disperso. A 221,45 m. 15 cm sulf. + Arv. disperso. 60° eje - seque. | | | | | | | | | |
| 73 | 222,20 | 2,90 | 100 | | Pizarras grises. Al principio Q de segregación. | 36° 20' W | | | | | | | | |
| 74 | 225,40 | 2,90 | 100 | | Id. anterior. Dos filoncillos de sulfuro. | | | | | | | | | |
| 75 | 228,30 | 2,95 | 100 | | Id. anterior. A los 229,60 filón de 1 cm de Q + Pirita v. calcon. (55° al eje) | | | | | | | | | |
| 76 | 231,25 | 2,95 | 100 | | Pizarras grises. | | | | | | | | | |
| 77 | 234,20 | 2,95 | 100 | | Id. ant. Algunos nódulos de hasta 4 cm Q de segregación abundantes. Pirita sedimentaria. | | | | | | | | | |
| 78 | 237,20 | 2,75 | 100 | | Id. anterior. A los 237,34 filoncillo de Q + sulfuros + Ox. de Fe (35° al eje). A los 237,40 filoncillo de Q + sulf. (5° al eje) abund. Q seque. Py sediment. | | | | | | | | | |
| 79 | 240,15 | 2,90 | 100 | | Id. anterior. A los 241,77 filón de 8 cm de Q + Pv (40° al eje). Qs de segregación + Pv sedimentaria. Algunos nódulos. | | | | | | | | | |
| 80 | 243,10 | 2,95 | 100 | | Id. anterior. Al principio algún nódulo y algunos Q de segregación | | | | | | | | | |
| 81 | 246,05 | 2,95 | 100 | | Id. anterior. Algunos Q de segregación + Py. Algunos filoncillos de Q + Pv | | | | | | | | | |
| 82 | 248,85 | 2,85 | 100 | | pizarras grises. intenso mosqueado Py sedimentario. | 38° 20' W | | | | | | | | |
| 83 | 251,70 | 3,00 | 100 | | Id. anterior intenso mosqueado. Abundantes Q de segregación delgadas. | | | | | | | | | |
| 84 | 254,70 | 2,90 | 100 | | Id. anterior. intenso mosqueado. Algun Q de segregación delgado. | | | | | | | | | |
| 85 | 257,60 | 2,90 | 100 | | Id. anterior | | | | | | | | | |
| 86 | 260,50 | 2,90 | 100 | | Id. anterior | | | | | | | | | |
| 87 | 263,45 | 2,95 | 100 | | Id. anterior. A los 261 m filón de 4 cm de Q + Pirita (45° al eje). | | | | | | | | | |
| 88 | 266,45 | 3,00 | 100 | | Id. anterior. Algunos cantos blandos | | | | | | | | | |

| | | | | |
|----------------------------|--|---|--|-------------------------|
| DIBUJADO F. Pérez Moras | | MINISTERIO DE INDUSTRIA Y ENERGIA INSTITUTO GEOLOGICO Y MINERO DE ESPAÑA | PROYECTO: PREPARACION DE MUESTRAS EN ALDEA-MORET (CACERES) 86/87 E INVESTIGACION EN ZONAS DEL CENTRO-OESTE | CLAVE |
| FECHA DICIEMBRE 1987 | | | | |
| COMPROBADO J. Liarde | | AUTOR G. Gil | PLANO N° 48 | COLUMNA DEL SONDEO LL-7 |
| ESCALA 1:200 | | | | |
| CONSULTOR IGME | | | | |



SONDEO: LL-7 (151,45 m)
 LOCALIZACION: Los Llanillos (CACERES)
 LONGITUD: 749260
 LATITUD: 4332370
 COTA:
 DIRECCION/INCLINACION: NM-20-W/30°NW.

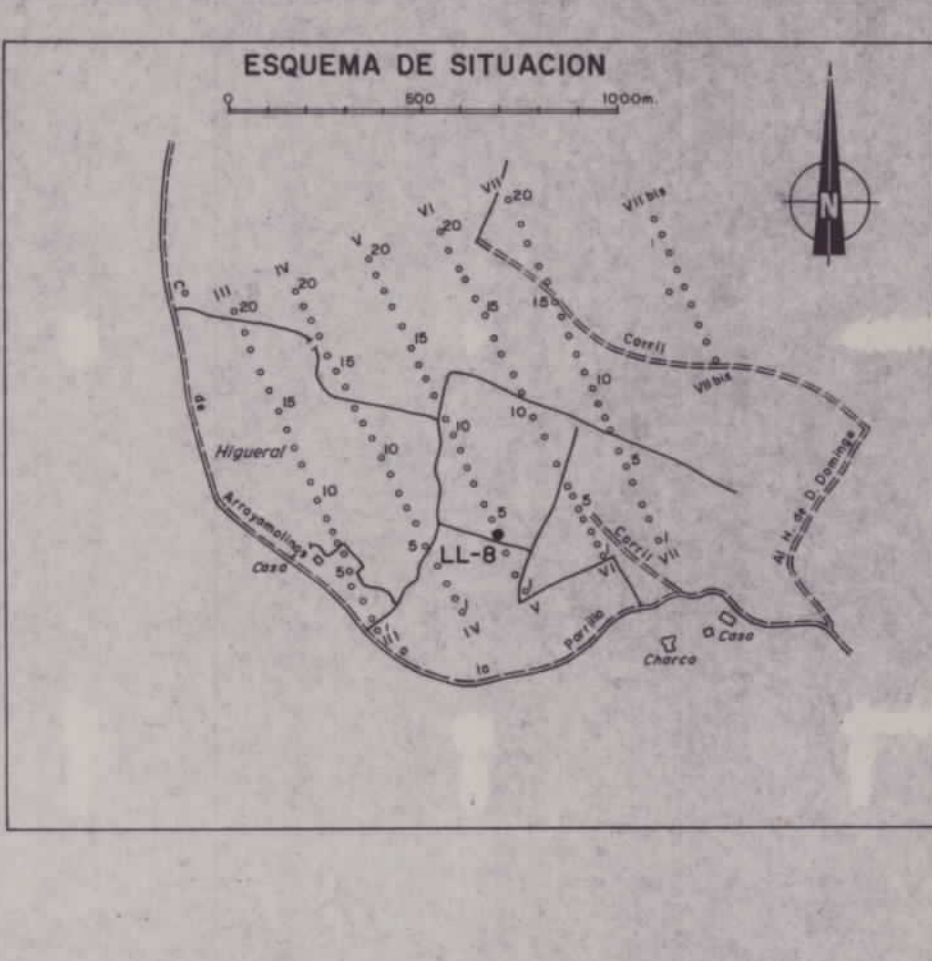
OBSERVACIONES:

11224004

| N° DE CAJA | LONGITUD | | RECUPERACION % | ESTRUCTURAS | COLUMNA LITOLOGICA | DESCRIPCION | INCLINACION | DIRECCION | MUESTRAS Análisis químico △ L.T. □ P.P. | ANALISIS QUIMICO (ppm) | | | | | | | |
|------------|----------|---------|----------------|-------------|--------------------|--|-------------|-----------|--|------------------------|----|----|-----|-----|----|-----|--|
| | TOTAL | PARCIAL | | | | | | | | W | Sn | As | Cu | Mo | Zn | Au | |
| 1 | | 3,70 | 65 | | | Pz.grises con abund.cristales de M.D.C v tonos violaceos-rojizos por óxid.Fe Alteración superficial. | | | | | 40 | 20 | 290 | 20 | | 30 | |
| 2 | 3,70 | | | | | id.ant.A los 4,30 m filón de 1 cm de Q con Ox.Fe. 45°al eje.A los 4,60 m filón de Q triturado (10 cm). | | | | | 20 | 20 | 270 | 20 | | 40 | |
| 3 | 6,00 | | | | | Id.ant.ver más rojizas por ox.Fe.De los 6 m a lgs 6,50 amarecen cuarzos v abund. Ox de Fe | | | | | 20 | 40 | 210 | 40 | | 40 | |
| 4 | 8,20 | | | | | Pz.rojizas con ox.Fe.Varios filones de Q milimétrico.A los 9,65 filón de Q de 4cm Trans eje. | | | | | 20 | 40 | 230 | 50 | | 50 | |
| 5 | 10,60 | | | | | id. anterior. A los 11,90 filón de 2 mm de micas blancas. | | | | | 40 | 50 | 400 | 50 | | 80 | |
| 6 | 12,70 | | | | | id.anterior.Ox.de Fe.Desde los 13,10 a los 13,60 m varios fil. de Q+ blancas(1-5 mm)sin precisar ángulo. | | | | | 30 | 40 | 250 | 100 | | 210 | |
| 7 | 15,00 | | | | | Pz.rojizas con óxidos de Fe. A los 10,10 filón de Q de 1 m (60°al eje). | | | | | 60 | 40 | 250 | 70 | | 50 | |
| 8 | 17,30 | | | | | id.anterior | | | | | 40 | 10 | 280 | 50 | | 40 | |
| 9 | 19,40 | | | | | id.anterior | | | | | | | | | | | |
| 10 | 21,80 | | | | | id.anterior.A los 23 m zona de fractura con Q Oxidos de Fe(40 cm). | | | | | | | | | | | |
| 11 | 23,85 | | | | | id.anterior.Varios filones milimétricos de Q. | | | | | | | | | | | |
| 12 | 26,50 | | | | | Id.anterior.A los 26,70 filón de 1 cm de Q azulado paralelo al eje. | | | | | | | | | | | |
| 13 | 28,85 | | | | | id.anteior.Varios filones milimétricos ox.de Fe. | | | | | | | | | | | |
| 14 | 30,90 | | | | | id.anterior.Varios filones milimétricos de Q, óxidos de Fe y micas blancas. | | | | | | | | | | | |
| 15 | 33,20 | | | | | id.anterior | | | | | | | | | | | |
| 16 | 36,00 | | | | | id. anterior.Abundantes zonas con óxidos de Fe | | | | | | | | | | | |
| 17 | 38,70 | | | | | id.anterior.id. anterior. | | | | | | | | | | | |
| 18 | 41,25 | | | | | id.anterior, id. anterior. | | | | | | | | | | | |
| 19 | 43,60 | | | | | Pz.rojizas con abundantes ox.Fe.Algunos modulos o cantos blandos.Algún filón milimétrico de Q. | | | | | | | | | | | |
| 20 | 45,75 | | | | | id. anterior.Oxidos de Fe.Algunos nodulos. | | | | | | | | | | | |
| 21 | 48,45 | | | | | id.ant.A los 49,65 m zona fractura de 0,5 m. (Pizarras con brechas v ox.Fe) | | | | | | | | | | | |
| 22 | 50,70 | | | | | Pz.azuladas.A los 51,10 filón de 1 m de Q(35°eje).Varios filones milim. Q.Menos Ox.Fe | | | | | | | | | | | |
| 23 | 52,90 | | | | | id.anterior | | | | | | | | | | | |
| 24 | 55,80 | | | | | id.ant.Varios filones milim.A los 58,20 m.filón de 4 cm de Q con óx.Fe (35°al eje). | | | | | | | | | | | |
| 25 | 59,30 | | | | | id.ant.A los 59,40 zona fractura de 30 m. con Q y ox.Fe. A los 60,90 filón de 10 mm de Q.Cuarzos de exudación. | | | | | | | | | | | |
| 26 | 62,70 | | | | | id.anterior.Cuarzos de segregación | | | | | | | | | | | |
| 27 | 65,65 | | | | | tramo dútilico con finas alternancias arenosas.Algún filón con óxidos ferrosos. | | | | | | | | | | | |
| 28 | 69,10 | | | | | Areniscas v dútilas grises.Facies band. A los 70,70 filón de 10 cm de Q +sulf.+ wolframita.A los 69,70 filón 5 cm Q+filosuros | | | | | | | | | | | |
| 29 | 72,10 | | | | | Arenosas v lutitas | | | | | | | | | | | |
| 30 | 75,00 | | | | | Areniscas con alg.interc.fina lutitica. A los 75,20 filón de 3 cm de Q con abundantes sulf'(20°al eje)A 76,20 filón de 3 m de Q+sulf.(20°al eje) | | | | | | | | | | | |
| 31 | 78,00 | | | | | Cuarcita armoricana. Silicificación.Turmalinización.Alguna fractura con ox.Fe So variable(de 20°a 90°) | | | | | | | | | | | |
| 32 | 80,70 | | | | | id.anterior.A 81,90 filón de 3 cm Q+sulf(30°aleje). A los 82,50 filón de Q+sulf.(3-4 cm)(45°al eje). | | | | | | | | | | | |
| 33 | 83,60 | | | | | id.anterior.Algun filoncillo con óxid.de Fe. | | | | | | | | | | | |
| 34 | 86,30 | | | | | id.anterior.Algún filoncillo con ox.Fe A los 89 m filón de Q + sulf. de 3 cm (10-20°al eje). | | | | | | | | | | | |
| 35 | 89,40 | | | | | id.anterior.Finas intercalaciones.Lutiticas. | | | | | | | | | | | |
| 36 | 92,15 | | | | | id.anterior.id.anterior. A los 94,60 mispíquel disperso. | | | | | | | | | | | |
| 37 | 95,00 | | | | | cuarcita armoricana.1 filón de Q milimétricos. | | | | | | | | | | | |
| 38 | 97,85 | | | | | id. anterior.Turmalinización en algun.banda fina.Silicificación. | | | | | | | | | | | |
| 39 | 100,75 | | | | | cuarcita masiva.Algún sulfuro disperso. | | | | | | | | | | | |
| 40 | 103,60 | | | | | id.anterior.2 filones milimétricos con Q +Apv. | | | | | | | | | | | |
| 41 | 106,50 | | | | | id.anterior. | | | | | | | | | | | |
| 42 | 109,50 | | | | | id. anterior.Algún filón milimétrico de Q(50°- 80°al eje).Pirita sedimentaria. | | | | | | | | | | | |
| 43 | 112,45 | | | | | Cuarc.armoricana masiva.Alguna interc.fina pelítica con sulf.Algún filón milimétrico de + sulfuros. | | | | | | | | | | | |
| 44 | 115,45 | | | | | id.ant'Varios filones milimétricos de Q (10-20°al eje).Hacia el final tintes rosáceos por ox.de Fe. | | | | | | | | | | | |
| 45 | 118,40 | | | | | id.anterior. Varios filones milimétrico de Q (0°-15°al eje). | | | | | | | | | | | |
| 46 | 121,40 | | | | | id.anterior | | | | | | | | | | | |
| 47 | 124,30 | | | | | id.anterior. A los 126,60 zona de ox.de Fe por filoncillos subparalelo al eje. | | | | | | | | | | | |
| 48 | 127,30 | | | | | id.ant.Altern. bandas rosáceas por ox.de Fe. en varios filoncillos. | | | | | | | | | | | |
| 49 | 130,10 | | | | | Id. anterior. Id. anterior. A los 131,30 filón de 1-2 cm de Q+óxidos de Fe+sulfuros (10° al eje) | | | | | | | | | | | |
| 50 | 133,00 | | | | | Id. anterior. A los 133,70 filón de 0,5 cm de Q + sulfuros (0°-10°al eje) Hacia el final zonas oxidadas | | | | | | | | | | | |
| 51 | 136,00 | | | | | Cuarcita armoricana masiva. Varios tramos violáceos por oxidación de Fe en fisuras milimétricas. | | | | | | | | | | | |
| 52 | 139,00 | | | | | Id. anterior. Alguna fina intercalación pelítica | | | | | | | | | | | |
| 53 | 141,85 | | | | | Id. anterior. Id. anterior. Algún tramo con oxidación de Fe. | | | | | | | | | | | |
| 54 | 144,75 | | | | | Id. anterior. Id. anterior. | | | | | | | | | | | |
| 55 | 147,70 | | | | | Id. anterior. Varios filones milimétricos de Q + Mispíquel (0°- 20° al eje) | | | | | | | | | | | |
| 56 | 150,60 | | | | | Id. anterior. | | | | | | | | | | | |
| | 151,45 | | | | | | | | | | | | | | | | |

| MUESTRA | ANALISIS QUIMICO (ppm) | | | | | | |
|------------------|------------------------|----|------|-----|----|-----|----|
| | W | Sn | As | Cu | Mo | Zn | Au |
| I ¹⁰ | | | | | | | |
| I ²³ | | | | | | | |
| I ²⁴ | 10 | 10 | 340 | 30 | | 40 | |
| I ⁴⁹ | | | | | | | |
| I ⁵⁰ | 10 | 10 | 60 | 40 | | 50 | |
| I ⁵⁸ | | | | | | | |
| I ⁶¹ | 10 | 20 | 80 | 50 | | 210 | |
| | 10 | 0 | 350 | 20 | | 240 | |
| | 0 | 30 | 100 | 40 | | 100 | |
| I ⁶⁹ | | | | | | | |
| I ⁷¹ | 20 | 70 | 1000 | 60 | | 60 | |
| | 130 | 90 | 2640 | 70 | | 540 | |
| I ⁷⁶ | | | | | | | |
| I ⁷⁶ | 70 | 50 | 470 | 70 | | 60 | |
| I ⁸⁹ | | | | | | | |
| I ⁹⁰ | 30 | 20 | 120 | 50 | | 20 | |
| I ⁹⁹ | | | | | | | |
| I ⁹⁹ | 30 | 30 | 0 | 40 | | 20 | |
| I ¹²⁶ | | | | | | | |
| I ¹²⁷ | 10 | 10 | 390 | 30 | | 250 | |
| I ¹³¹ | | | | | | | |
| I ¹³² | 60 | 10 | 130 | 20 | | 20 | |
| I ¹³⁴ | 90 | 40 | 140 | 120 | | 70 | |
| I ¹⁴⁸ | | | | | | | |
| I ¹⁴⁹ | 40 | 50 | 830 | 130 | | 30 | |

| | | | |
|--|--|---|--|
| DIBUJADO F. Pérez Morales FECHA DICIEMBRE 1967 COMPROBADO J. Licarte AUTOR G. Gil ESCALA 1:200 CONSULTOR I G M E | | MINISTERIO DE INDUSTRIA Y ENERGIA INSTITUTO GEOLOGICO Y MINERO DE ESPAÑA PROYECTO: PREPARACION DE MUESTRAS EN ALDEA-MORET (CACERES) 86/87 E INVESTIGACION EN ZONAS DEL CENTRO-OESTE | CLAVE PLANO N° 49 |
| SONDEO: LL-8 (363,20 m) LOCALIZACION: Los Llanillos (CACERES) LONGITUD: 748770 LATITUD: 4331770 COTA: DIRECCION / INCLINACION: NM-20-W/30° NW | | 11224005 | |



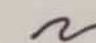
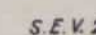
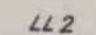

FLUORESCENCIA SCHEELITA
 ● ● ● Fluorescencia apatito
 ■ ■ ■ Fluorescencia apatito


| N° DE CAJA | LONGITUD | RECUPERACION % | ESTRUCTURAS | COLUMNA LITOLOGICA | DESCRIPCION | INCLINACION | DIRECCION | MUESTRAS Analisis quimico L.T. P.P. | ANALISIS QUIMICO (ppm) | | | | | | |
|------------|----------|----------------|-------------|--------------------|---|-------------|-----------|--|------------------------|-----|------|-----|----|-----|----|
| | | | | | | | | | W | Sn | As | Cu | Mo | Zn | Au |
| 1 | 5,30 | | | | Del Q al 1,30 clastos sueltos de Q blanco con arcillas de alteración (algunos clastos englobados en las arcillas. Posible zona de falla. El resto, pizarras pardo-violetáceas alteradas, con óxidos de Fe. | | | I-1 | 150 | 0 | 140 | 40 | | 20 | |
| 2 | 5,30 | 2,70 | | | Pizarras pardo-violetáceas con óxidos de Fe. A los 5,60 al 5,80 Q triturado (filón) + óxidos de Fe | | | I-2 | 80 | 20 | 150 | 60 | | 70 | |
| 3 | 5,00 | 8,00 | | | Id. anterior. A los 10,80 zona de breñificación de Q + arcillas. A los 11,30 hasta los 11,50 zona alterada y breñificada de pizarras. Posible fractura | | | I-3 | 40 | 20 | 280 | 100 | | 200 | |
| 4 | 2,25 | 13,00 | | | Id. anterior. Todo está muy alterado y desmenuzado. | | | I-4 | 60 | 100 | 300 | 100 | | 170 | |
| 5 | 2,45 | 15,25 | | | Id. anterior. A los 15,35 hay trozos de Q blanco sin precisar si es filón, brecha o arrastrado. | | | I-5 | 270 | 40 | 220 | 150 | | 180 | |
| 6 | 4,05 | 17,70 | | | Pizarras pardas-violetáceas. Todo alterado con óxidos de Fe. Posible zona de fracturas. A los 21,05-21,75 m (70 cm) cuarzos blancos con óxido de Fe. (Filón deformado?) | | | I-6 | 70 | 20 | 200 | 100 | | 290 | |
| 7 | 6,55 | 21,75 | | | Id. anterior. Todo está triturado, con óxidos de Fe. A los 22,13 clastos de Q englobado en arcillas de alteración. Posible zona de fractura. | | 330° 20W | I-7 | 80 | 20 | 730 | 90 | | 160 | |
| 8 | 5,20 | 28,30 | | | Id. anterior. Del 28,40 al 28,90 arcillas micáceas. Del 28,90 al 31,80 clastos de Q blanco (algunos englobados en arcilla). Algo de scheelita visto con L.U.V. Del 31,90 al 33,10 rípios de pizarra. Posible zona de fractura | | | I-8 | 150 | 20 | 560 | 150 | | 140 | |
| 9 | 2,80 | 33,50 | | | Pizarras azuladas. Abundantes filones milimétricos con óxidos de Fe y algo de Q. (Las inclinaciones son variables). | | | I-9 | 260 | 0 | 400 | 110 | | 120 | |
| 10 | 2,90 | 36,30 | | | Id. anterior. Abundantes filones de Q + óxidos de Fe (inclinaciones variables) | | | I-10 | 30 | 30 | 190 | 80 | | 140 | |
| 11 | 2,85 | 39,20 | | | Id. anterior. Hasta los 39,40 zona filoniana igual anterior. A los 41,70 m zona filoniana (rípios). | | | I-11 | 60 | 0 | 170 | 30 | | 100 | |
| 12 | 2,75 | 42,05 | | | Id. anterior. De los 41,05 a los 42,45 rípios de pizarra. Abundantes filoncillos y Q de segregación. | | | I-12 | 50 | 40 | 420 | 60 | | 80 | |
| 13 | 2,80 | 44,80 | | | Id. anterior. Abundantes filoncillos y Q de segregación. | | | I-13 | 80 | 30 | 40 | 40 | | 100 | |
| 14 | 5,40 | 47,60 | | | Pizarras azuladas. Del 47,70 al 48 es un tramo de pizarra. Del 49 al 53 son rípios de pizarra. Posible zona de fractura. | | 320° 20W | I-14 | 30 | 20 | 40 | 20 | | 60 | |
| 15 | 2,90 | 53,00 | | | Pizarras gris-violetáceas. Del 53 a 53,8 rípios con turmalinización, mica, silicificación y algunos sulfuros. Del 54,40 al final rípios. Pos. zona de fracturas. | | | I-15 | 50 | 40 | 530 | 110 | | 110 | |
| 16 | 2,50 | 55,90 | | | Id. anterior. Hasta los 57,40 alternancia de piz. sanas y rípios. | | | I-16 | 20 | 10 | 70 | 60 | | 60 | |
| 17 | 3,20 | 58,40 | 45° | | Id. anterior. Aparecen nódulos en las pizarras. A los 60,14 filón de 8 cm de Q + sulfuros + micas. | | | I-17 | 20 | 10 | 70 | 60 | | 60 | |
| 18 | 5,05 | 61,80 | | | Id. anterior. Del 63,85 al 64,70 (60 cm) tramo de arenisca gris-azulada. Del 64,80 al 66,85 (43 cm) rípios de Q blanco. Posible zona de fractura | | | I-18 | 30 | 40 | 530 | 110 | | 100 | |
| 19 | 4,15 | 66,95 | 90° | | Alternancia de pizarras y areniscas de 40 cm. Sono perpendicular al eje. | | | I-19 | | | | | | | |
| 20 | 3,45 | 71,00 | | | Pizarras gris-verdosas. Algunos nódulos. | | | I-20 | | | | | | | |
| 21 | 3,45 | 74,45 | | | Id. anterior. Id. anterior. | | 330° 20W | I-21 | | | | | | | |
| 22 | 3,50 | 77,90 | | | Id. anterior. Id. anterior. Algunos filoncillos de Q + sulfuros. A los 79,90 filón de 3 cm de Q + sulfuros y micas. (90° al eje). | | | I-22 | 10 | 10 | 100 | 70 | | 130 | |
| 23 | 3,95 | 81,40 | 90° | | Tramo de areniscas grises que van pasando en alternancias a pizarras. Al final solo pizarras. A los 82,35 rípios de Q blanco (Fluorescencia en los Q) L.U.V. | | | I-23 | 20 | 60 | 240 | 20 | | 100 | |
| 24 | 3,55 | 85,35 | 90° | | Pizarras gris-verdosas que van pasando a areniscas grises. Al final solo areniscas grises. Algún filoncillo de algo de scheelita con L.U.V. | | | I-24 | 20 | 40 | 90 | 30 | | 130 | |
| 25 | 3,00 | 88,90 | | | Pizarras arenosas grises. Abundantes filones milimétricos a centimétricos de Q (diferentes ángulos al eje, -30°-60°) | | | I-25 | | | | | | | |
| 26 | 2,90 | 91,90 | | | Pizarras arenosas gris verdosas. Desde los 93 areniscas grises. A los 94,40 filón de 1 cm apatito (trazas) + sulfuro (trazas) + scheelita (trazas) + apatito (trazas) | | | I-26 | 30 | 0 | 3250 | 50 | | 100 | |
| 27 | 3,20 | 94,80 | 75° | | Pizarras grises arenosas que pasan a pizarras grises. | | | I-27 | | | | | | | |
| 28 | 2,95 | 97,60 | | | Pizarras grises arenosas. Al principio son areniscas y luego pasan a pizarra. Q de segregación de los 98,34 cheelita difusa (estrellada) (LUV) (trazas) | | 320° 20W | I-28 | 90 | 0 | 20 | 60 | | 80 | |
| 29 | 2,80 | 100,55 | | | Pizarras arenosas. Al final son más pizarrosas. | | | I-29 | | | | | | | |
| 30 | 2,95 | 103,35 | | | Pizarras grises arenosas. A los 106,70 hasta los 106,54 filón de Q lechoso + algún sulfuro (45° al eje). | | | I-30 | 40 | 30 | 1270 | 110 | | 130 | |
| 31 | 2,95 | 106,30 | | | Pizarras grises con algunos nódulos. A los 106,75 a los 107,01 (26 cm) filón de Q + sulfuros (45° al eje). | | | I-31 | | | | | | | |
| 32 | 2,85 | 109,25 | | | Id. anterior. Piritas según planas S. Algunos filoncillos. | | | I-32 | | | | | | | |
| 33 | 2,90 | 112,10 | | | Pizarras grises con nódulos. 2 filones de 5 mm de Q + Py (45° al eje). | | | I-33 | | | | | | | |
| 34 | 2,90 | 115,00 | | | Pizarras gris-azuladas con algunos nódulos. De los 117,45 a los 117,75 filón de 30 cm Q + sulfuros y micas (45° al eje). | | | I-34 | 30 | 20 | 360 | 90 | | 100 | |
| 35 | 2,90 | 117,90 | | | Id. anterior. | | | I-35 | | | | | | | |
| 36 | 3,00 | 120,80 | | | Id. anterior. (Algún tramo algo arenoso). | | | I-36 | | | | | | | |
| 37 | 2,90 | 123,80 | | | Pizarras gris-azuladas con nódulos. Piritas sedimentaria. | | 330° 20W | I-37 | | | | | | | |
| 38 | 2,90 | 126,70 | | | Id. anterior. | | | I-38 | | | | | | | |
| 39 | 2,95 | 129,60 | | | Id. anterior. Algún filoncillo de Q + Py. | | | I-39 | | | | | | | |
| 40 | 2,85 | 132,55 | | | Id. anterior. | | | I-40 | | | | | | | |
| 41 | 3,00 | 135,40 | | | Id. anterior. Algún filoncillo de Q. Algo de Q de segregación. Alguna piritas sedimentaria. | | | I-41 | | | | | | | |
| 42 | 2,90 | 138,40 | | | Id. anterior. Algún Q de segregación | | | I-42 | | | | | | | |
| 43 | 3,00 | 141,30 | | | Id. anterior. | | | I-43 | | | | | | | |
| 44 | 2,80 | 144,30 | | | Id. anterior. Algunos tramos milimétricos grafitosos con piritas sedimentaria. | | | I-44 | | | | | | | |
| 45 | 2,90 | 147,10 | | | Id. anterior. De los 148,22 m a los 148,70 m (35 cm) filón de Q blanco + algo de segregación de Q + sulfuros (45° al eje) | | | I-45 | 40 | 30 | 770 | 90 | | 110 | |
| 46 | 2,90 | 150,00 | | | Pizarras gris-azuladas con nódulos. Alguna piritas sedimentaria. | | 330° 20W | I-46 | | | | | | | |
| 47 | 2,70 | 152,90 | | | Id. anterior. | | | I-47 | | | | | | | |
| 48 | 2,80 | 155,80 | | | Id. anterior. | | | I-48 | | | | | | | |
| 49 | 2,90 | 158,40 | | | Id. anterior. De los 158,48 m a los 158,80 m (32 cm) filón de Q blanco con trazas de sulfuros, mica, scheelita y apatito. Del 160,65 filón de Q de 1 cm (45° al eje) | | | I-49 | 80 | 20 | 740 | 140 | | 150 | |
| 50 | 2,95 | 161,30 | | | Id. anterior. Algunos cuarzos de segregación. | | | I-50 | 10 | 0 | 0 | 40 | | 100 | |
| 51 | 2,75 | 164,25 | | | Id. anterior. Algunos filoncillos de Q desde 1 mm a 5 mm. Abundantes trazas de apatito. | | | I-51 | 10 | 10 | 40 | 50 | | 90 | |
| 52 | 3,00 | 167,00 | | | Id. anterior. Alguna piritas sedimentaria. Alguna traza de apatito. | | | I-52 | | | | | | | |
| 53 | 2,80 | 170,00 | | | Id. anterior. Van desapareciendo los nódulos. | | | I-53 | | | | | | | |
| 54 | 2,90 | 172,80 | | | Id. anterior. Al principio algún filón blanco (70° al eje). Trazas de apatito. A los 176,0 m filón de 2 cm de piritas (45°). | | 340° 20W | I-54 | 40 | 30 | 1440 | 130 | | 190 | |
| 55 | 2,80 | 175,70 | | | Pizarras gris-azuladas. Algunos nódulos. De los 176,0 m a los 177,28 m (35 cm) abundante scheelita dispersa vista con LUV y apatito u piritas. | | | I-55 | 2050 | 10 | 110 | 70 | | 160 | |
| 56 | 2,90 | 178,50 | | | Id. anterior. De los 178,70 a los 179,8 m (30 cm) filón de Q + sulfuros. (45° al eje). Algunos filoncillos de Q + sulfuros y Q de segregación. | | | I-56 | 30 | 30 | 40 | 60 | | 100 | |
| 57 | 3,00 | 181,40 | | | Pizarras gris-azuladas. Algún nódulo de los (sulfuros) (3,5-21,50 cm) a los 182,85 abundante Q en las pizarras. Trazas de scheelita y apatito. | | | I-57 | 40 | 30 | 290 | 170 | | 140 | |
| 58 | 2,85 | 184,40 | | | Id. anterior. De los 184,87 m a los 185,39 m (32 cm) filón de Q blanco con filoncillos de sulfuros con trazas de piritas. | | | I-58 | 240 | 50 | 710 | 180 | | 180 | |
| 59 | 2,85 | 187,25 | | | Id. anterior. Del 188,35 al 188,85 m (50 cm) filón de cuarzo blanco (55° al eje). Abundantes piritas y filoncillos de Q al final trazas de W. | | | I-59 | 40 | 120 | 230 | 130 | | 120 | |
| 60 | 2,95 | 190,10 | | | Id. anterior. A los 192,72 filón de 1 cm de Q. Trazas de W en las pizarras. | | | I-60 | 30 | 30 | 900 | 110 | | 140 | |
| 61 | 2,75 | 193,05 | | | Pizarras gris-azuladas. Algún nódulo. | | | I-61 | 60 | 30 | 180 | 170 | | 110 | |
| 62 | 2,80 | 195,80 | | | Id. anterior. A los 197,20 filón de Q + sulfuros (45° al eje). Varios filoncillos y abundantes Q de segregación. Trazas de apatito. | | | I-62 | | | | | | | |
| 63 | 2,90 | 198,60 | | | Id. anterior. A los 201,27 filoncillos de Q + sulfuros. | | 350° 20W | I-63 | | | | | | | |
| 64 | 2,90 | 201,50 | | | Id. anterior. Abundantes nódulos y Q de segregación. Apatito (trazas) + disperso. | | | I-64 | 20 | 20 | 0 | 30 | | 80 | |
| 65 | 2,65 | 204,40 | | | Id. anterior. Varios filoncillos de Q + piritas. | | | I-65 | | | | | | | |
| 66 | 2,95 | 207,05 | | | Id. anterior. Nódulos dispersos. A los 209,0 m filón de 3 cm de Q blanco + algunas micas en las silvandas. Cristal de 1 cm. | | | I-66 | 40 | 0 | 390 | 90 | | 150 | |
| 67 | 3,10 | 210,00 | | | Id. anterior. Id. anterior. | | | I-67 | | | | | | | |
| 68 | 2,90 | 213,10 | | | Id. anterior. Id. anterior. Varios filoncillos milimétricos de óxidos de Fe. | | | I-68 | | | | | | | |
| 69 | 2,95 | 216,00 | | | Pizarras azuladas. Nódulos dispersos. Algún filoncillo milimétrico de óxidos de Fe y uno de Q. | | | I-69 | | | | | | | |
| 70 | 2,85 | 218,95 | | | Id. anterior. Id. anterior. Varios rellenos milimétricos de óxidos de Fe. | | | I-70 | | | | | | | |
| 71 | 3,05 | 221,80 | | | Id. anterior. Id. anterior. | | | I-71 | | | | | | | |
| 72 | 2,95 | 224,85 | | | Id. anterior. Id. anterior. A los 223,20 filón de 2 cm de Q blanco con piritas dispersa (45° al eje). | | 350° 20W | I-72 | | | | | | | |
| 73 | 2,95 | 227,80 | | | Id. anterior. Id. anterior. | | | I-73 | | | | | | | |
| 74 | 2,95 | 230,75 | | | Id. anterior. Id. anterior. | | | I-74 | | | | | | | |
| 75 | 2,95 | 233,70 | | | Id. anterior. Id. anterior. | | | I-75 | | | | | | | |
| 76 | 2,95 | 236,65 | | | Id. anterior. Id. anterior. A los 238,35 filón de 4 cm de Q blanco. (45° al eje). Apatito, trazas con L.U.V. | | | I-76 | 10 | 10 | 120 | 50 | | 110 | |
| 77 | 3,05 | 239,60 | | | Id. anterior. A los 241,45 filón de 1 cm de Q + sulfuros. (45° al eje). Al final aparecen Q de segregación. | | | I-77 | | | | | | | |
| 78 | 3,00 | 242,65 | | | Id. anterior. Id. anterior. Filones milimétricos de Q + cuarzos de segregación. | | | I-78 | | | | | | | |
| 79 | 3,00 | 245,65 | | | Id. anterior. Id. anterior. | | | I-79 | | | | | | | |
| 80 | 2,85 | 248,65 | | | Id. anterior. Id. anterior. | | 350° 20W | I-80 | | | | | | | |
| 81 | 3,05 | 251,50 | | | Id. anterior. Id. anterior. Varios filoncillos de óxidos de Fe y de Q blanco. | | | I-81 | | | | | | | |
| 82 | 2,95 | 254,55 | | | Id. anterior. Id. anterior. A los 256,83 filón de Q de 1-4 cm (45° al eje). | | | I-82 | | | | | | | |
| 83 | 2,95 | 257,50 | | | Id. anterior. Id. anterior. Algún filoncillo milimétrico de Q + sulfuros. | | 320° 20W | I-83 | | | | | | | |
| 84 | 2,85 | 260,45 | | | Id. anterior. Id. anterior. | | | I-84 | | | | | | | |
| 85 | 3,00 | 263,30 | | | Pizarras gris-azuladas. Nódulos dispersos. Varios filoncillos de Q y Q de segregación. | | | I-85 | | | | | | | |
| 86 | 2,70 | 266,30 | | | Id. anterior. Id. anterior. Varios filoncillos de Q + sulfuros y Q de segregación. De los 268,40 a los 269 m abundante piritas y apatito. | | | I-86 | | | | | | | |
| 87 | 2,80 | 269,00 | 45° | | Pizarras gris-azuladas. Nódulos dispersos. De los 268,40 a los 269 m abundante piritas y apatito. A los 271,85 filón de 1 cm de Q (45° al eje). | | | I-87 | | | | | | | |
| 88 | 2,80 | 271,80 | | | Id. anterior. Nódulos dispersos. Al final los nódulos son de sulfuros. | | | I-88 | | | | | | | |
| 89 | 4,30 | 274,60 | | | Id. anterior. Id. anterior. | | 350° 20W | I-89 | | | | | | | |
| 90 | 4,10 | 278,90 | | | Id. anterior. Id. anterior. A los 281,18 m filón de 1 cm de Q + sulfuros (45° al eje). Apatito abundante (LUV) en el filón, y trazas de scheelita. | | | I-90 | | | | | | | |
| 91 | 4,05 | | | | | | | | | | | | | | |

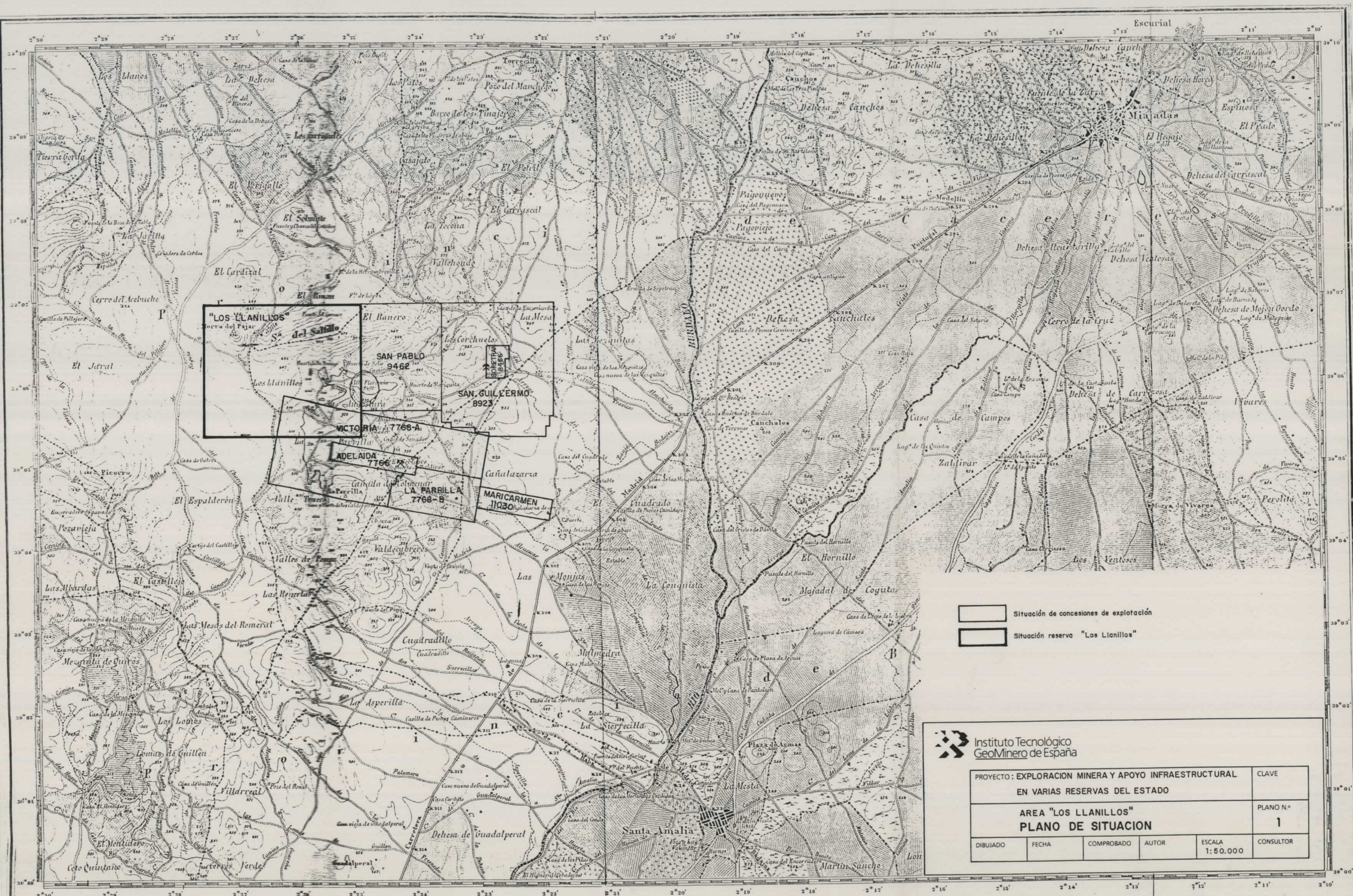
ESCALA 1:10.000



EXPLICACION

-  Isolíneas de contenidos de W en suelos
-  Sondeo Eléctrico Vertical nº 2
-  Sondeo con testigo nº 2
-  Area de 2º fase de geoquímica de suelos

| | | |
|------------|--|------------|
| DIBUJADO | MINISTERIO DE INDUSTRIA Y ENERGIA | |
| FECHA | INSTITUTO GEOLOGICO Y MINERO DE ESPAÑA  | |
| COMPROBADO | | |
| AUTOR | PROYECTO | CLAVE |
| ESCALA | | |
| CONSULTOR | SINTESIS DE TRABAJOS REALIZADOS EN EL AREA "LOS LLANILLOS" (Antes de 1986) | PLANO N° 4 |



"LOS LLANILLOS"
 Cerro del Fajar

EL BARRERO
 9462

SAN PABLO
 9462

SAN GUILERMO
 8923

VICTORIA
 7768-A

ADELAIDA
 7766-E

LA FABRILLA
 7768-B

MARICARMEN
 11030

- Situación de concesiones de explotación
- Situación reserva "Los Llanillos"

Instituto Tecnológico
 GeoMinero de España

| | | | | | |
|---|-------|------------|-------|--------------------|-----------|
| PROYECTO: EXPLORACION MINERA Y APOYO INFRAESTRUCTURAL | | | | | CLAVE |
| EN VARIAS RESERVAS DEL ESTADO | | | | | |
| AREA "LOS LLANILLOS" | | | | | PLANO N.º |
| PLANO DE SITUACION | | | | | 1 |
| DIBUJADO | FECHA | COMPROBADO | AUTOR | ESCALA 1:50.000 | CONSULTOR |

75 E 02

E 05

75 F 01

750 G 02

Arroyomolinos de Montánchez

MONTANCHEZ

750 A 02

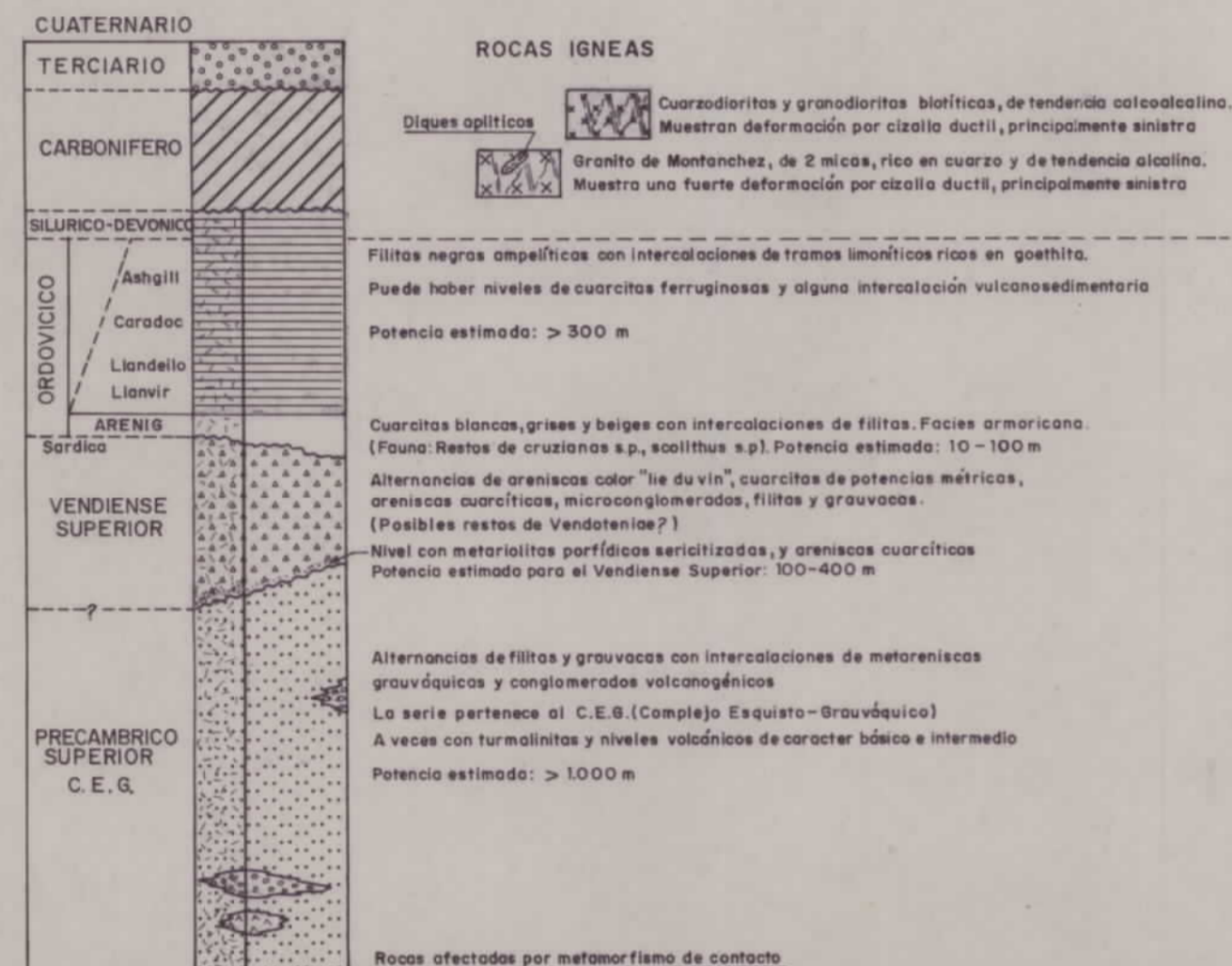
753 A 05

753 C 05

753 D 06

LEYENDA

COLUMNA LITOESTRATIGRAFICA



ROCAS FILONIANAS

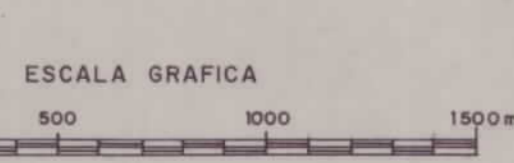
- Zona de silicificación y filices de cuarzo, probablemente relacionadas con los cabalgamientos
- Diques de diabasas

DATOS ESTRUCTURALES

- Contacto concordante
- Contacto discordante
- Contacto discordante inferio
- Contacto mecánico intrusivo
- Límite de aureola de metamorfismo de contacto
- Dirección y buzamiento de los planos de estratificación (S₁)
- Estratificación vertical
- Estratificación invertida
- Polaridad sedimentaria
- Dirección y buzamiento de los planos de esquistosidad (S₂)
- Esquistosidad vertical
- Lineaciones de intersección S₁/S₂
- Ejes de micro y mesoquiebras
- Trazo axial sinistral y buzamiento de la traza axial (Sentido de vergencia)
- Trazo axial sinistral y buzamiento de la traza axial (Sentido de vergencia) inversión del eje del pliegue
- Fracturas y fallas, a veces, con indicación de movimiento
- Cizallas dúctiles. Relaciones entre planos C y S, indicando movimiento general sinistral
- Milonitas
- Cabalgamiento

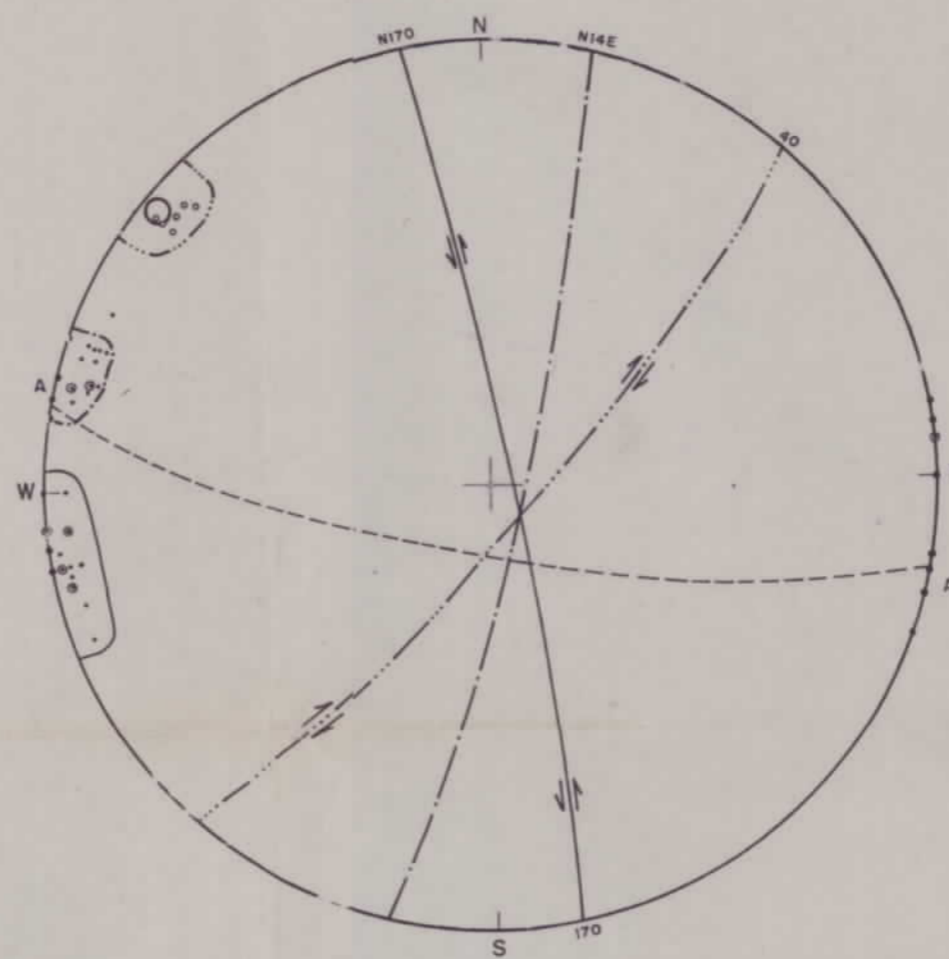
DATOS MINEROS Y REPRESENTACION DE INDICIOS

- Área minera de La Parrilla. Corte "Sección" Filices de Scheelite-Caolinita. Direcciones principales: N30°E y N60°E. Estaciones de toma de datos.
- Área minera de Los Llanillos. Filices de Cuarzo-Wolframita-Scheelite con Goethita. No existen filices "in situ" en superficie.
- Filices de Cuarzo-Bartinita-Galenita. Dirección y buzamiento (N40°E/80°S).
- Rocas filonianas de Cuarzo-Caolinita. (Direcciones principales N30°-40°E y N70°E).
- Filices de Cuarzo-Caolinita-Arsenopirita. (Direcciones principales).
- Filices de Cuarzo-Apatito. Número del indicio.
- Estaciones de medición en rocas metamórficas. Toma de muestras orientadas.
- Estaciones de medición en rocas ígneas. Toma de muestras orientadas.
- Lavadero y escombros de la mina de La Parrilla.
- Núcleo urbano.
- Referencia de fotografías, para construcción de fotomapa a Escala 1:18.000.

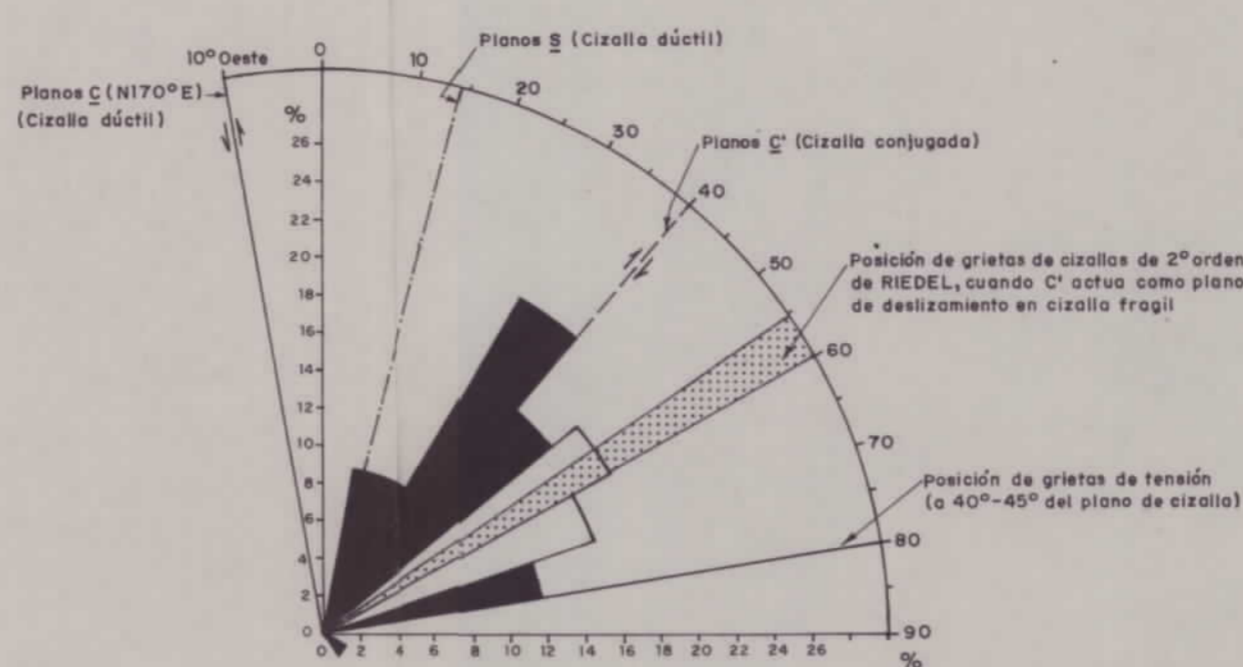


| | | |
|---|--|----------------|
| DIBUADO P. PEREZ MORAS | MINISTERIO DE INDUSTRIA Y ENERGIA INSTITUTO GEOLOGICO Y MINERO DE ESPAÑA | |
| FECHA DICIEMBRE 1986 COMPROBADO | | |
| AUTOR: P. BUIHEL Y A. OIL (I.G.M.E.) | PROYECTO: PREPARACION DE MUESTRAS EN ALDEA-MORET (CACERES) 86/87 E INVESTIGACION EN ZONAS DEL CENTRO-OESTE | CLAVE |
| ESCALA 1:18.000 | ESQUEMA GEOLOGICO-ESTRUCTURAL DE LA BANDA DE CIZALLA "MONTANCHEZ-LA PARRILLA" Y MINERALIZACIONES DE Sn-W. | PLANO N° 12 |
| CONSULTOR | | |

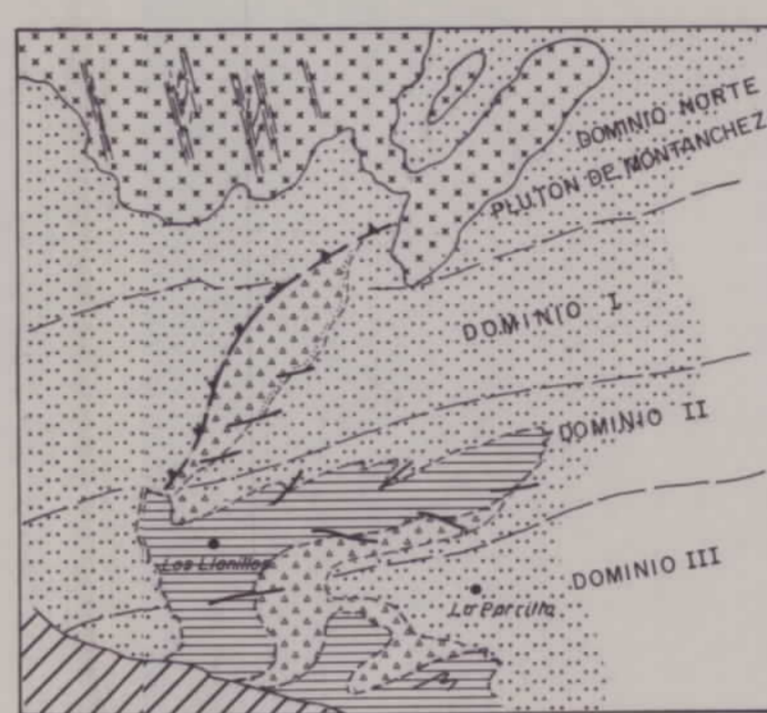
DIAGRAMAS ESTRUCTURALES



PROYECCION ESTEREOGRAFICA EQUI-AREAL (HEMISFERIO INFERIOR) DE 18 POLOS DE PLANOS Σ (---), 18 POLOS DE PLANOS Σ (---) SENESTRO Y 6 POLOS DE PLANOS Σ (---) DEXTROS. LOS POLOS DE LOS FILONES (O), COINCIDEN CON LOS POLOS DE LOS PLANOS Σ '

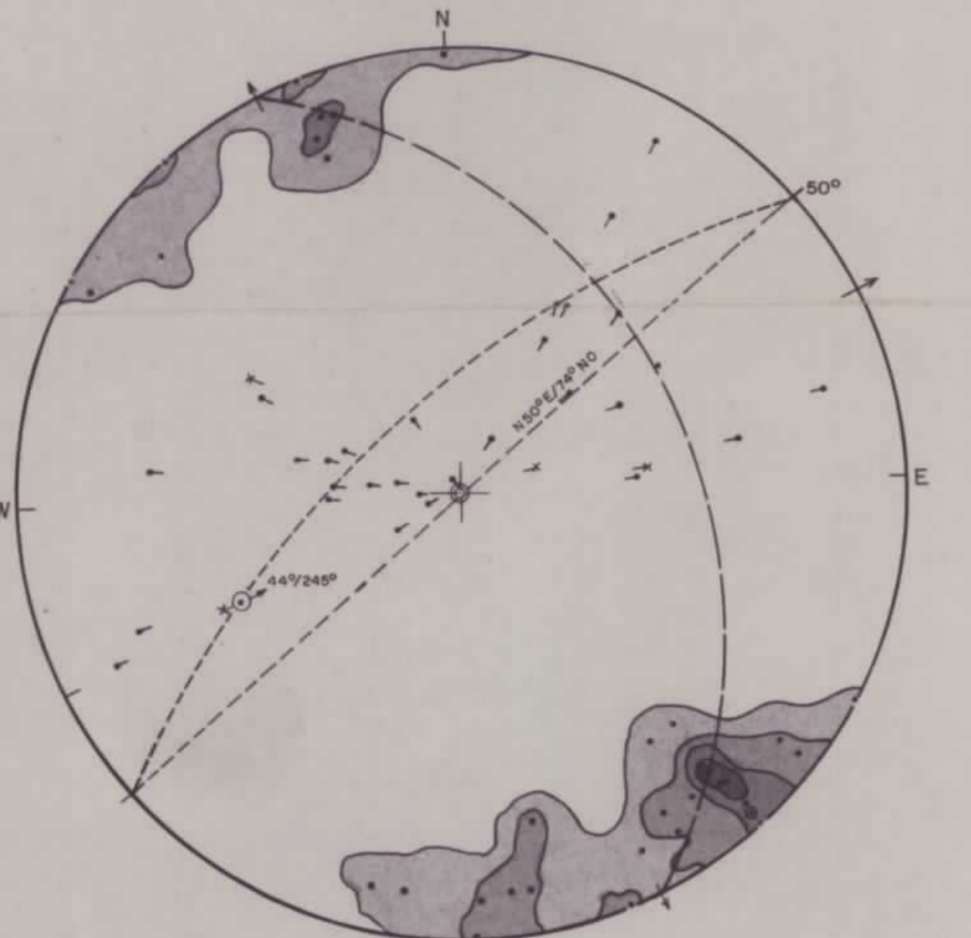


PRINCIPALES DIRECCIONES FILONIANAS (EN %) DE LOS INDICIOS DE S_n DEL SUR DEL STOK DE MONTANCHEZ (34 MEDIDAS). SE REPRESENTAN TAMBIEN LA TRAZA DE LOS PLANOS C, S Y C', ASI COMO LA POSICION DE LAS GRIETAS DE TENSION Y GRIETAS RIEDEL DESARROLLADAS EN CIZALLA FRAGIL

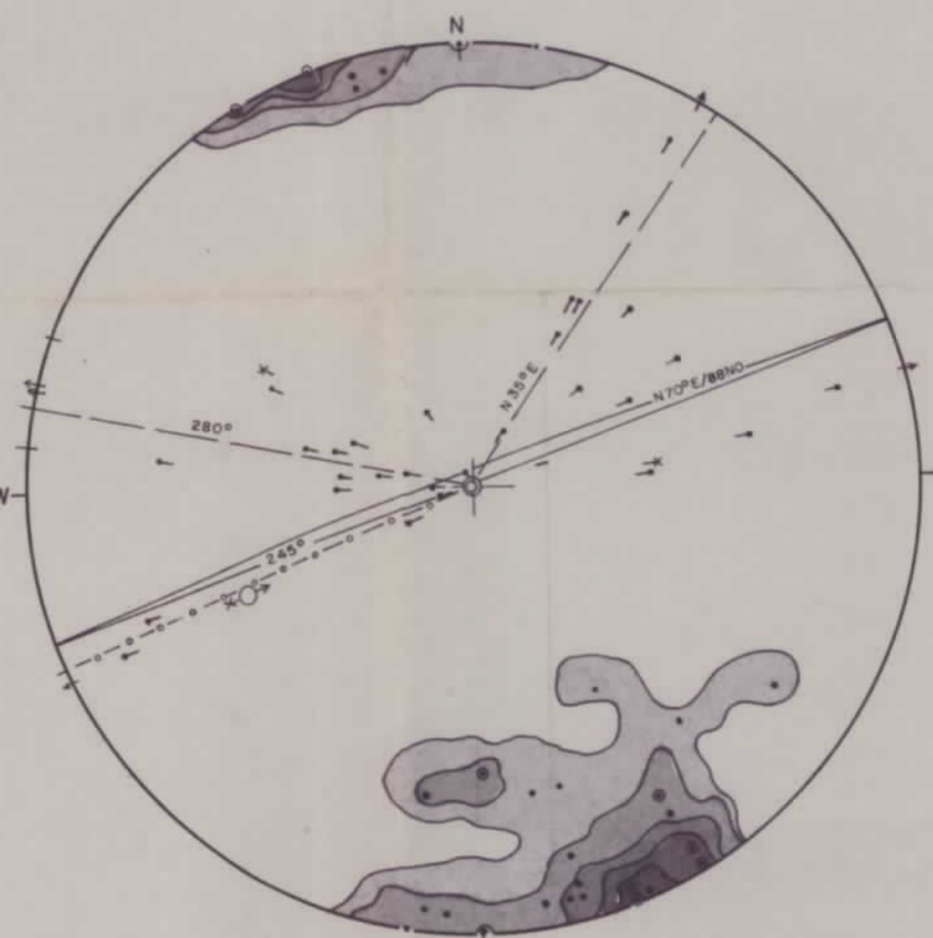


ESQUEMA DE SITUACION DE DOMINIO

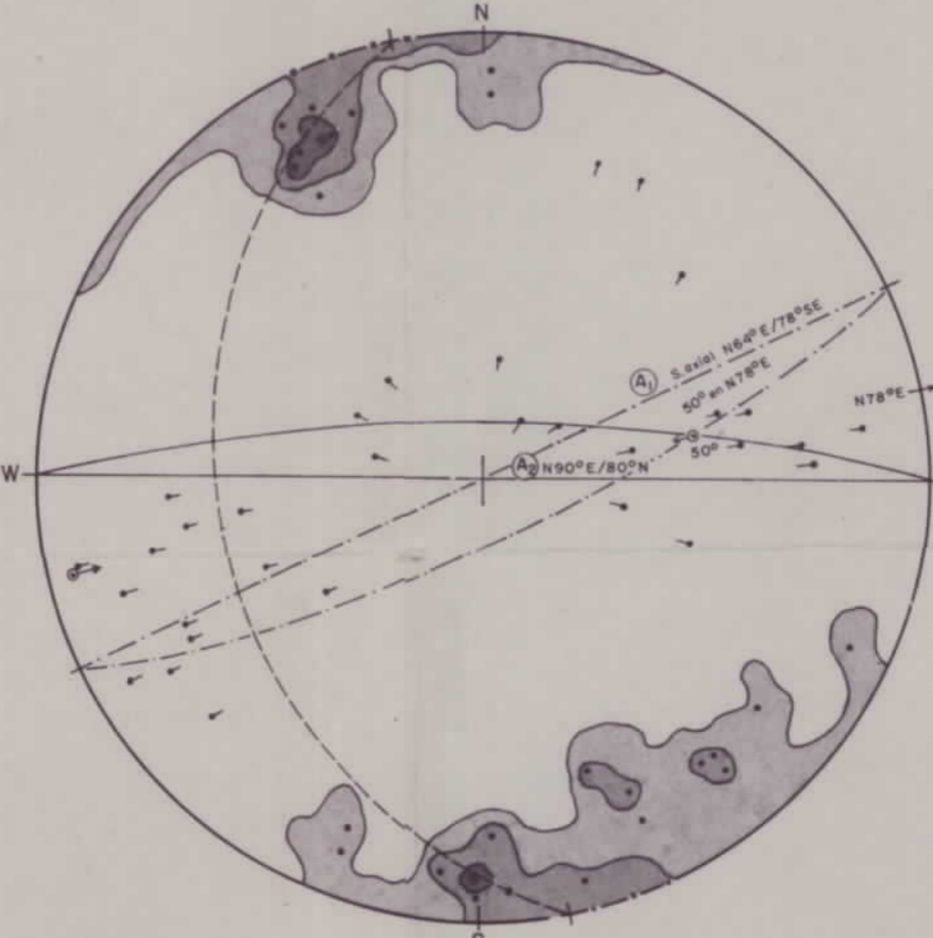
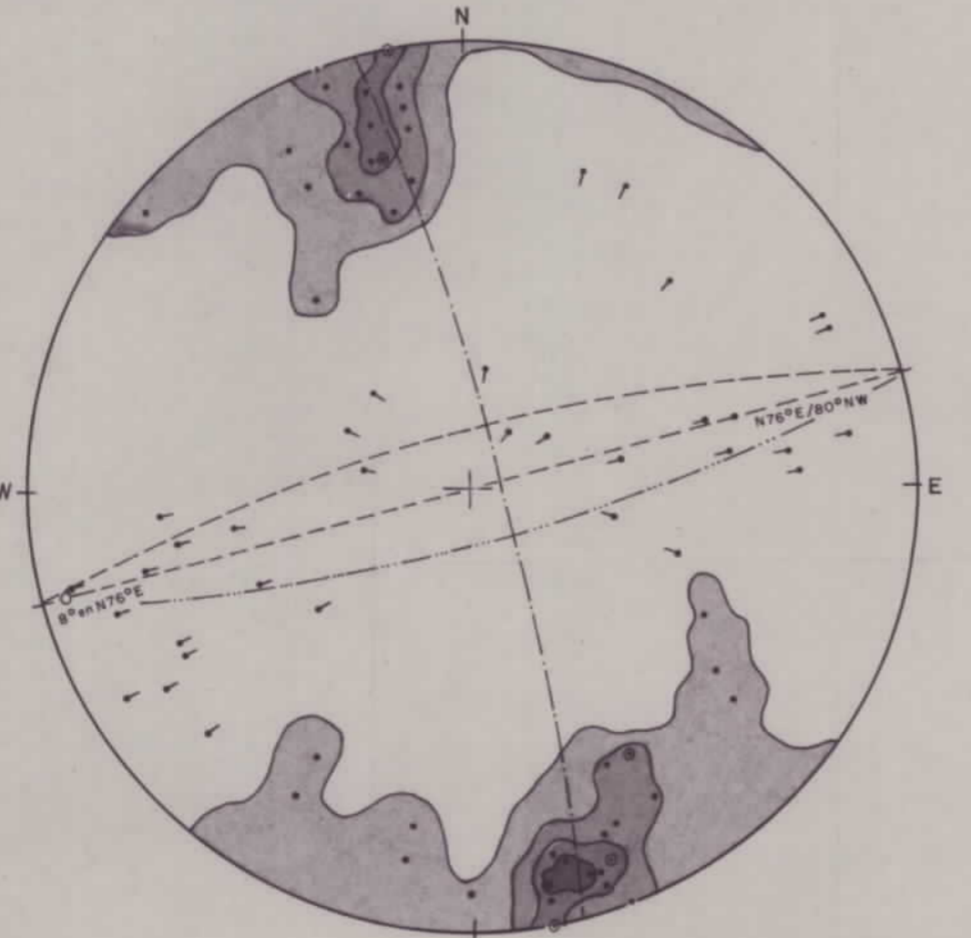
31 POLOS DE S_0 , S_1 y L_1 EN EL DOMINIO I



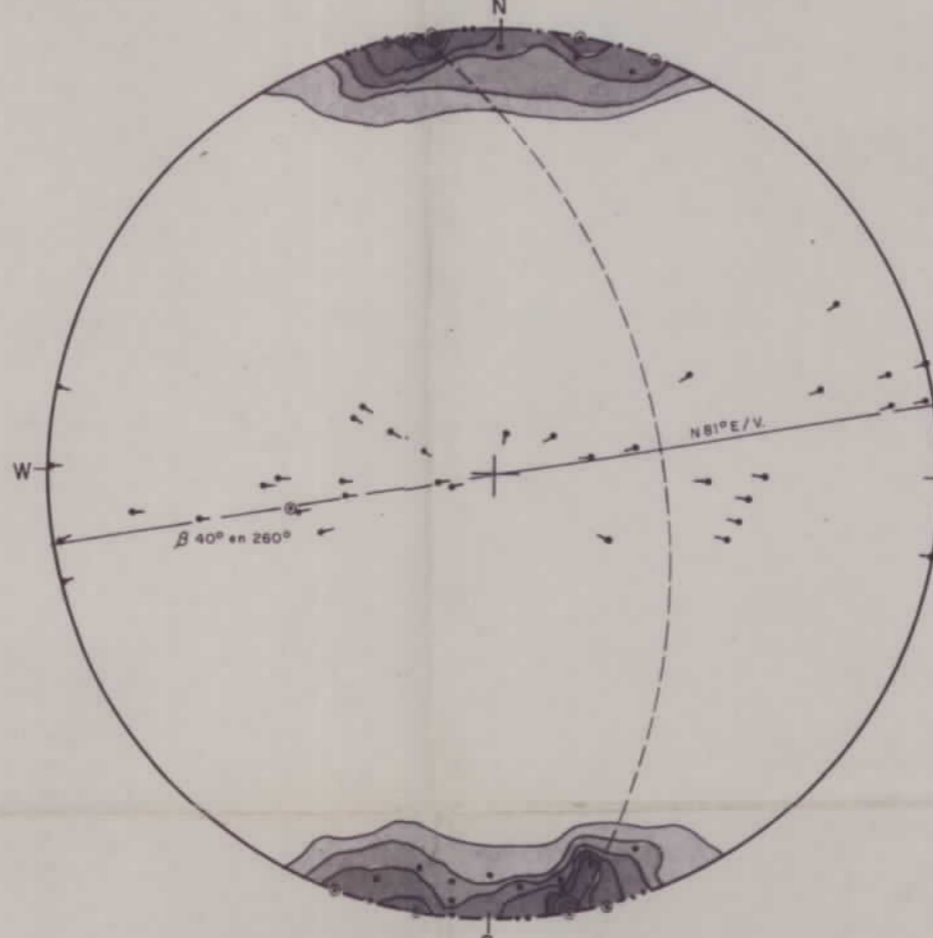
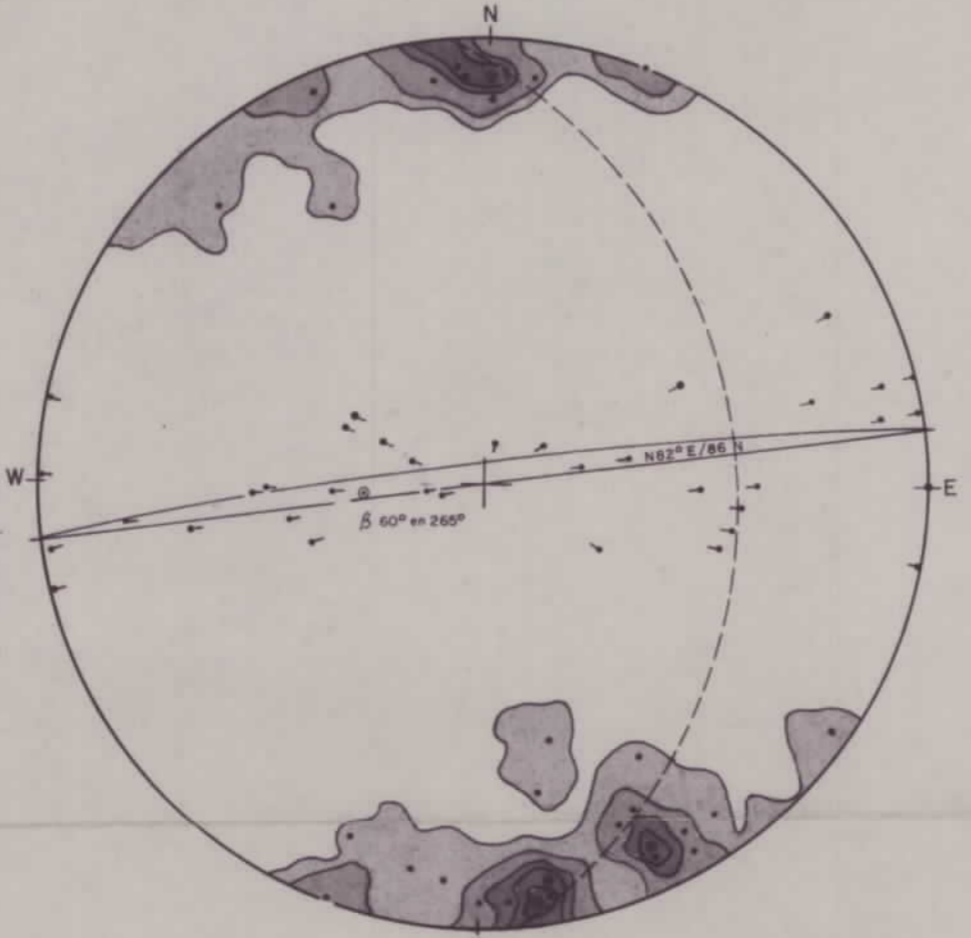
PRECAMBRICO C.E.G. NORTE y VENDIENSE SUPERIOR



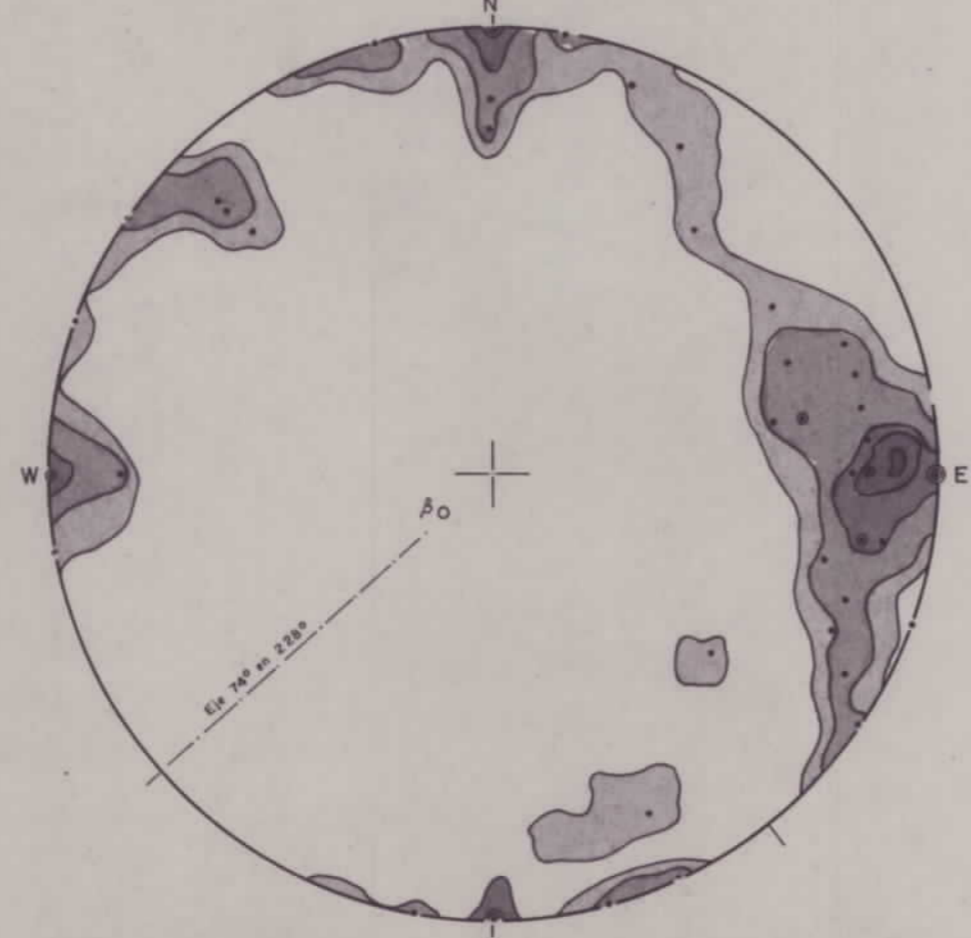
45 POLOS DE S_0 , 33 POLOS S_1 y 33 L_1 EN EL DOMINIO II. PALEOZOICO DEL SINCLINAL DE LOS LLANILLOS



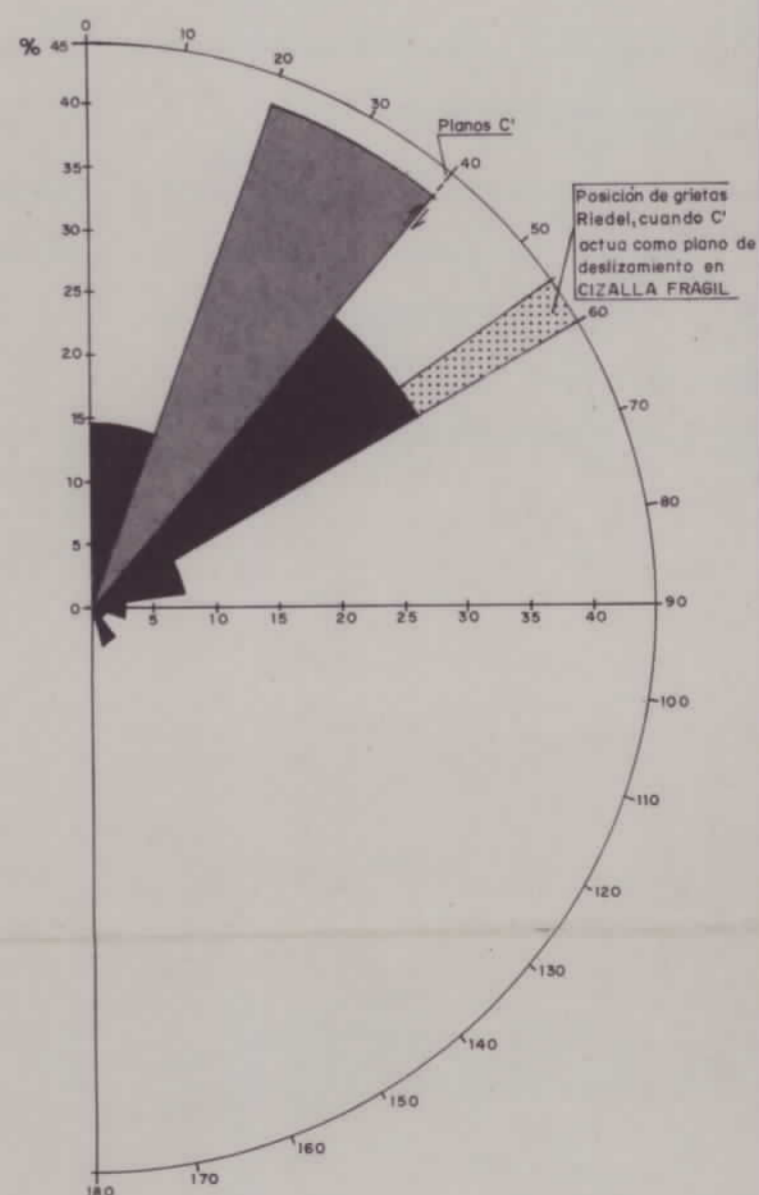
33 POLOS DE S_0 , 33 POLOS DE S_1 y 33 L_1 EN EL DOMINIO III. PRECAMBRICO C.E.G. SUR (ALREDEDORES DE LA PARRILLA)



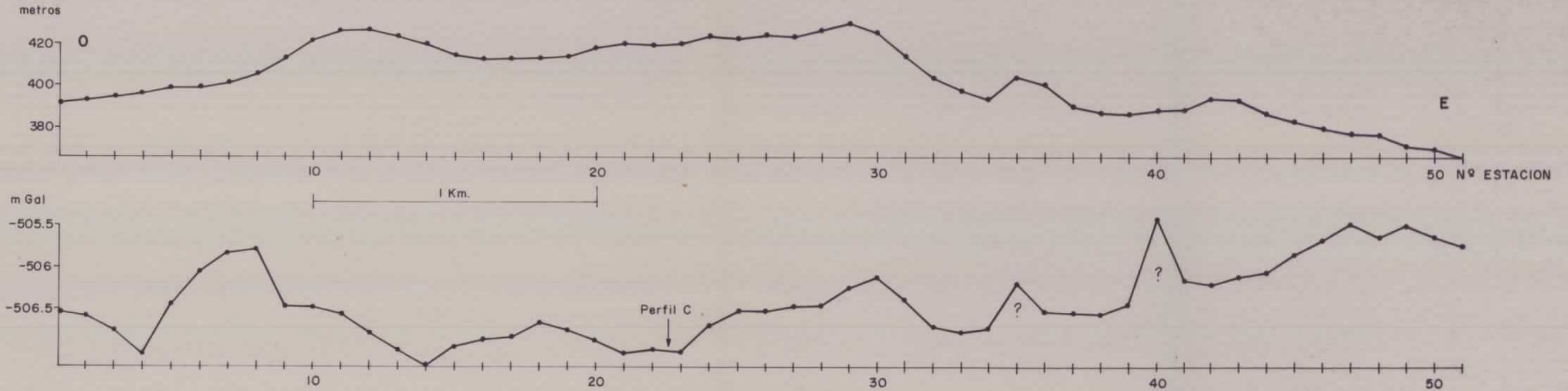
43 POLOS PLANOS S_0 (CUARCITAS ORDOVICICAS)



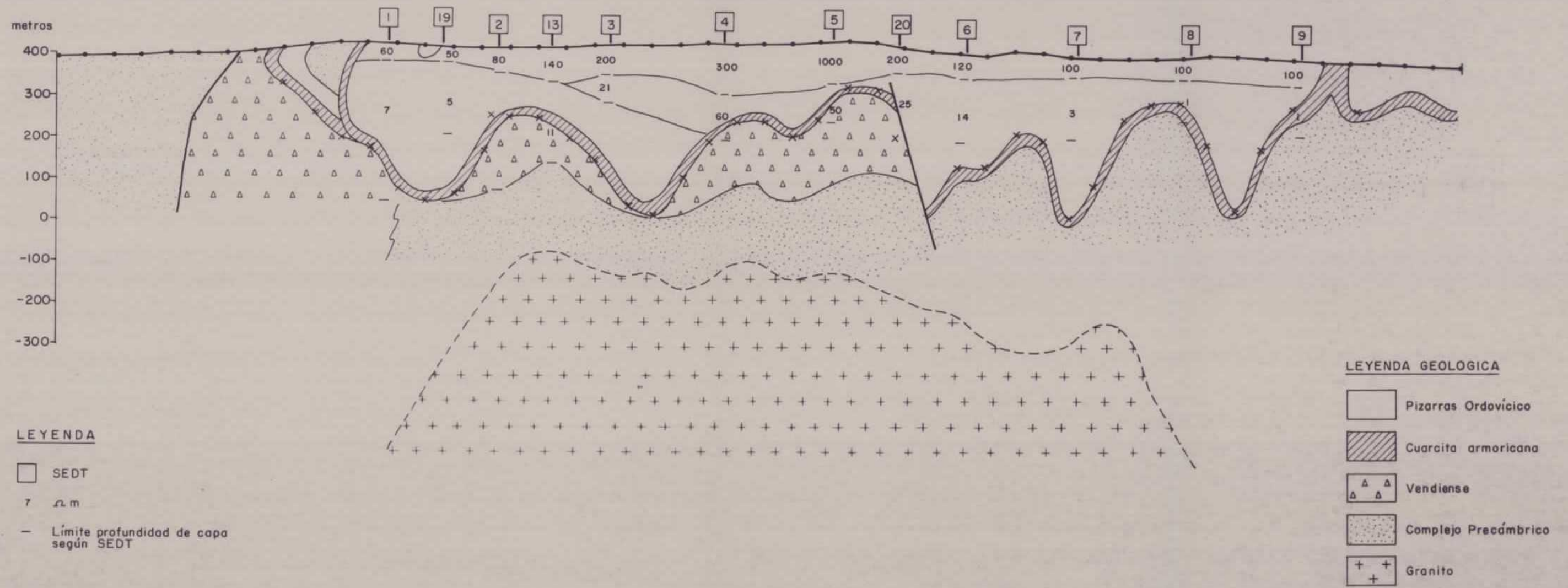
PRINCIPALES DIRECCIONES DE LOS FILONES CON SCHEELITA Y CASITERITA DE LA MINA LA PARRILLA (CORTA ADELAIDA) 234 MEDIDAS EN %

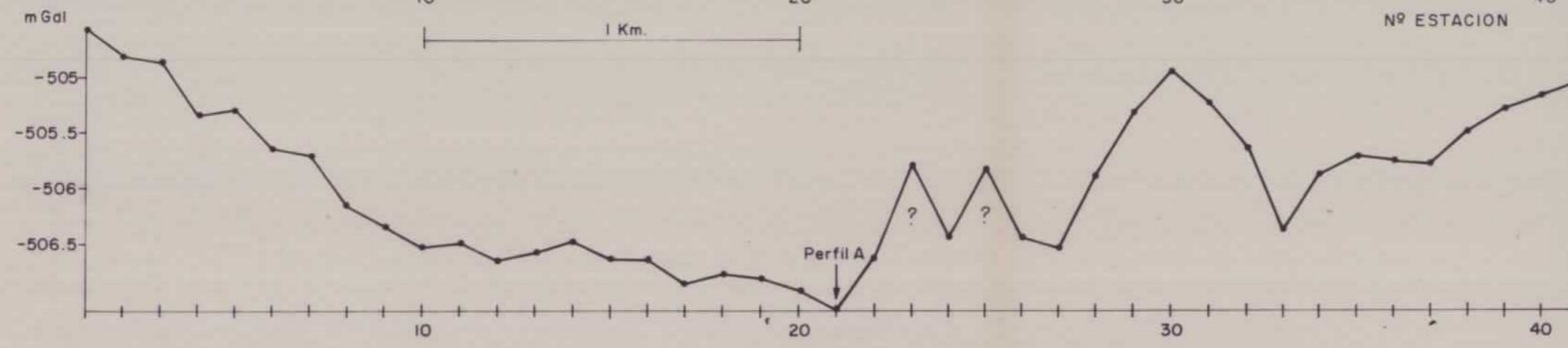
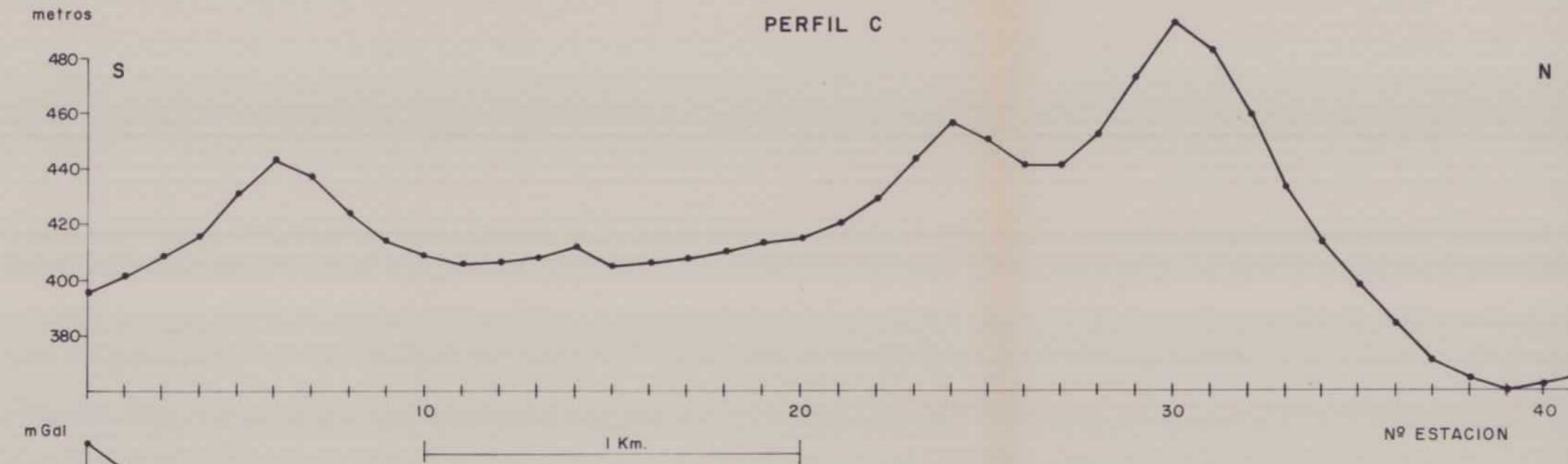


PERFIL A



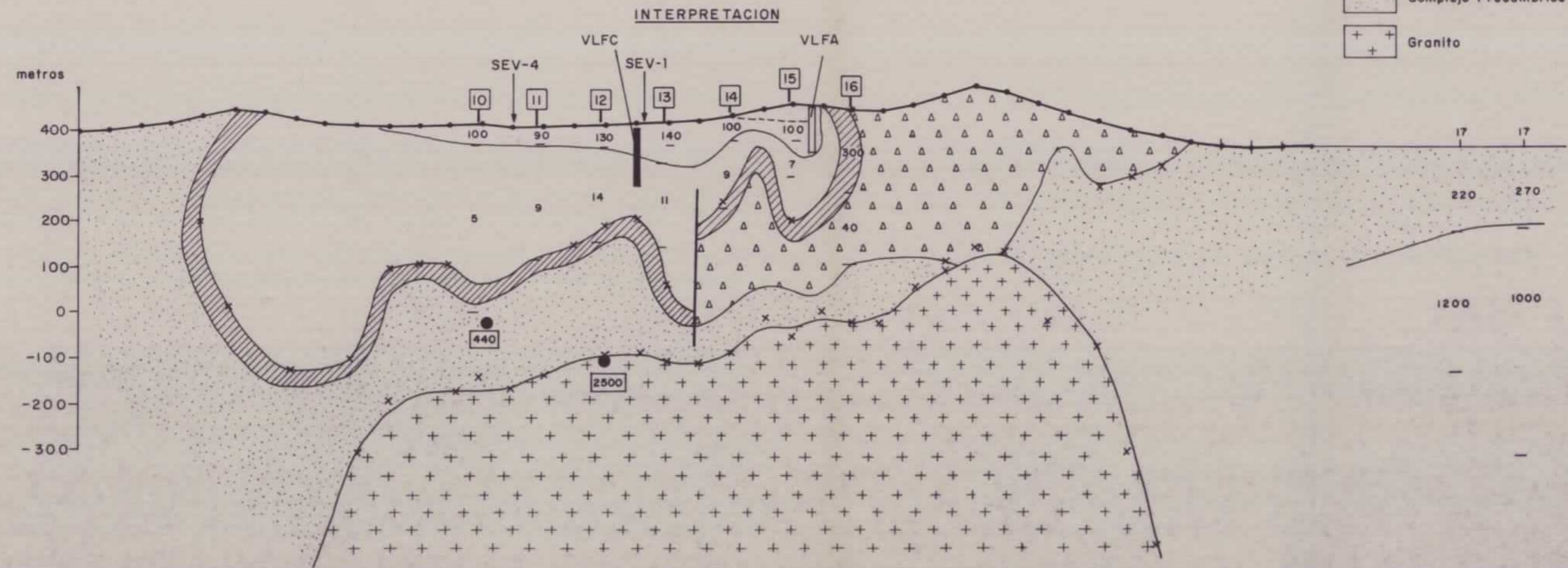
INTERPRETACION

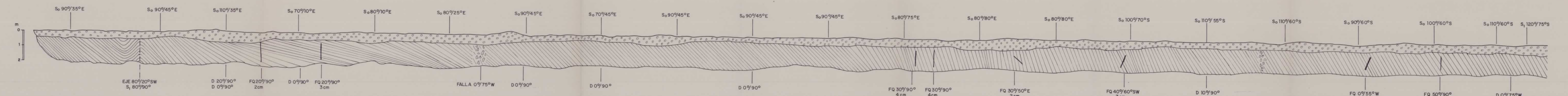
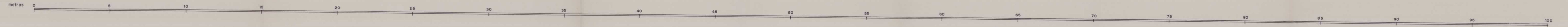




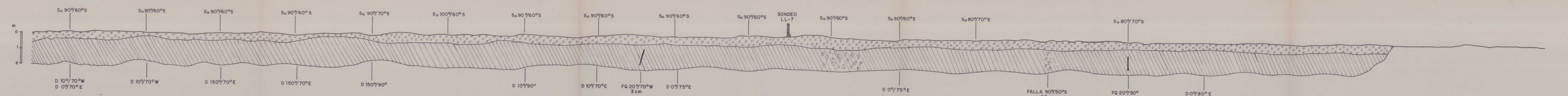
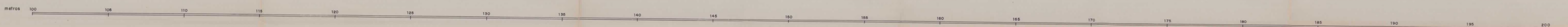
- LEYENDA
- 12 SEDT
 - Límite resistividad SEDT = 5Ωm
 - Límite resistividad SEV = 2.500Ωm
 - █ Conductor de VLF
 - ▭ Conductor de VLF proyectado
 - x Profundidad por inversión gravimétrica

- LEYENDA GEOLOGICA
- Pizarras Ordovícico
 - ▨ Cuarcita armoricana
 - △△ Vendense
 - Complejo Precámbrico
 - + + Granito



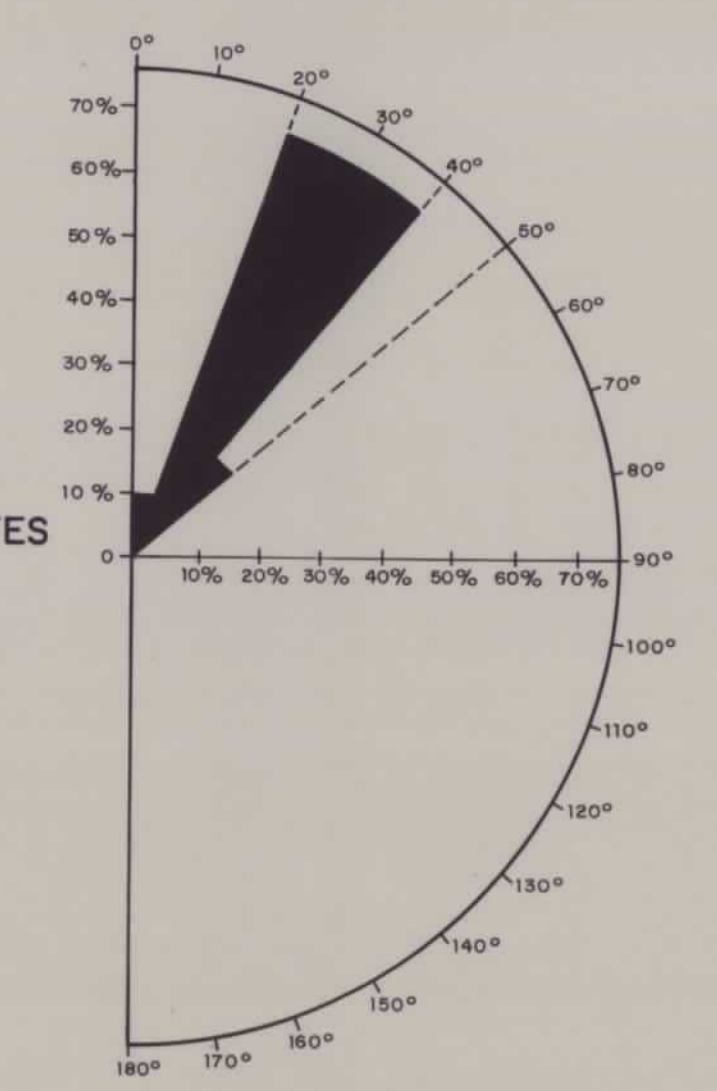


| Nº de muestra | 28 29 30 31 | | | | 58 59 60 | | | | 65 66 | | 72 73 | | 80 81 82 83 | | | | 88 89 | | 93 94 | |
|---------------|---------------|--|--|--|----------|--|--|--|-------|--|-------|--|-------------|--|--|--|-------|--|-------|--|
| | Contenido ppm | | | | | | | | | | | | | | | | | | | |
| Sn | | | | | | | | | | | | | | | | | | | | |
| W | | | | | | | | | | | | | | | | | | | | |
| As | | | | | | | | | | | | | | | | | | | | |
| Cu | | | | | | | | | | | | | | | | | | | | |
| Zn | | | | | | | | | | | | | | | | | | | | |



| Nº de muestra | 140 141 | | 152 153 154 155 156 | | | | | 166 167 168 | | | 172 173 | |
|---------------|---------------|--|---------------------|--|--|--|--|-------------|--|--|---------|--|
| | Contenido ppm | | | | | | | | | | | |
| Sn | | | | | | | | | | | | |
| W | | | | | | | | | | | | |
| As | | | | | | | | | | | | |
| Cu | | | | | | | | | | | | |
| Zn | | | | | | | | | | | | |

DIAGRAMA EN ROSA INDICANDO LAS DIRECCIONES PREDOMINANTES DE LOS FILONES DE CUARZO DE LAS CALICATAS



LEYENDA

- Suelo
- Filonas de cuarzo (FQ)
- Pizarras
- Zonas con brechificación
- D Dielciasas

| | | |
|--|---|-------------------------|
| DIBUJADO F. PEREZ MORAS FECHA Diciembre 1988 COMPROBADO J. LIARTE AUTOR V. MEMBRILLERA ESCALA V y H 1: 100 CONSULTOR | MINISTERIO DE INDUSTRIA Y ENERGIA INSTITUTO GEOLOGICO Y MINERO DE ESPAÑA PROYECTO EXPLORACION MINERA Y APOYO INFRAESTRUCTURAL EN VARIAS RESERVAS DEL ESTADO AREA DE LOS LLANILLOS | CLAVE PLANO Nº 44 |
| CALICATA C-LL-2 | | |



LEYENDA

| | | | | | |
|-----------------------------------|--------------|----|----|----|----|
| CUATERNARIO | | 47 | 48 | 49 | 50 |
| TERCIARIO | | 46 | | | |
| CARBONIFERO SUPERIOR ESTEFANIENSE | B MEDIO | 45 | | | |
| | | 44 | | | |
| | | 43 | | | |
| DEVONICO | SUPERIOR | 42 | | | |
| | | 41 | | | |
| | | 40 | | | |
| SILURICO INF | LLANDOVERY | 39 | | | |
| | | 38 | | | |
| | | 37 | | | |
| ORDOVICICO SUPERIOR | ASHGILIENSE | 36 | | | |
| | | 35 | | | |
| | | 34 | | | |
| ORDOVICICO MEDIO | CARADOC | 33 | | | |
| | | 32 | | | |
| | | 31 | | | |
| ORDOVICICO INFERIOR | PROTEROZOICO | 30 | | | |
| | | 29 | | | |
| | | 28 | | | |
| PRECAMBRI | PROTEROZOICO | 27 | | | |
| | | 26 | | | |
| | | 25 | | | |

VOLCANICAS

| | |
|------------------|---------------------------|
| pP | Riolitas.(5) |
| E ^{MVb} | Metabasaltos.(4) |
| γ | Traquitas.(3) |
| β ^{MV} | Metavolcanitas ácidas.(2) |

FILONIANAS

| | |
|----|----------------------|
| Fq | Diques de cuarzo.(1) |
|----|----------------------|

| | | |
|----------------------------------|---|-------|
| QCd | Canos de desecación.(50) | |
| QC | Caluvas.(49) | |
| QAI ₂ | Aluvial (cauce actual): Conglomerados y arenas.(48) | |
| QAI | Aluvial (Llanura de inundación): Conglomerados y arenas.(47) | |
| QT | Terrazas: Conglomerados cuarcíticos o arenas cuarcosas.(46) | |
| T | Arenas y arcillas con hiladas conglomeráticas y bloques.(45) | |
| H ₃₃ ^{B2} Mf | Filits mosqueados.(44) | |
| H ₃₃ ^{B2} f | Filits grises.(43) | |
| H ₃₃ ^{B2} q | Cuarcitas grises.(42) | |
| H ₃₃ ^{B2} f | Filits.(41) | |
| H ₃₃ ^{B2} | Alternancia de cuarcitas y filits.(40) | |
| H ₃₃ ^{B2} q | Cuarcitas grises.(39) | |
| H ₃₃ ^{B2} w | Areniscas y grauvacas.(38) | |
| H ₃₃ ^{B2} cg | Conglomerados.(37) | |
| H ₃₃ ^{B1} q | Cuarcitas.(36) | |
| H ₃₃ ^{B1} | Areniscas rojas.(35) | |
| H ₃₃ ^{B1} | Areniscas rojas arcillosas y cuarcitas.(34) | |
| S ^B Ds | Niveles ferríferos arenosos.(33) | |
| S ^B D | Alternancia de cuarcitas y filits grises.(32) | |
| S ^A | Cuarcitas negras micáceas.(31) | |
| O ₃₂ ^{af} | Alternancia de filits y cuarcitas.(30) | |
| O ₃₂ ^w | Grauvacas.(29) | |
| O ₃₂ ^f | Filits negras.(28) | |
| O ₃₂ | Filits negras, grauvacas y alternancia de cuarcitas y filits.(27) | |
| O ₃₁ | Cuarcitas micáceas grises.(26) | |
| O ₁₋₃₁ ^M | Filits negras mosqueadas.(25) | |
| O ₁₋₃₁ ^{af} | Alternancia de cuarcitas y filits negras.(24) | |
| O ₁₋₃₁ ^f | Filits negras.(23) | |
| O ₁₋₃₁ | Alternancia de cuarcitas y filits negras.(22) | |
| O ₁₋₂ ^M | Filits mosqueadas.(21) | |
| O ₁₋₂ ^{af} | Alternancia de cuarcitas y filits.(20) | |
| O ₁₋₂ | Filits.(19) | |
| O _{1-D} | Paleozoico indiferenciado.(18) | |
| O ₁ ^M | Cuarcitas grises en bancos.(17) | |
| O ₁ | Cuarcitas grises en bancos.(16) | |
| PC ₂ ^{Mtu} | Turmalinitas.(15) | |
| PC ₂ ^{Mcg} | Conglomerados.(14) | |
| PC ₂ ^{Mf} | Filits negras mosqueadas.(13) | |
| PC ₂ ^{Mw} | Grauvacas mosqueadas.(12) | |
| PC ₂ ^{Mq} | Cuarcitas.(11) | |
| PC ₂ ^M | Grauvacas y filits mosqueadas.(10) | |
| PC ₂ ^f | Filits negras.(9) | |
| PC ₂ ^w | Grauvacas.(8) | |
| PC ₂ ^q | Cuarcitas.(7) | |
| C ₂ | Grauvacas y filits.(6) | |

SIGNOS CONVENCIONALES

| | |
|-------|--|
| | Contacto normal |
| | Contacto normal supuesto |
| ----- | Contacto discordante |
| ----- | Contacto discordante supuesto |
| ----- | Cambio lateral de facies |
| ----- | Aureola de metamorfismo |
| ----- | Limite de afloramiento |
| ----- | Falla |
| ----- | Falla supuesta |
| ----- | Dirección y buzamiento |
| ----- | Buzamiento vertical |
| ----- | Buzamiento invertido |
| ----- | Dirección y buzamiento de la esquistosidad |
| ----- | Esquistosidad vertical |
| ----- | Anticlinal |
| ----- | Anticlinal con sentido de buzamiento axial |
| ----- | Sinclínario |
| ----- | Sinclinal |
| ----- | Sinclinal con sentido de buzamiento axial |
| ----- | Borde de terraza |
| ----- | Fosiles en general |
| ----- | Cantera |

Instituto Tecnológico GeoMinero de España

| | | | | |
|---|---------------------|------------|-------|-----------------------|
| PROYECTO DEL PROYECTO INVESTIGACION MINERA EN LA ZONA DEL NOROESTE DE SANTA AMALIA (CACERES-BADAJOS) (Plano n°16) | | | | CLAVE |
| MAPA GEOLOGICO (Con indicación de área con metamorfismo de contacto visible) | | | | PLANO N.º 2 |
| DIBUJADO ITGE | FECHA ABRIL 1989 | COMPROBADO | AUTOR | ESCALA 1:10.000 |
| | | | | CONSULTOR |



INFRAESTRUCTURA MINERA

AREA LOS LLANILLOS

ZONA CO-15 HOJA 753

PROGRAMA DE
EXPLORACION SISTEMATICA
(GEOQUIMICA TACTICA)

ANOMALIAS

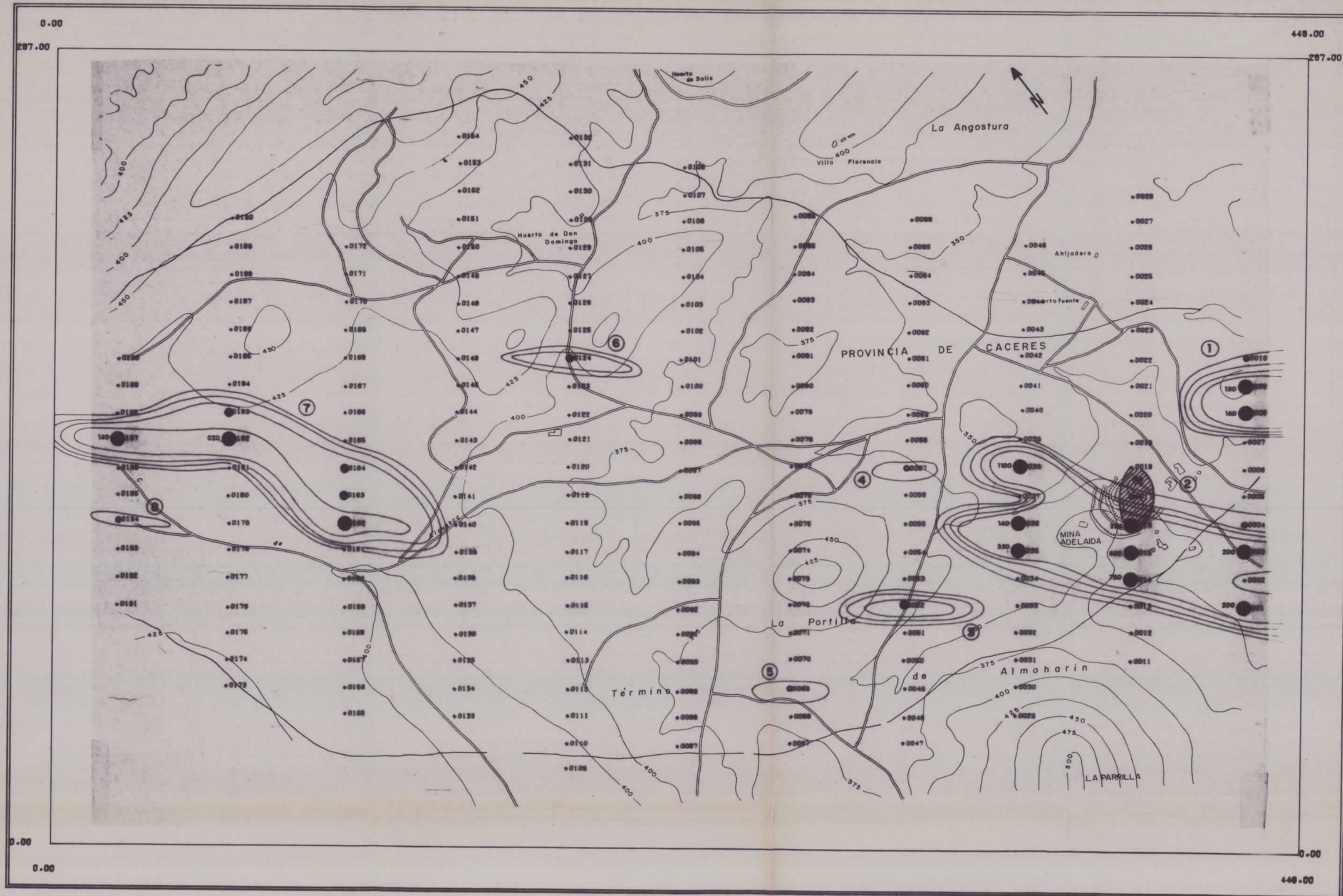
Sn

ESC.: 1:10.000

MAPA NO. 8

| | | | |
|---|----------|---|-----------|
| • | ≤ 75 | ● | 105 a 120 |
| ○ | 75 a 90 | ● | > 120 |
| ◐ | 90 a 105 | | |

PLANO N°6





INFRAESTRUCTURA MINERA

AREA LOS LLANILLOS

ZONA ... HOJA 753

PROGRAMA DE EXPLORACION SISTEMATICA (GEOQUIMICA TACTICA)

ANOMALIAS

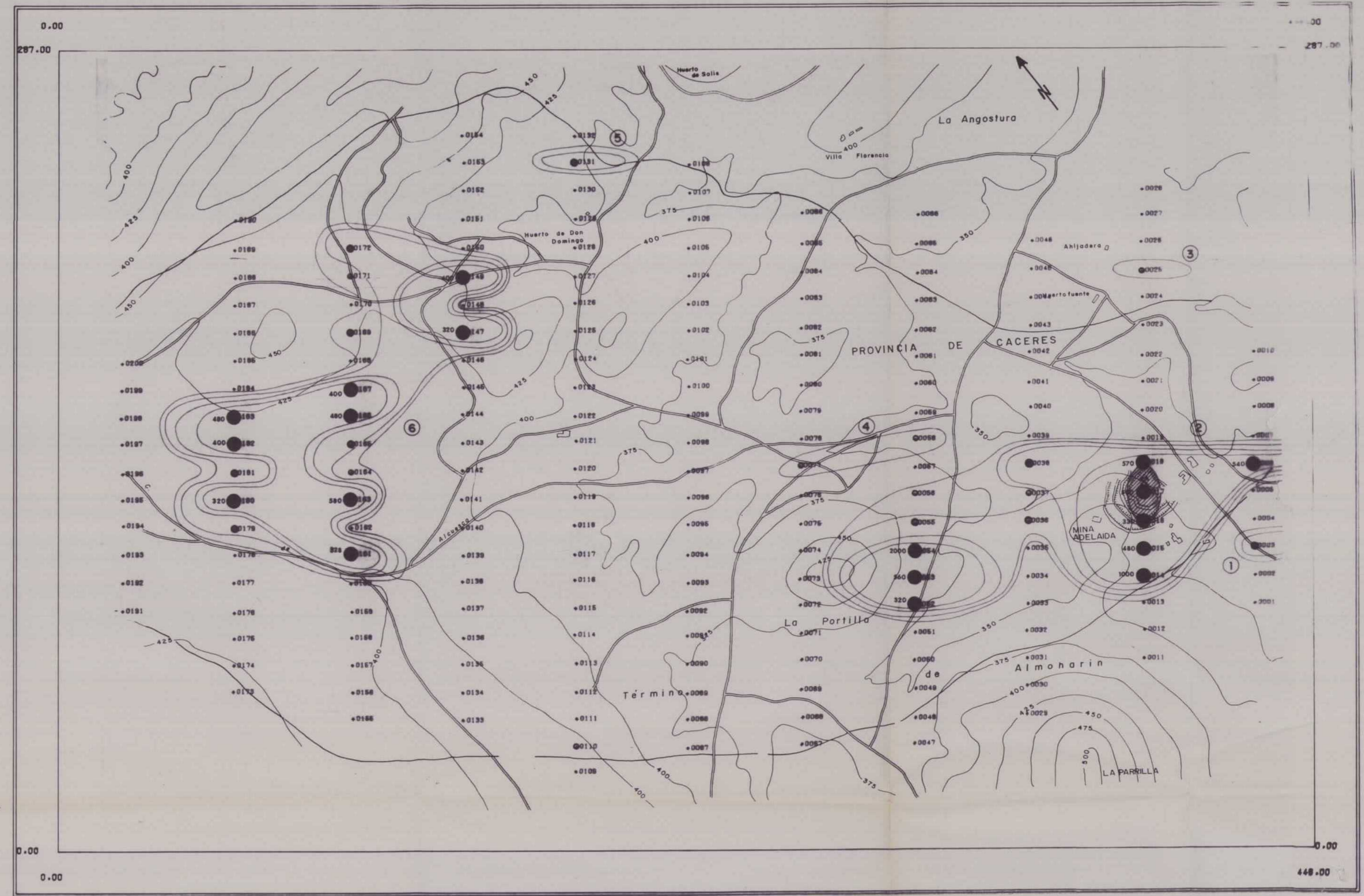
W

ESCALA 1:10.000

MAPA NO. 4

- | | |
|-------------|-------------|
| □ ≤ 150 | ● 250 a 300 |
| ○ 150 a 200 | ● > 300 |
| ○ 200 a 250 | |

PLANO Nº5



5



INFRAESTRUCTURA MINERA

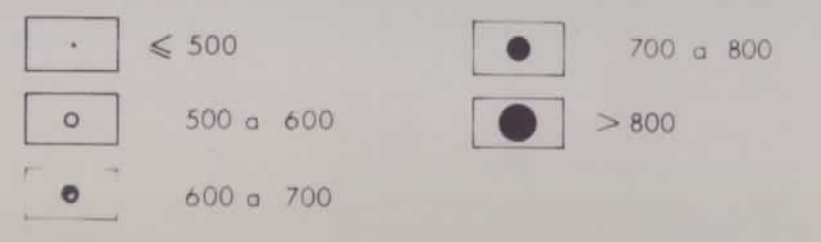
AREA LOS LLANILLOS

ZONA CA-15

PROGRAMA DE
EXPLORACION SISTEMATICA
(GEOQUIMIA TACTICA)

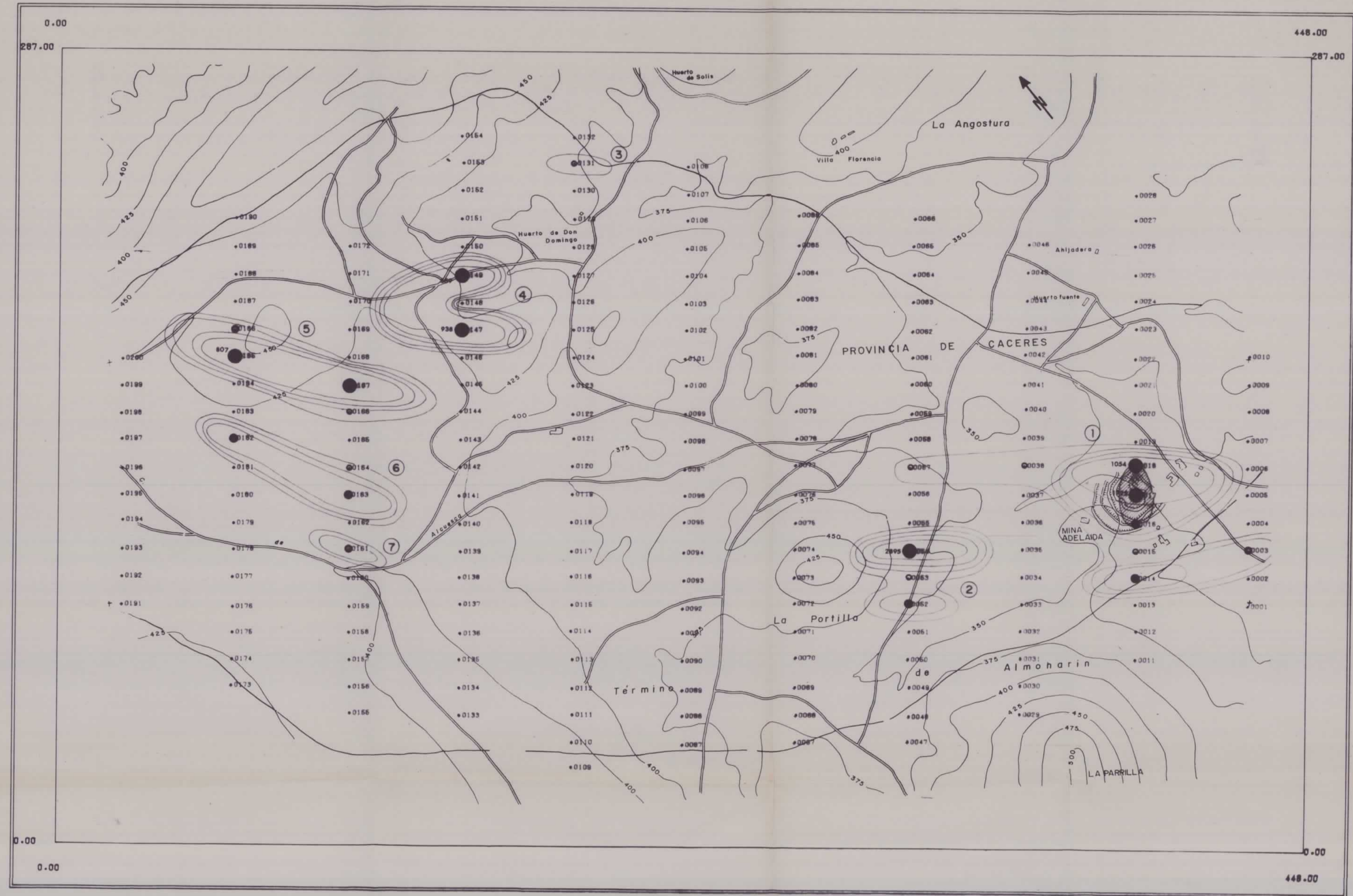
ANOMALIAS

As



MAPA N.º 5

PLANO N.º 7



INFRAESTRUCTURA MINERA

AREA LOS PLANILLOS

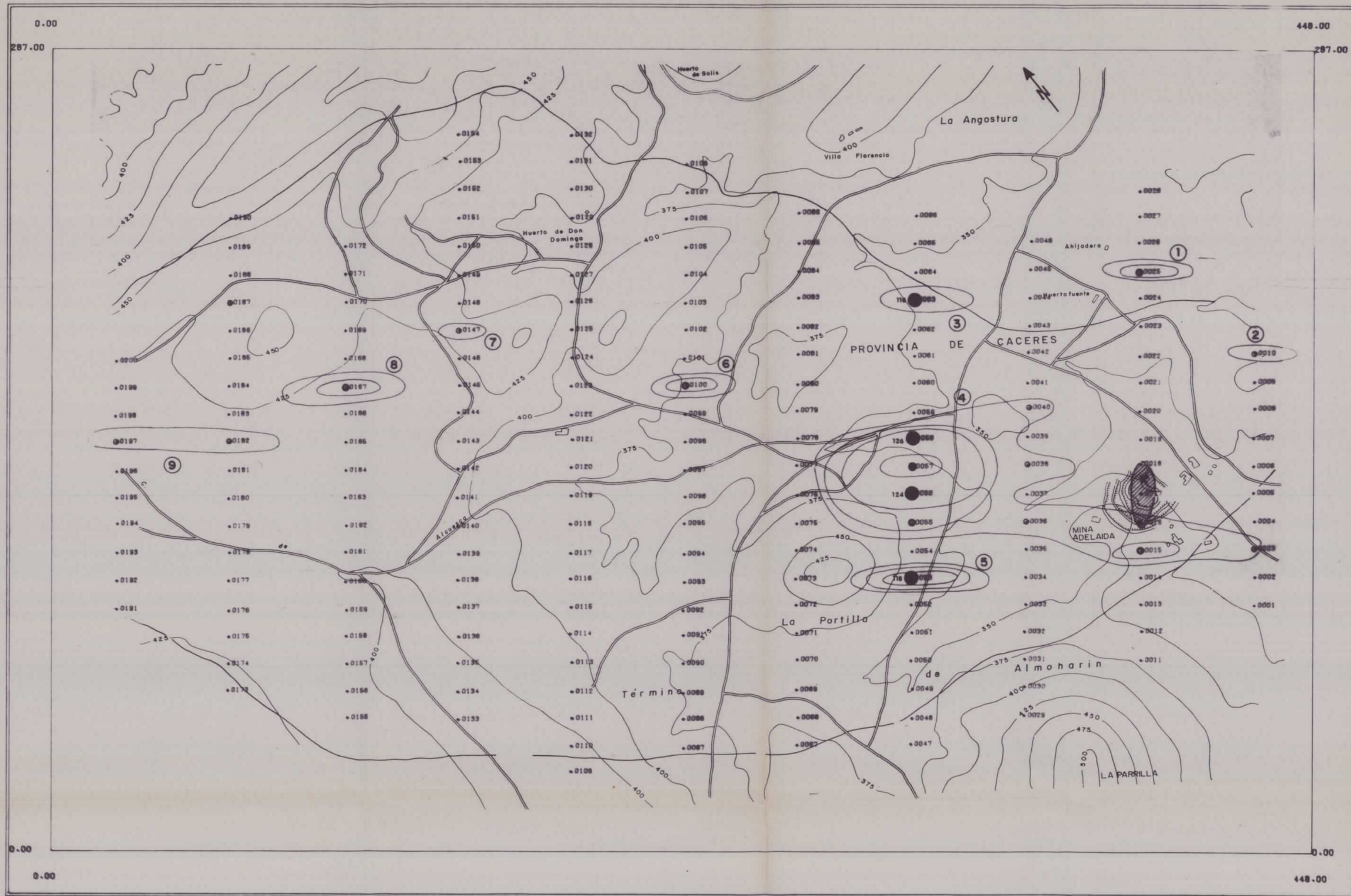
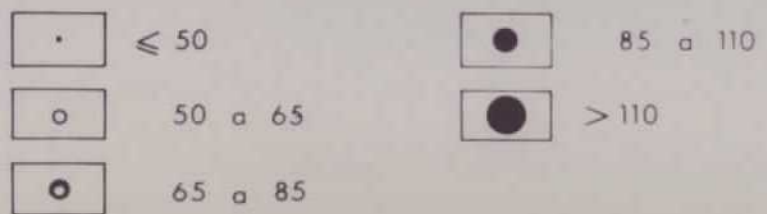
ZONA

ANOMALIAS

B

Mapa nº 6

PLANO Nº 8





INFRAESTRUCTURA MINERA

AREA LOS LLANILLOS

ZONA CO-15 HOJA 753

PROGRAMA DE
EXPLORACION SISTEMATICA
(GEOQUIMICA TACTICA)

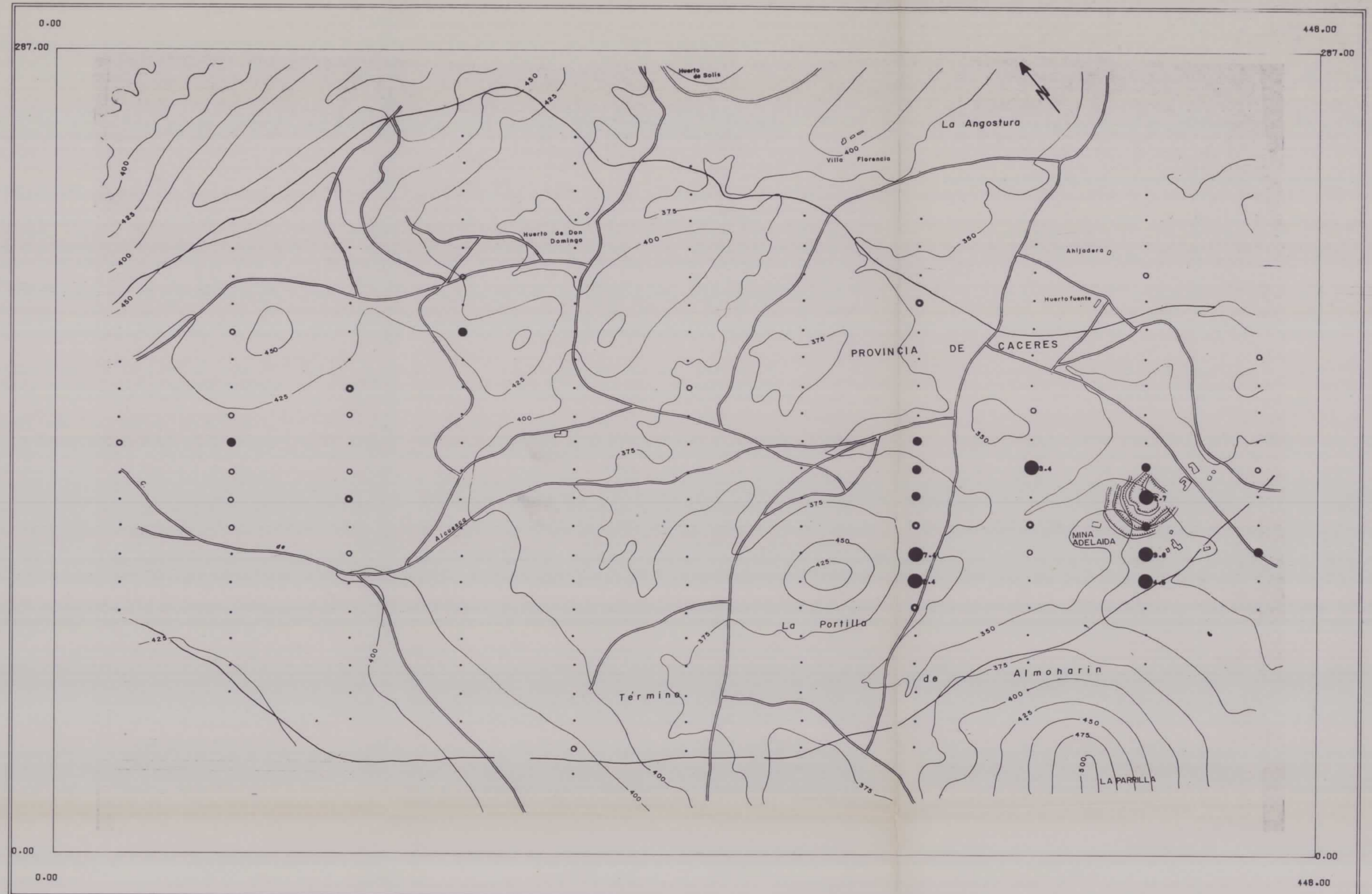
F. 2

| | | OBSERV. | % |
|---|-------------|-------------|------|
| • | < 0.50 | 0163 | 81.5 |
| ○ | 0.50 a 1.00 | 0017 | 8.5 |
| ◐ | 1.00 a 1.50 | 0006 | 3.0 |
| ◑ | 1.50 a 2.00 | 0008 | 4.0 |
| ● | > 2.00 | 0006 | 3.0 |
| | | <u>0200</u> | |

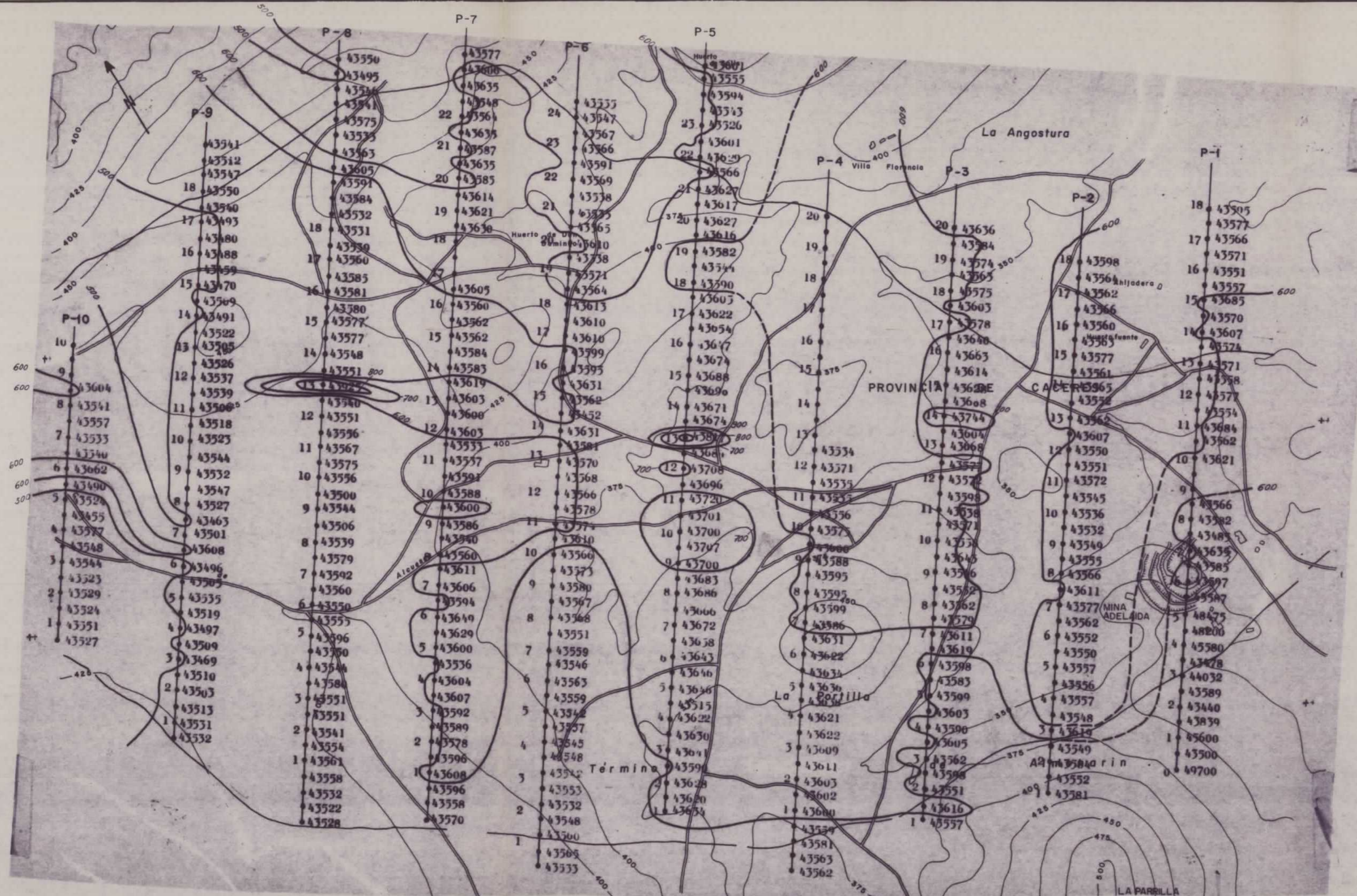
ESC.: 1:10.000

MAPA NO. 9

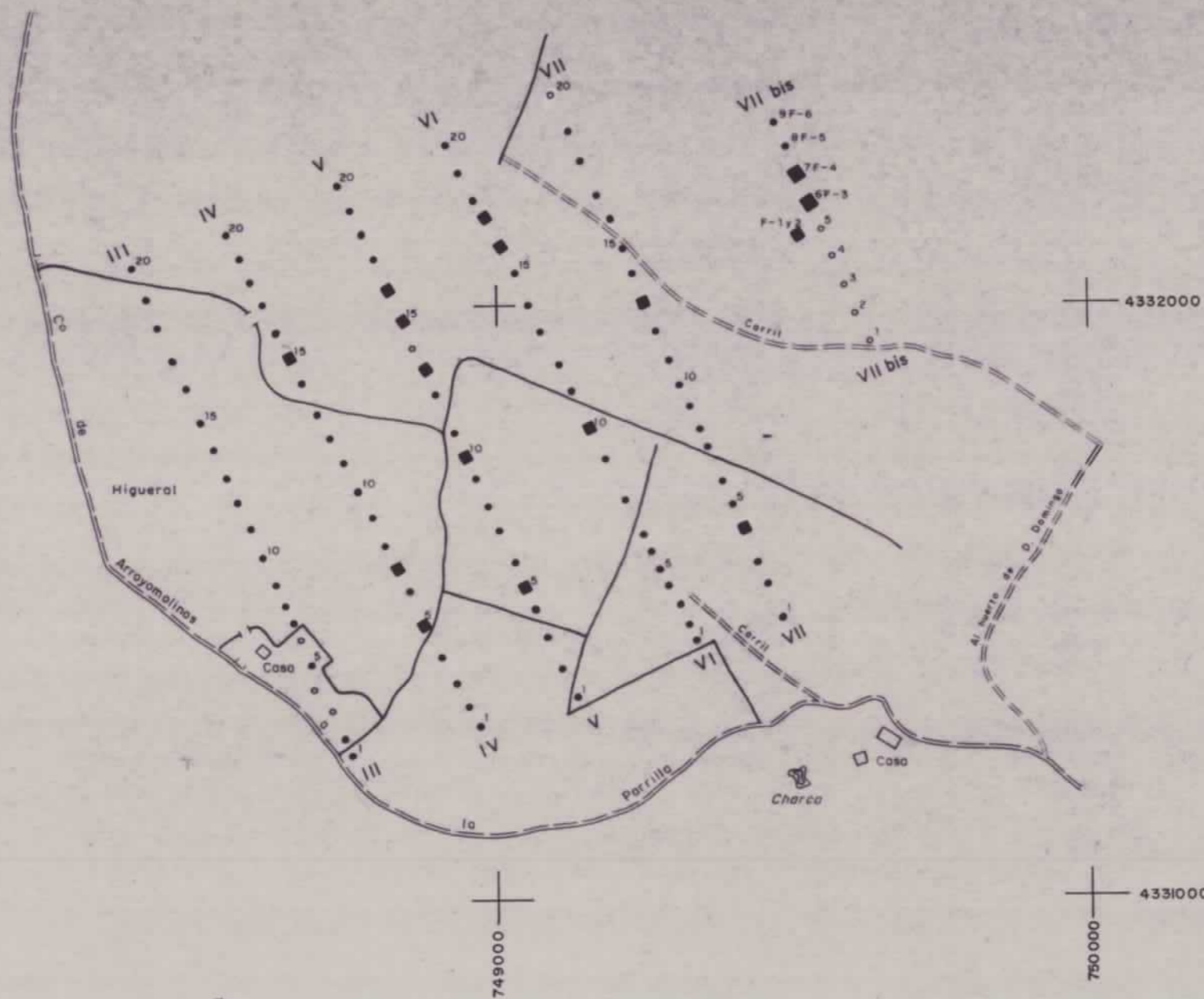
PLANO N° 9



9



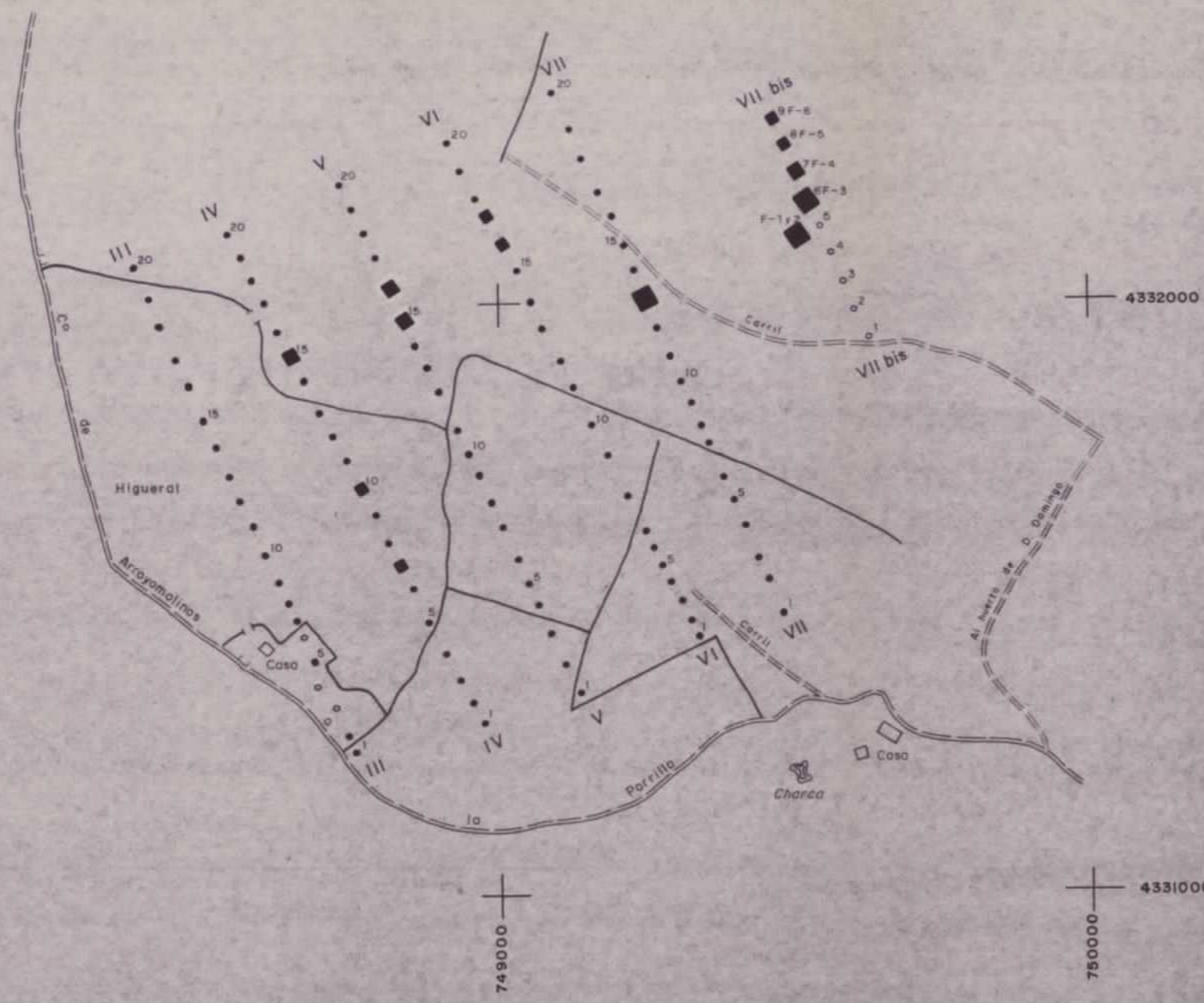
| | | | |
|------------|-----------------|---|---|
| DIBUJADO | M. N. M. | MINISTERIO DE INDUSTRIA Y ENERGIA INSTITUTO GEOLOGICO Y MINERO DE ESPAÑA |  |
| FECHA | | | |
| COMPROBADO | | | |
| AUTOR | I. R. N. | PROYECTO TRABAJOS DE AMPLIACION DEL PROYECTO INVESTIGACION DE DOS AREAS DE LAS PROVINCIAS DE CACERES Y BADAJOZ (LOS LLANILLOS - CARMONITA) | CLAVE |
| ESCALA | 1:10.000 | | PLANO N° |
| CONSULTOR | I. R. N. s.a.i. | PLANO DE MAGNETOMETRIA | 10 |



Fluor

- > 4073 ppm
- 4073 a 2290 ppm
- 2289 a 1288 ppm
- ≤ 1287 ppm
- Muestra sin analizar

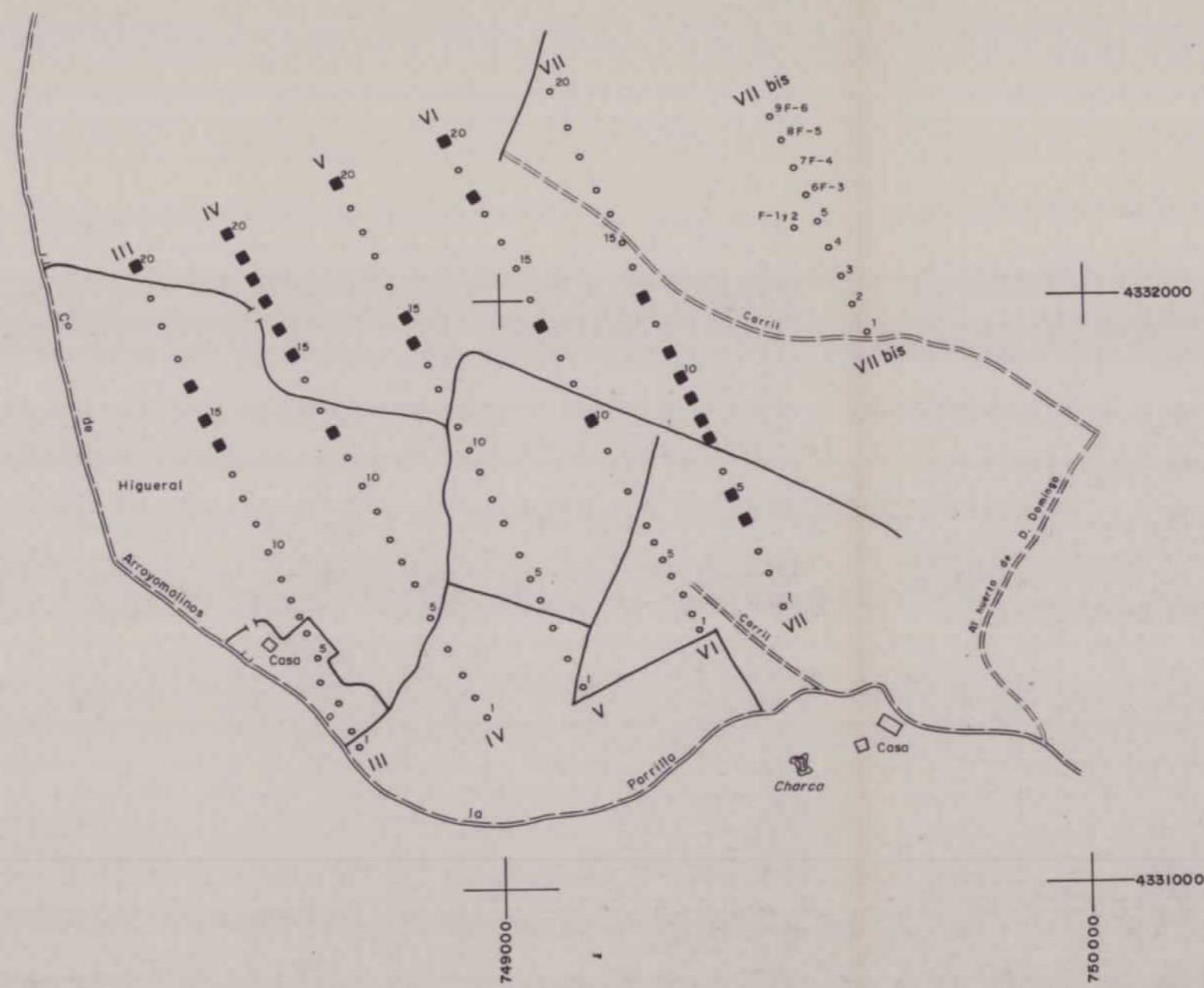
| | | |
|---------------------|---|----------------|
| DIBUJADO IGME | MINISTERIO DE INDUSTRIA Y ENERGIA INSTITUTO GEOLOGICO Y MINERO DE ESPAÑA  | |
| FECHA Marzo 1987 | | |
| COMPROBADO | | |
| AUTOR J. Liarte | PROYECTO: PREPARACION DE MUESTRAS EN ALDEA-MORET (CACERES) 86/87 E INVESTIGACION EN ZONAS DEL CENTRO-OESTE | CLAVE |
| ESCALA 1:10.000 | | |
| CONSULTOR | CONTENIDOS EN LOS "CUTTINGS" DE WAGON DRILL (Fluor) | PLANO N° 28 |



Boro

- > 512 ppm
- 512 a 190 ppm
- 189 a 70 ppm
- ≤ 69 ppm
- Muestra sin analizar

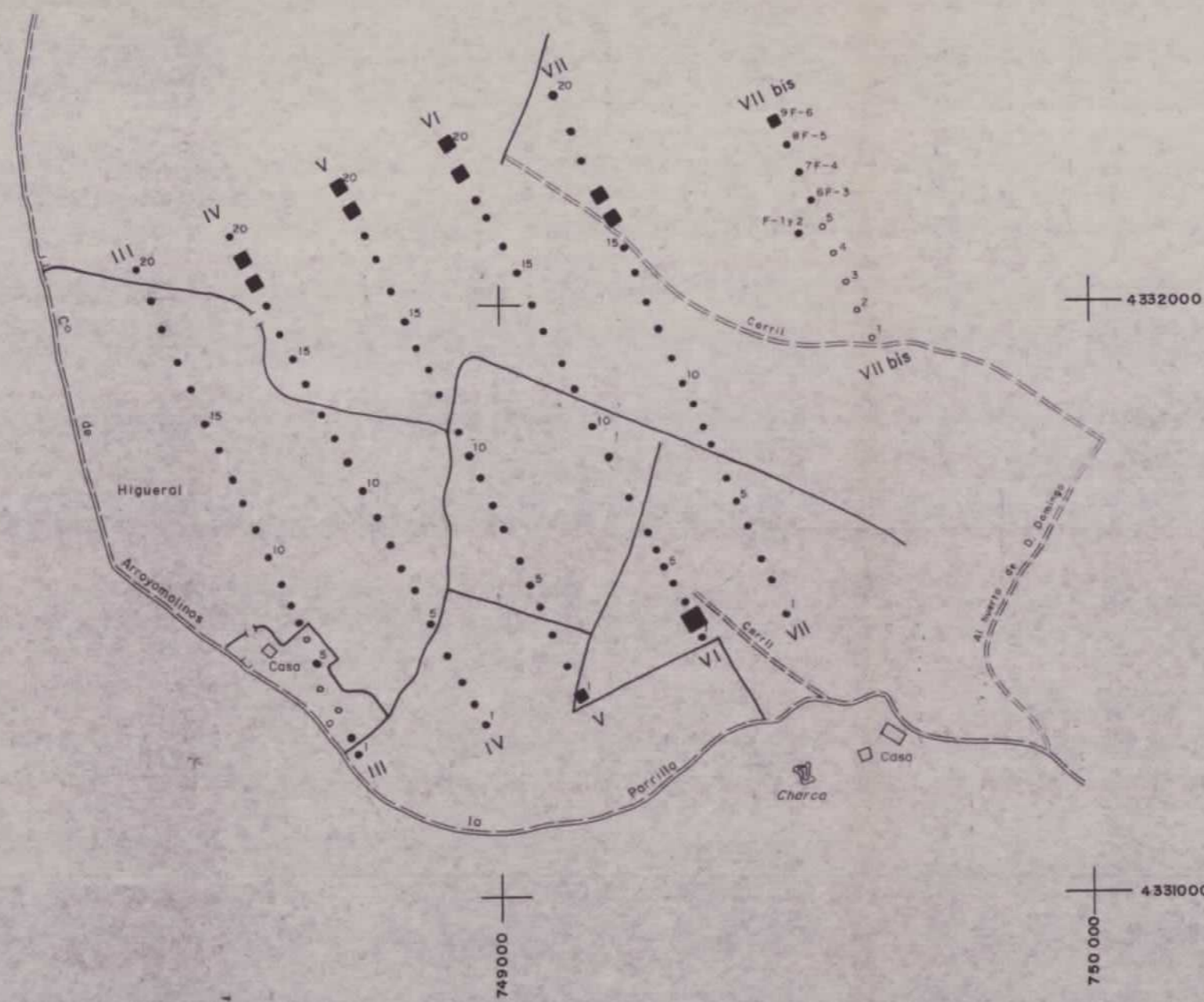
| | | |
|---------------------|--|----------------|
| DIBUJADO IGME | MINISTERIO DE INDUSTRIA Y ENERGIA INSTITUTO GEOLOGICO Y MINERO DE ESPAÑA  | |
| FECHA Marzo 1987 | | |
| COMPROBADO | | |
| AUTOR J. Liarte | PROYECTO: PREPARACION DE MUESTRAS EN ALDEA-MORET (CACERES) 86/87 E INVESTIGACION EN ZONAS DEL CENTRO-OESTE | CLAVE |
| ESCALA 1:10.000 | | |
| CONSULTOR | CONTENIDOS EN LOS "CUTTINGS" DE WAGON DRILL (Boro) | PLANO N° 26 |



Estroncio

- ≥ 1380 ppm
- 525 a 1379 ppm
- 200 a 524 ppm
- < 200 ppm
- Muestra sin analizar

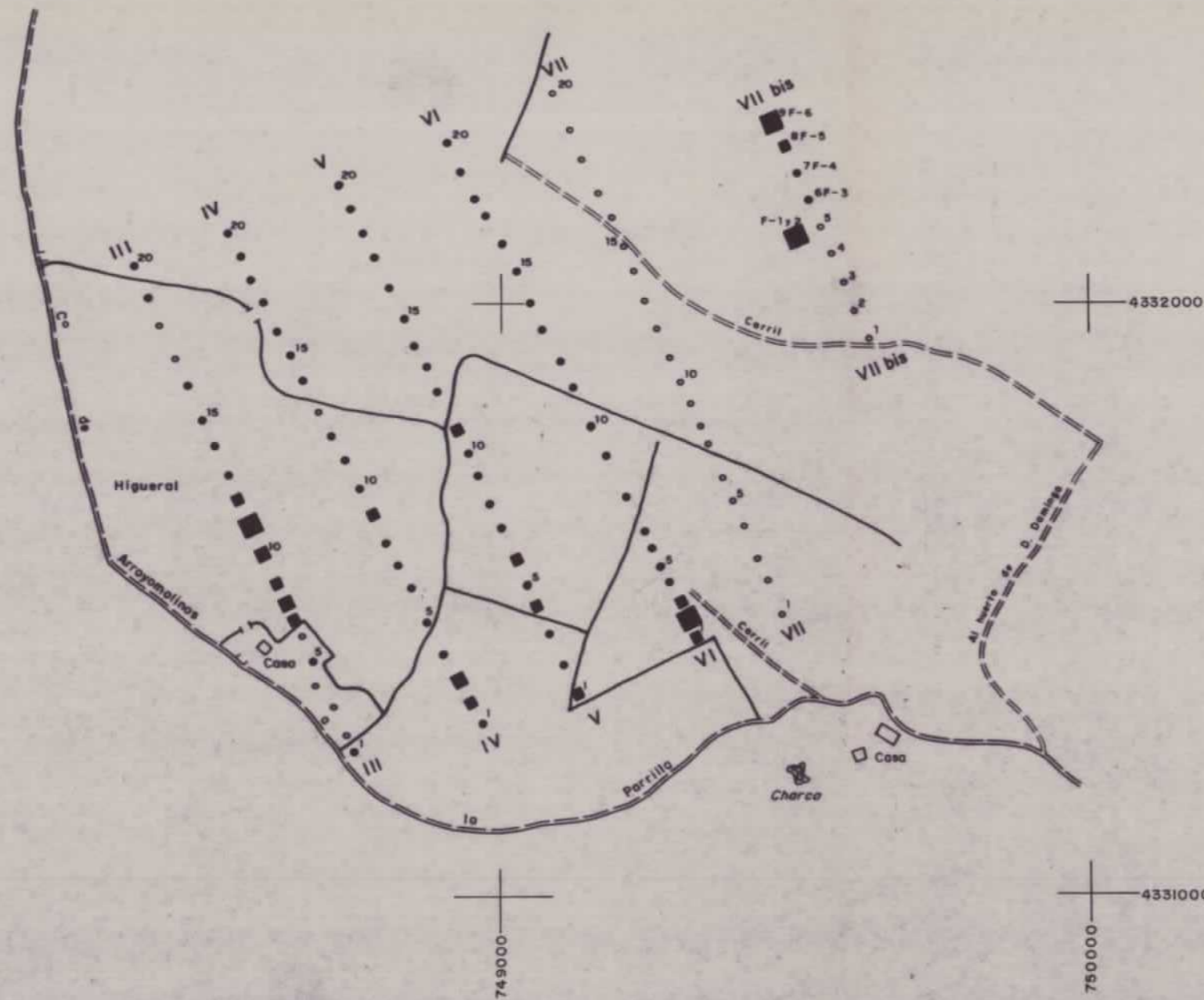
| | | |
|---------------------|---|----------------|
| DIBUJADO IGME | MINISTERIO DE INDUSTRIA Y ENERGIA INSTITUTO GEOLOGICO Y MINERO DE ESPAÑA  | CLAVE |
| FECHA Marzo 1987 | | |
| COMPROBADO | | |
| AUTOR J. Liarte | PROYECTO: PREPARACION DE MUESTRAS EN ALDEA-MORET (CACERES) 86/87 E INVESTIGACION EN ZONAS DEL CENTRO-OESTE | PLANO N° 29 |
| ESCALA 1:10.000 | CONTENIDOS EN LOS "CUTTINGS" DE WAGON DRILL (Estroncio) | |
| CONSULTOR | | |



Magnesio (MgO)

- ≤ 0,050 %
- 0,110 a 0,051 %
- 0,210 a 0,111 %
- > 0,210 %
- Muestra sin analizar

| | | |
|---------------------|--|----------------|
| DIBUJADO IGME | MINISTERIO DE INDUSTRIA Y ENERGIA INSTITUTO GEOLOGICO Y MINERO DE ESPAÑA | |
| FECHA Marzo 1987 | | |
| COMPROBADO | | |
| AUTOR J. Liarte | PROYECTO: PREPARACION DE MUESTRAS EN ALDEA-MORET (CACERES) 86/87 E INVESTIGACION EN ZONAS DEL CENTRO-OESTE | CLAVE |
| ESCALA 1:10.000 | | |
| CONSULTOR | CONTENIDOS EN LOS "CUTTINGS" DE WAGON DRILL (Magnesio) | PLANO N° 33 |



Sodio (Na₂O)

- ≤ 0,040 %
- 0,090 a 0,039 %
- 0,180 a 0,089 %
- > 0,180 %
- Muestra sin analizar

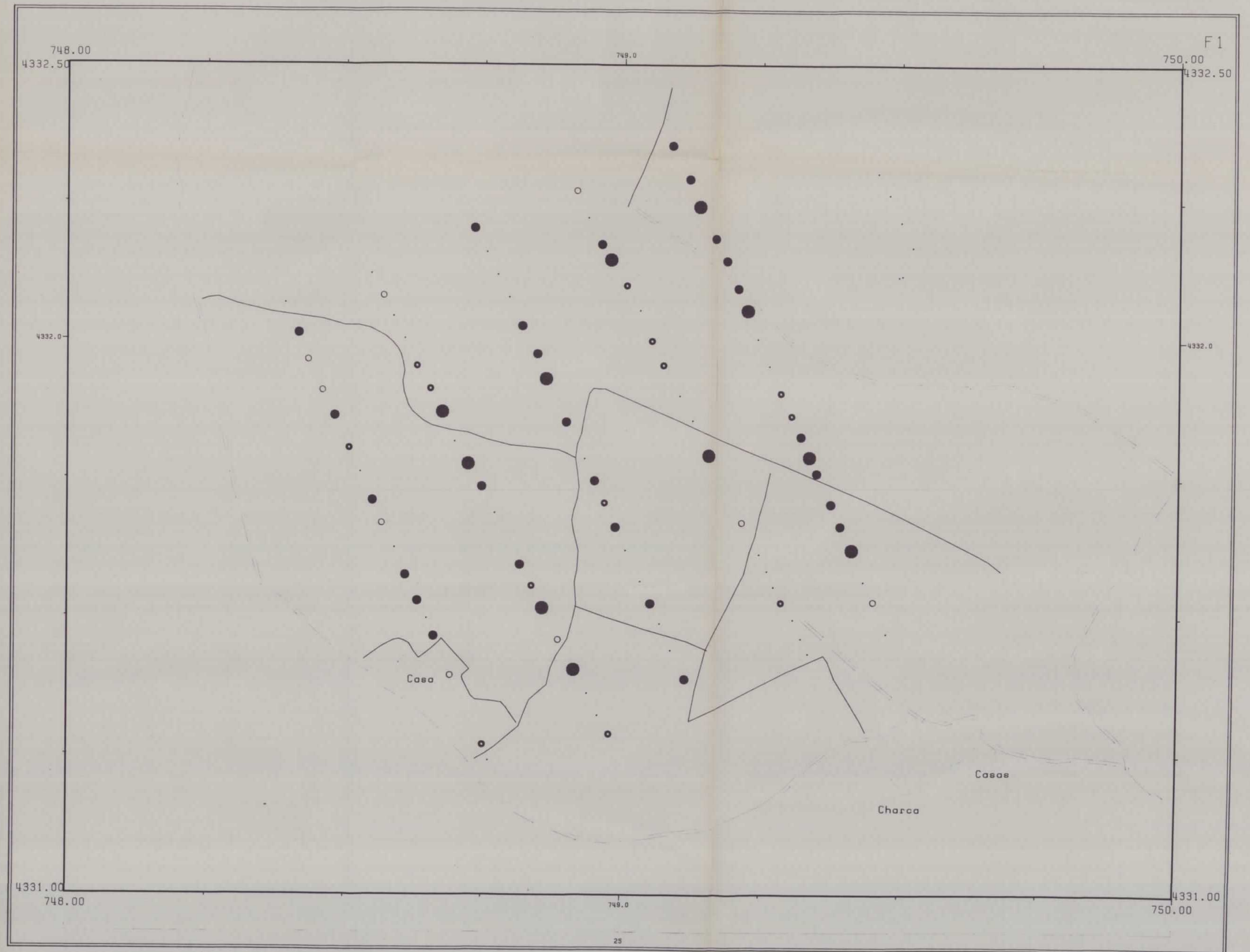
| | | |
|---------------------|---|----------------|
| DIBUJADO IGME | MINISTERIO DE INDUSTRIA Y ENERGIA INSTITUTO GEOLOGICO Y MINERO DE ESPAÑA  | |
| FECHA Marzo 1987 | | |
| COMPROBADO | | |
| AUTOR J. Liarte | PROYECTO: PREPARACION DE MUESTRAS EN ALDEA-MORET (CACERES) 86/87 E INVESTIGACION EN ZONAS DEL CENTRO-OESTE | CLAVE |
| ESCALA 1:10.000 | | |
| CONSULTOR | CONTENIDOS EN LOS "CUTTINGS" DE WAGON DRILL (Sodio) | PLANO N° 30 |


PREPARACION MUESTRAS EN ALDEA-MORET (CACERES)

AREA DE LOS LLANILLOS

F1 0

- > 1.000
- 0.500 1.000
- 0.250 0.500
- 0.000 0.250
- < 0.000



 Instituto Tecnológico
GeoMinero de España

| | | | | | |
|---|---------------------|--|--------------------|-------------------|-----------|
| PROYECTO | | EXPLORACION MINERA Y APOYO INFRAESTRUCTURAL EN VARIAS RESERVAS DEL ESTADO | | CLAVE | |
| CONTENIDOS EN LOS "CUTTINGS" DE WAGON-DRILL (FACTOR F-1) | | PLANO N.º | | 35 | |
| DIBUJADO ITGE | FECHA Enero 1989 | COMPROBADO | AUTOR J. Liarte | ESCALA 1:5.000 | CONSULTOR |


IGME

PREPARACION MUESTRAS EN ALDEA-MORET (CACERES)

AREA DE LOS LLANILLOS

F2 0

- > 1.500
- 1.000 1.500
- 0.500 1.000
- 0.000 0.500
- < 0.000

 Instituto Tecnológico
GeoMinero de España

| | | | | | |
|-----------|--|--|--|-----------|--|
| PROYECTO | | EXPLORACION MINERA Y APOYO INFRAESTRUCTURAL EN VARIAS RESERVAS DEL ESTADO | | CLAVE | |
| DIBUJADO | | FECHA | | CONSULTOR | |
| ITGE | | Enero 1989 | | | |
| AUTOR | | ESCALA | | PLANO N.º | |
| J. Liarte | | 1:5.000 | | 36 | |



IGME

PREPARACION MUESTRAS EN ALDEA-MORET (CACERES)

AREA DE LOS LLANILLOS

F3 0

- > 2.000
- 1.500 2.000
- 1.000 1.500
- 0.500 1.000
- < 0.500

 Instituto Tecnológico
GeoMinero de España

| | | | | | |
|---|--|------------|--------------------|-------------------|-----------|
| PROYECTO | EXPLORACION MINERA Y APOYO INFRAESTRUCTURAL EN VARIAS RESERVAS DEL ESTADO | | | CLAVE | |
| CONTENIDOS EN LOS "CUTTINGS" DE WAGON-DRILL (FACTOR F-3) | | | | PLANO N.º 37 | |
| DIBUJADO ITGE | FECHA Enero 1989 | COMPROBADO | AUTOR J. Liarte | ESCALA 1:5.000 | CONSULTOR |



ITGME

PREPARACION MUESTRAS EN ALDEA-MORET (CACERES)

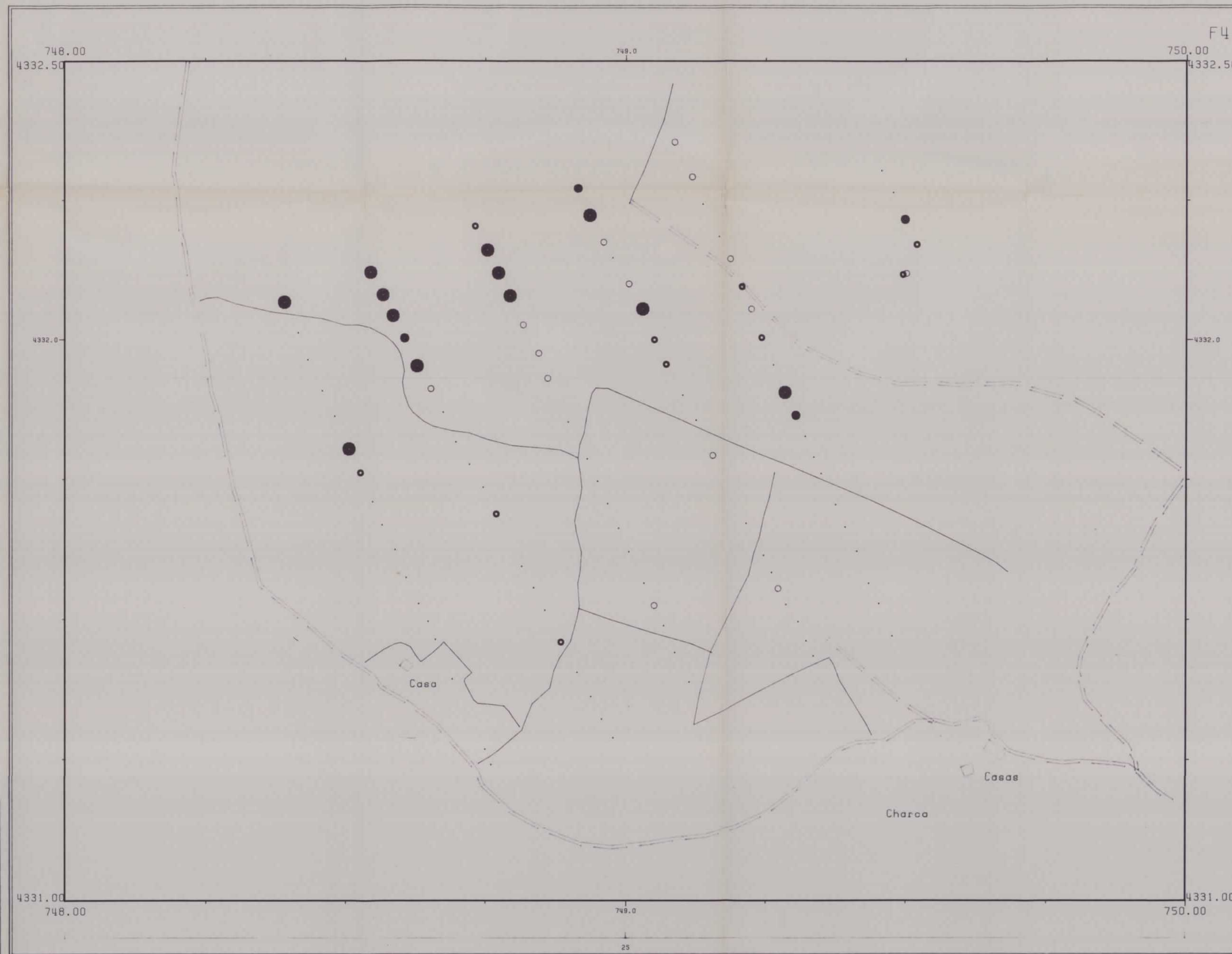
AREA DE LOS LLANILLOS

F4 0

- > 1.500
- 1.000 1.500
- 0.500 1.000
- 0.000 0.500
- < 0.000



| | | | | | |
|---|------------|--|----------|----------|-----------|
| PROYECTO | | EXPLORACION MINERA Y APOYO INFRAESTRUCTURAL EN VARIAS RESERVAS DEL ESTADO | | | CLAVE |
| CONTENIDOS EN LOS "CUTTINGS" DE WAGON-DRILL (FACTOR F-4) | | PLANO N° | | | 38 |
| DIBUJADO | FECHA | COMPROBADO | AUTOR | ESCALA | CONSULTOR |
| ITGME | Enero 1989 | | J. Larte | 1: 5.000 | |



F4

750.00

4332.50

748.00

4332.50

748.0

4332.0

4332.0

4331.00

748.00

749.0

4331.00

750.00

25

IGME

PREPARACION MUESTRAS EN ALDEA-MORET (CACERES)

AREA DE LOS LLANILLOS

F5 0

- > 1.100
- 0.900 1.100
- 0.700 0.900
- 0.500 0.700
- < 0.500

 Instituto Tecnológico
GeoMinero de España

| | | | | | |
|--|---------------------|------------|--------------------|-------------------|------------------------|
| PROYECTO | | | | | CLAVE |
| EXPLORACION MINERA Y APOYO INFRAESTRUCTURAL EN VARIAS RESERVAS DEL ESTADO | | | | | |
| CONTENIDOS EN LOS "CUTTINGS" DE WAGON-DRILL (FACTOR F-5) | | | | | PLANO N.º 39 |
| DIBUJADO ITGE | FECHA Enero 1989 | COMPROBADO | AUTOR J. Liarde | ESCALA 1:5.000 | CONSULTOR |

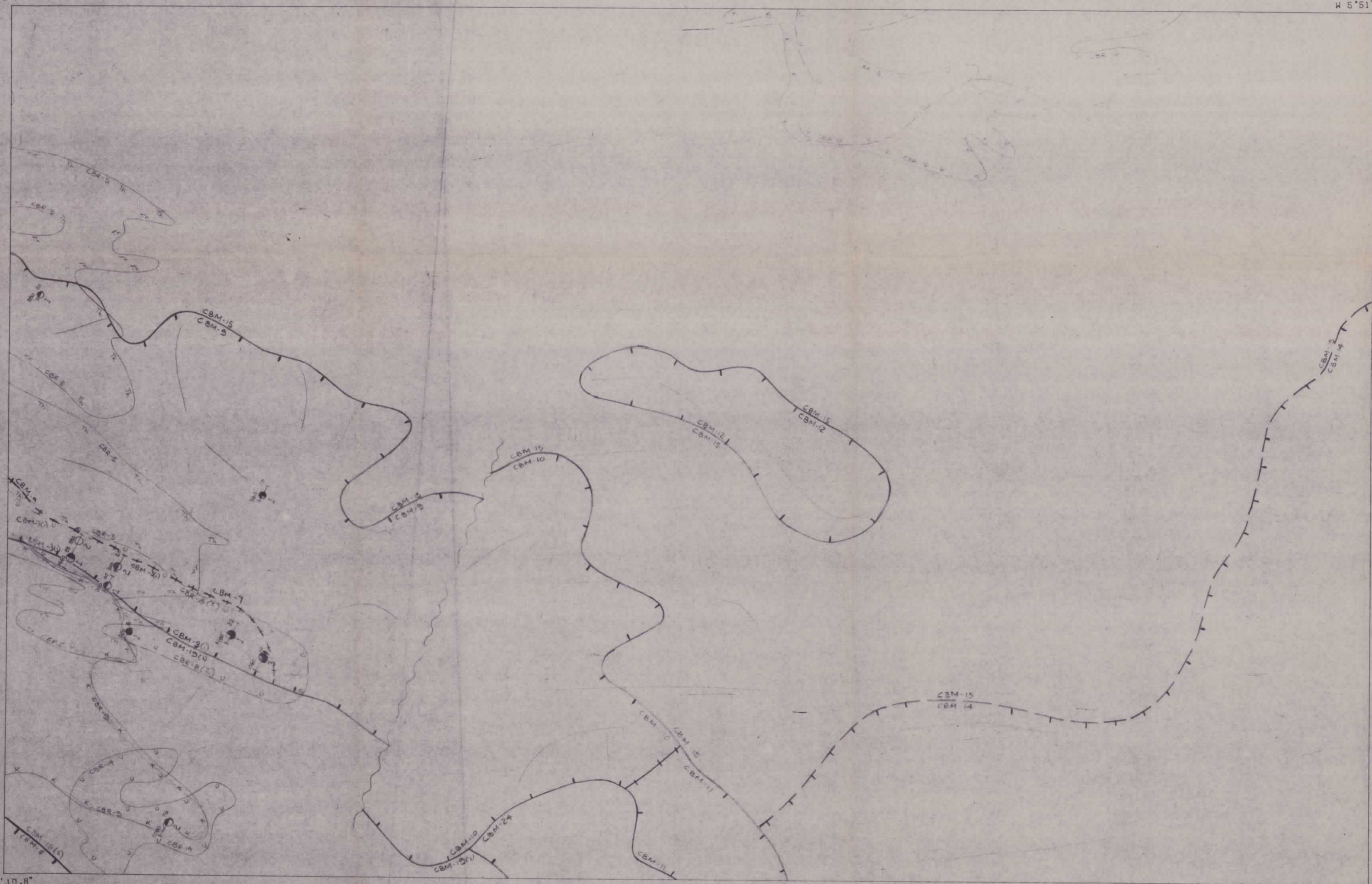


CUENCA DE DON BENITO

753 MIAJADAS

N 39°10'4.7" W 6°11'10.9"

N 39°10'4.8" W 5°51'10.8"



N 39°0'4.8" W 6°11'10.8"

N 39°0'4.8" W 5°51'10.8"

NAVEGACION

| | |
|--|-------|
| Dirección de las líneas de vuelo | N30°E |
| Dirección de las líneas de control | N60°W |
| Altura de vuelo patrón | 120m |
| Separación media entre líneas de vuelo | 1km |
| Separación media entre líneas de control | 7km |

Nota

Vuelos realizados en Agosto - Noviembre de 1978

TOPOGRAFIA: Hojas del mapa 1:50 000 del Instituto Geográfico y Catastral.

Sistema Geodésico: Red Europa 1950 (RE 50)

Proyección UTM, zonas 29, 30 (Cambio de zona 0°08'49.5" Este Meridiano de Greenwich)

Elipsoide Internacional (Hayford 1909)

a = 6 378 388.00m

α = 1/297.00

Datum: POTSDAM

Longitudes referidas al Meridiano de Greenwich

ESPECTROMETRICA

| | | | |
|-------------------------------|-----------------|----|----|
| Zonas de interés radiométrico | Uranio | U | U |
| | Torio | Th | Th |
| | Potasio | K | K |
| | Cuentas Totales | TC | TC |

Anomalías uraníferas seleccionadas

| | | | |
|---|------|---------|---------|
| Relación U-Th | >3.0 | 2.0-3.0 | 1.0-2.0 |
| Relación U-K | ● | ○ | ○ |
| Cuentas Totales | 1500 | 400 | |
| Número de anomalía | 5 | | |
| Dimensión de la anomalía (amplitud media) | | | |

Zona de interés radiométrico referencia y prioridad (Ver informe) CBR-1 (1)

MAGNETICA

Alineación magnética (positiva solamente)

| | | |
|-------|----------|---|
| Falta | Probable | ~ |
| | Posible | ~ |

Ejes de pliegues

| | | |
|--|------------|---|
| | Anticlinal | ∧ |
| | Sinclinal | ∨ |

Zonas de interés magnético

| | | |
|--|----------|---|
| | Probable | — |
| | Posible | — |

Zona de interés magnético referencia y prioridad (Ver informe) CBM1 (1)

Ejes de basamento magnético

| | | |
|--|------|---|
| | Alto | ∧ |
| | Bajo | ∨ |

SITUACION

CUENCA DE DON BENITO

| | | | |
|-----|-----|-----|-----|
| | 828 | 879 | |
| | 764 | 765 | |
| | 728 | 730 | 731 |
| 751 | 752 | 753 | 754 |
| 776 | 777 | 778 | 779 |
| 853 | 854 | 855 | 856 |
| 828 | 830 | 831 | |

ESPAÑA

MINISTERIO DE INDUSTRIA

JUNTA DE ENERGIA NUCLEAR

INVESTIGACION

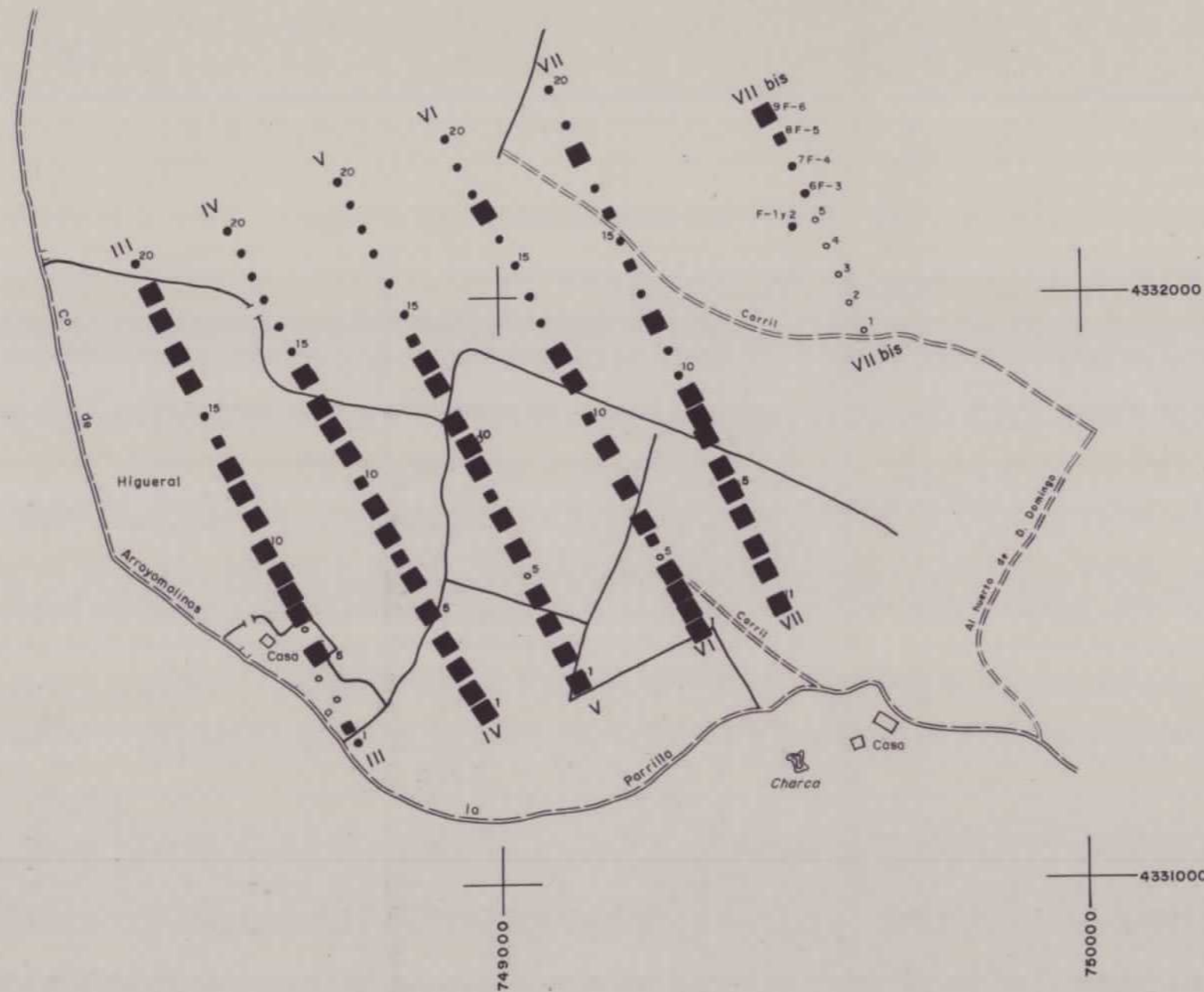
AERORADIOMETRICA Y AEROMAGNETICA

INTERPRETACION

ESCALA 1:50 000


Volado por: Compañía Española de Trabajos Fotogramétricos Aéreos S.A. C.E.T.F.A., Serrano 211, Madrid, España

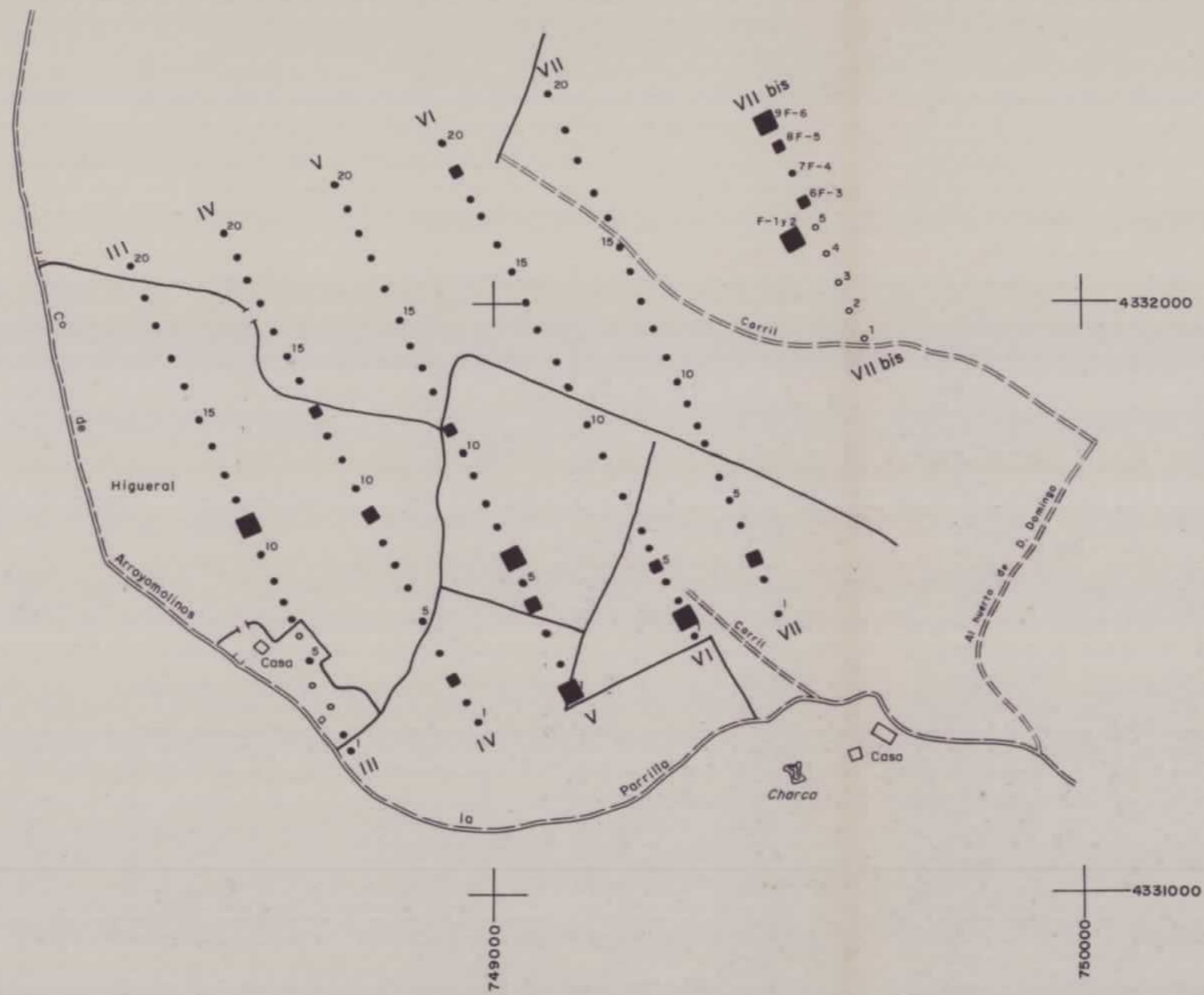
Compilado por: Hunting Geology and Geophysics Ltd., Elstree Way, Boreham Wood, Herts., WD6 1SB, England.



Calcio


- $\leq 0,015$ ppm
- 0,035 a 0,014 ppm
- 0,085 a 0,034 ppm
- $> 0,085$ ppm
- Muestra sin analizar

| | | |
|---------------------|---|----------------|
| DIBUJADO IGME | MINISTERIO DE INDUSTRIA Y ENERGIA INSTITUTO GEOLOGICO Y MINERO DE ESPAÑA  | CLAVE |
| FECHA Marzo 1987 | | |
| COMPROBADO | | |
| AUTOR J. Liarte | PROYECTO: PREPARACION DE MUESTRAS EN ALDEA-MORET (CACERES) 86/87 E INVESTIGACION EN ZONAS DEL CENTRO - OESTE | PLANO N° 32 |
| ESCALA 1:10.000 | CONTENIDOS EN LOS "CUTTINGS" DE WAGON DRILL (Calcio) | |
| CONSULTOR | | |



Potasio (K₂O)

- ≤ 1,070 %
- 1,600 a 1,071 %
- 2,340 a 1,601 %
- > 2,340 %
- Muestra sin analizar

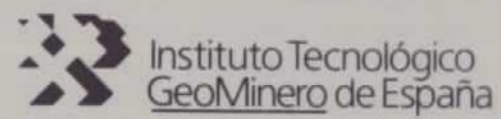
| | | |
|---------------------|---|-----------------------|
| DIBUJADO IGME | MINISTERIO DE INDUSTRIA Y ENERGIA INSTITUTO GEOLOGICO Y MINERO DE ESPAÑA  | |
| FECHA Marzo 1987 | | |
| COMPROBADO | | |
| AUTOR J. Liarte | PROYECTO: PREPARACION DE MUESTRAS EN ALDEA-MORET (CACERES) 86/87 E INVESTIGACION EN ZONAS DEL CENTRO-OESTE | CLAVE |
| ESCALA 1:10.000 | | |
| CONSULTOR | CONTENIDOS EN LOS "CUTTINGS" DE WAGON DRILL (Potasio) | PLANO N° 31 |

ITGE

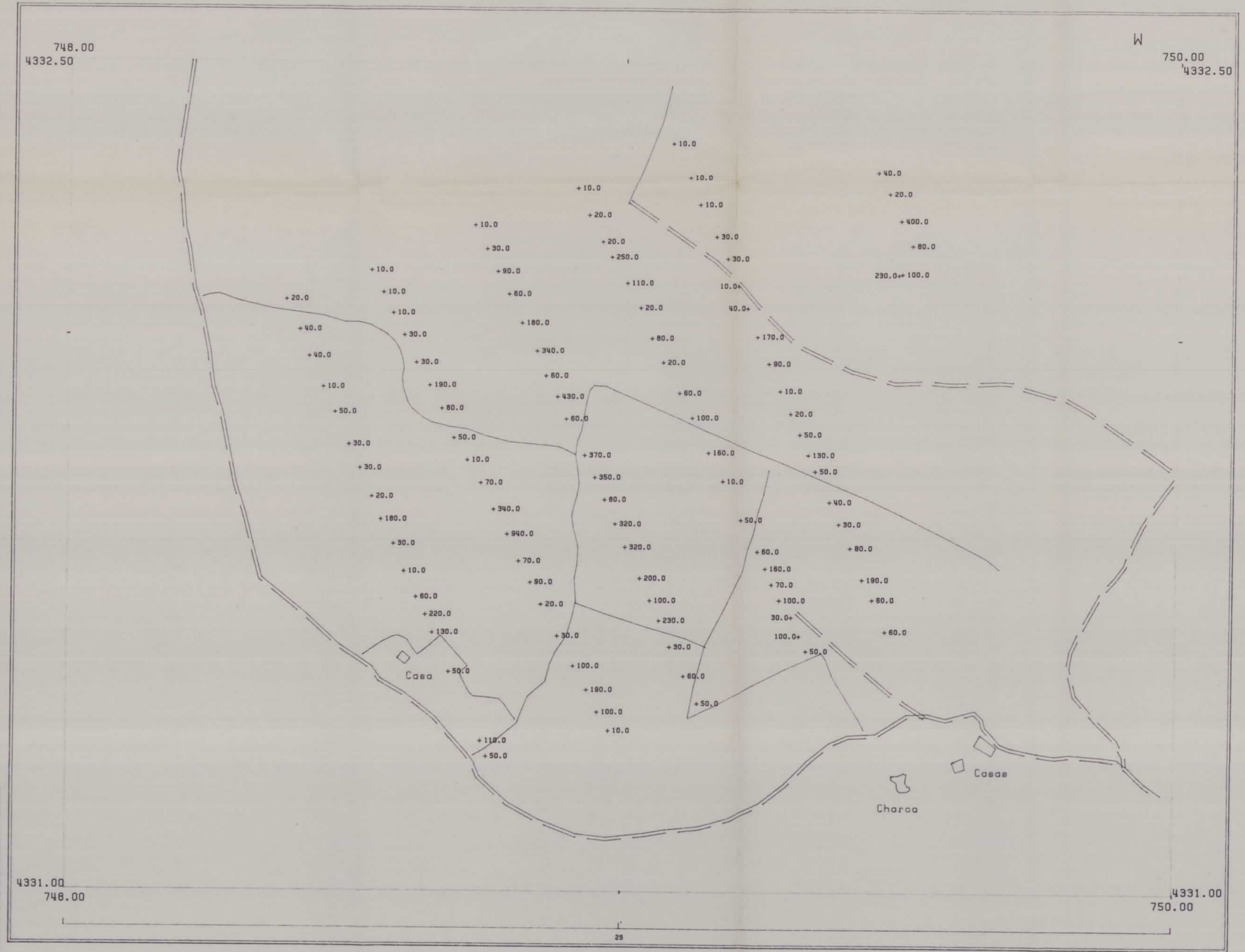
PREPARACION MUESTRAS EN ALDEA-MORET (CACERES)

AREA DE LOS LLANILLOS

Report des
valeurs en : W



| | | | | |
|-----------|------------|--|-----------|----------------|
| PROYECTO | | EXPLORACION MINERA Y APOYO INFRAESTRUCTURAL EN VARIAS RESERVAS DEL ESTADO | | CLAVE |
| DIBUJADO | | LEYES DE W EN LOS "CUTTINGS" DE WAGON-DRILL | | PLANO N° 18 |
| ITGE | FECHA | COMPROBADO | AUTOR | ESCALA |
| | Enero 1989 | J. Liarte | J. Liarte | 1: 5.000 |
| CONSULTOR | | | | |




ITGE

PREPARACION MUESTRAS EN ALDEA-MORET (CACERES)

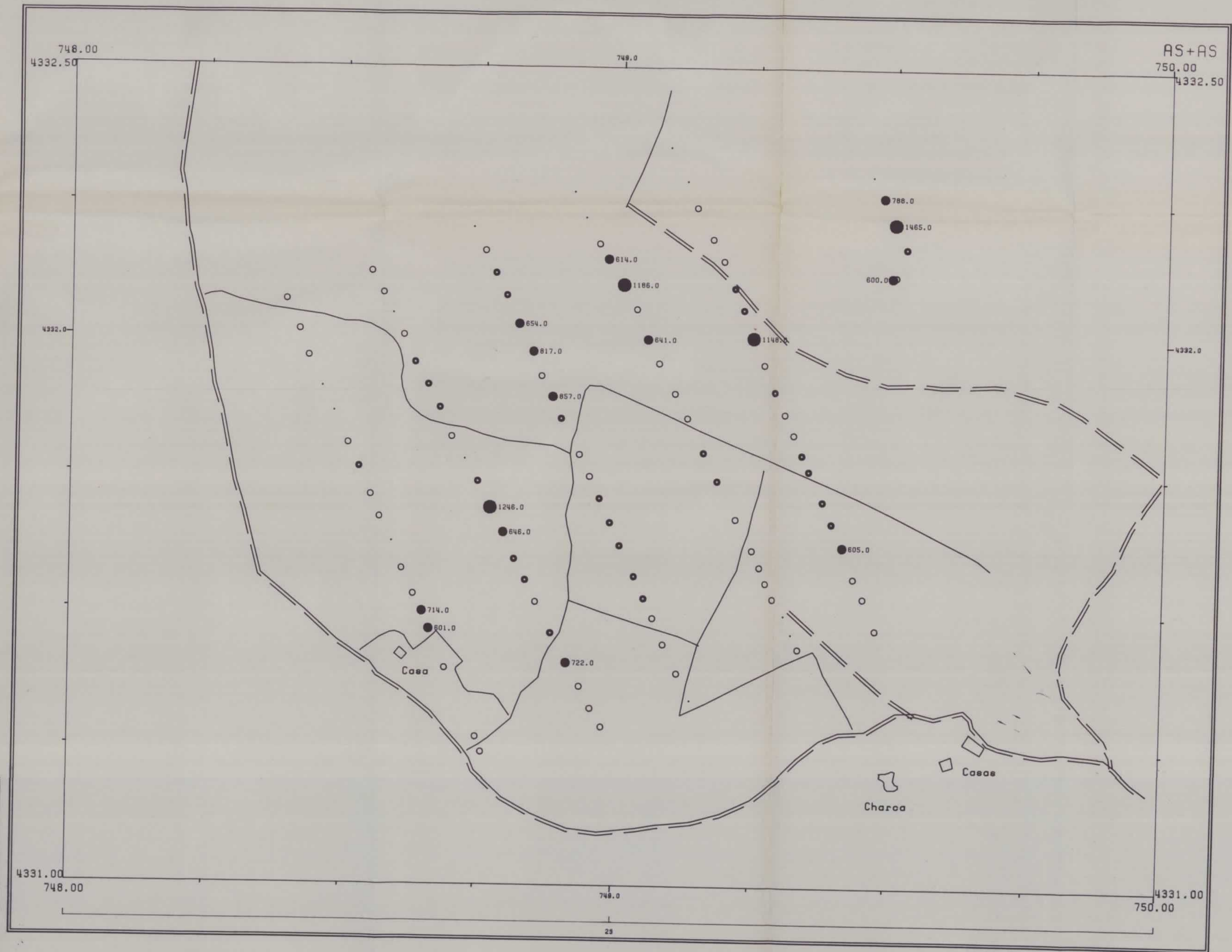
AREA DE LOS LLANILLOS

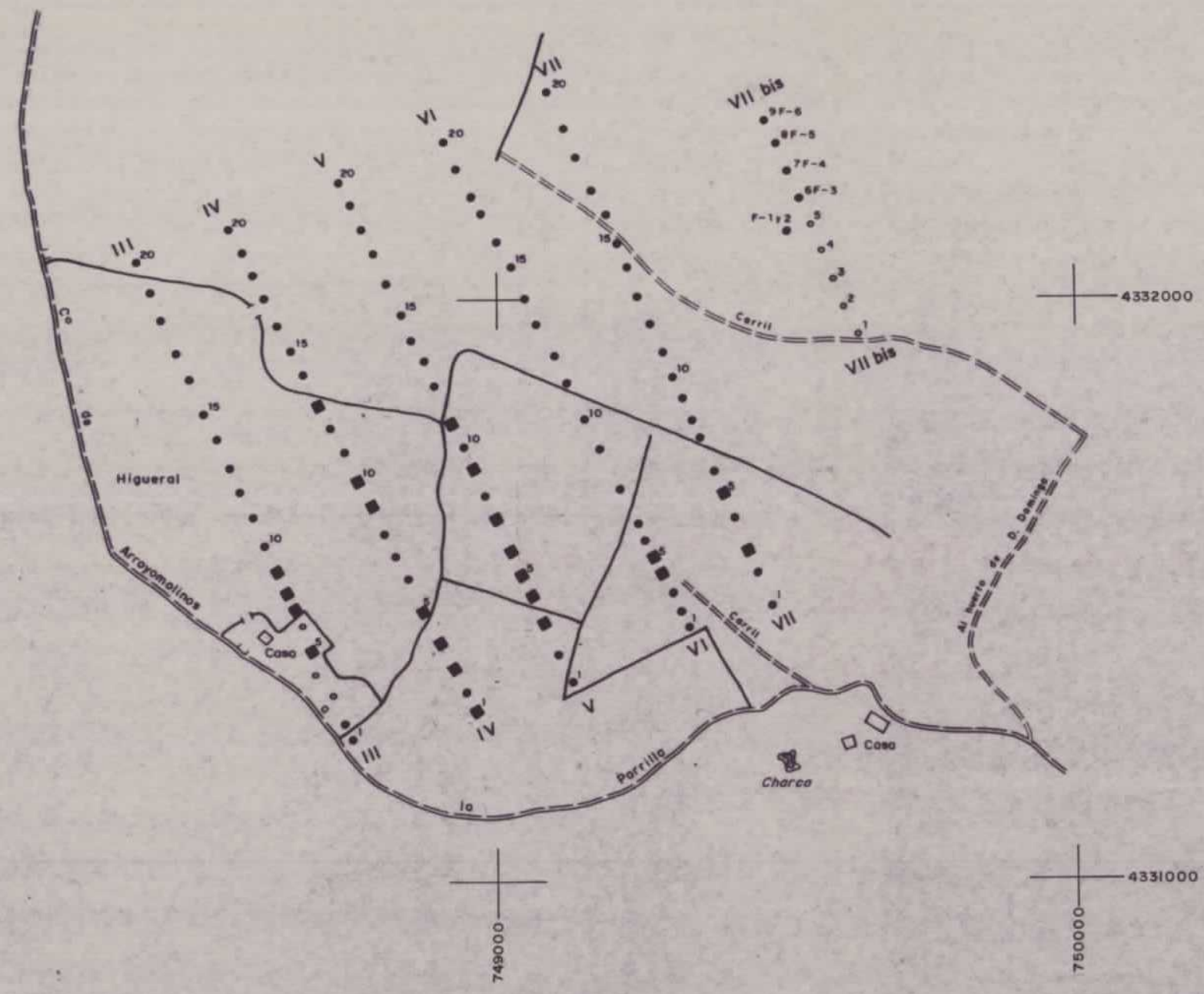
AS 0

- > 900.0
- 600.0 900.0
- 300.0 600.0
- 100.0 300.0
- < 100.0

 Instituto Tecnológico
GeoMinero de España

| | | | | | | |
|---|------------|------------|-----------|--|-----------|-------|
| PROYECTO | | | | EXPLORACION MINERA Y APOYO INFRAESTRUCTURAL EN VARIAS RESERVAS DEL ESTADO | | CLAVE |
| CONTENIDOS EN LOS "CUTTINGS" DE WAGON-DRILL (ARSENICO) | | | | PLANO N.º | | 21 |
| DIBUJADO | FECHA | COMPROBADO | AUTOR | ESCALA | CONSULTOR | |
| ITGE | Enero 1989 | | J. Liarte | 1:5.000 | | |

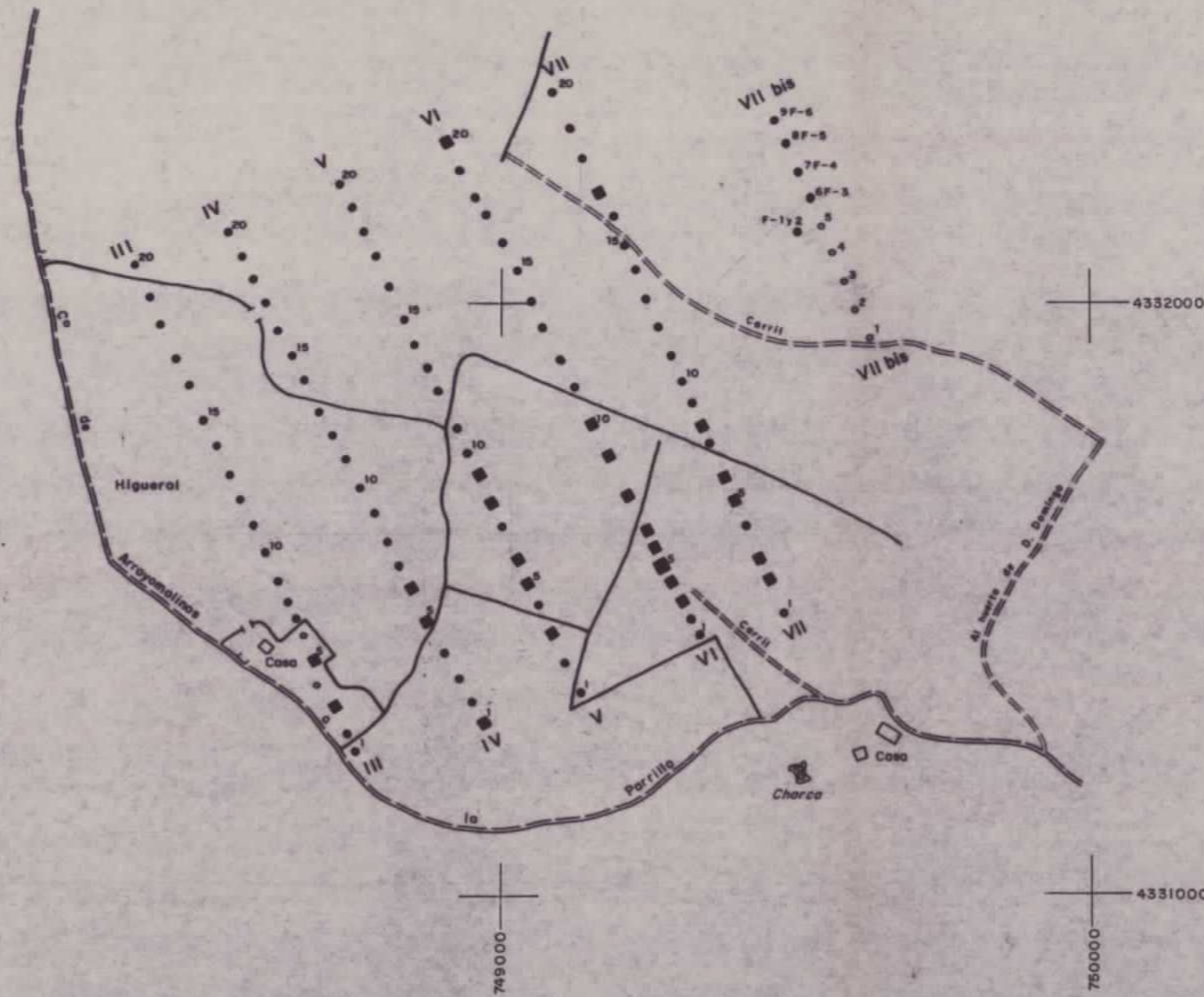




Zinc

- ≥ 740 ppm
- 320 a 739 ppm
- 140 a 319 ppm
- < 140 ppm
- Muestra sin analizar

| | | |
|---------------------|---|----------------|
| DIBUJADO IGME | MINISTERIO DE INDUSTRIA Y ENERGIA INSTITUTO GEOLOGICO Y MINERO DE ESPAÑA  | |
| FECHA Marzo 1987 | | |
| COMPROBADO | | |
| AUTOR J. Liarte | PROYECTO: PREPARACION DE MUESTRAS EN ALDEA-MORET (CACERES) 86/87 E INVESTIGACION EN ZONAS DEL CENTRO-OESTE | CLAVE |
| ESCALA 1:10.000 | | |
| CONSULTOR | CONTENIDOS EN LOS "CUTTINGS" DE WAGON DRILL (Zinc) | PLANO N° 25 |



Molibdeno

- ≥ 51 ppm
- 19 a 50 ppm
- 7 a 18 ppm
- < 7 ppm
- Muestra sin analizar

| | | |
|---------------------|---|----------------|
| DIBUJADO IGME | MINISTERIO DE INDUSTRIA Y ENERGIA INSTITUTO GEOLOGICO Y MINERO DE ESPAÑA  | |
| FECHA Marzo 1987 | | |
| COMPROBADO | | |
| AUTOR J. Liarte | PROYECTO: PREPARACION DE MUESTRAS EN ALDEA-MORET (CACERES) 86/87 E INVESTIGACION EN ZONAS DEL CENTRO-OESTE | CLAVE |
| ESCALA 1:10.000 | | |
| CONSULTOR | CONTENIDOS EN LOS "CUTTINGS" DE WAGON DRILL (Molibdeno) | PLANO N° 24 |

IGME

PREPARACION MUESTRAS EN ALDEA-MORET (CACERES)

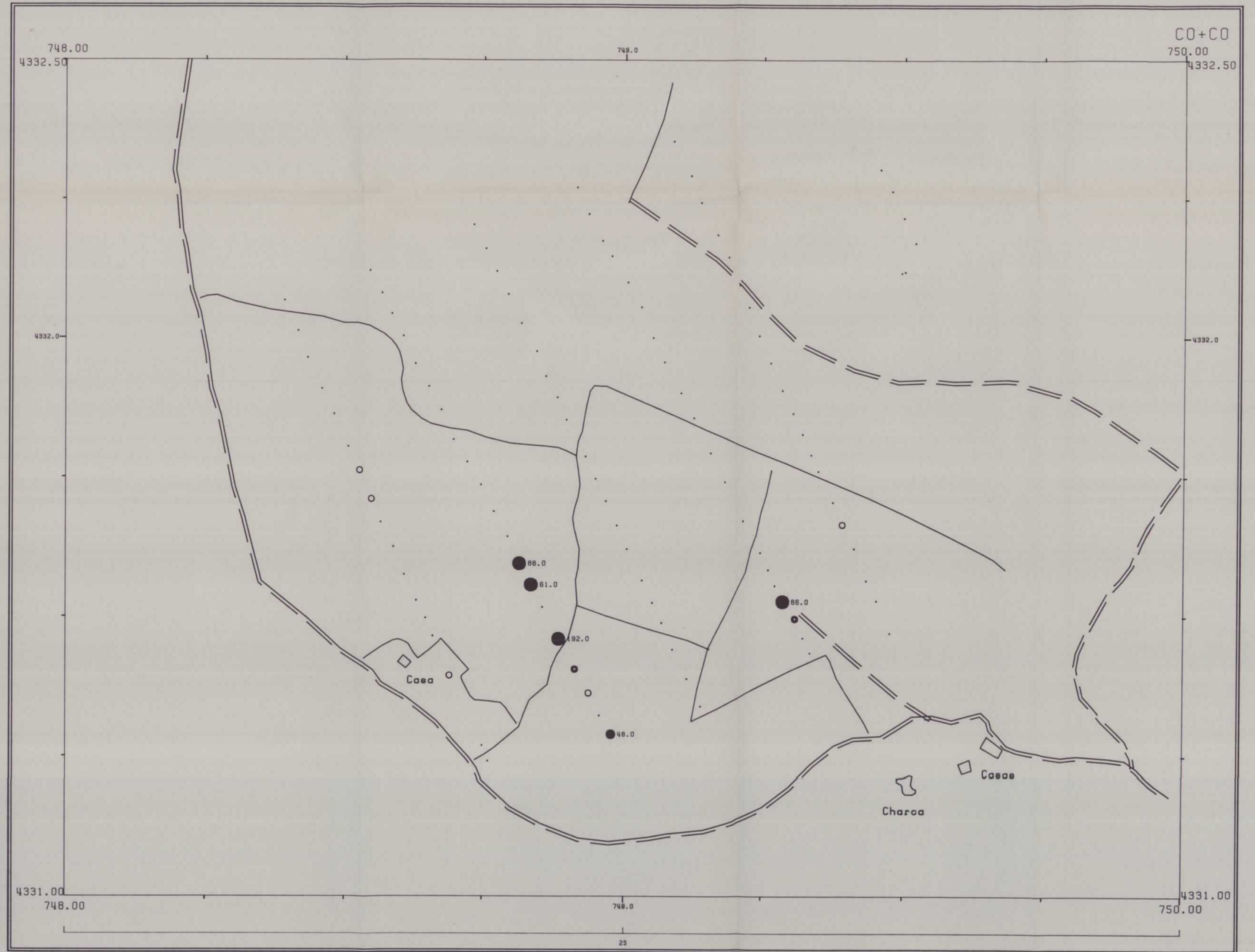
AREA DE LOS LLANILLOS

CO 0

- > 60.0
- 45.0 60.0
- 30.0 45.0
- 15.0 30.0
- < 15.0



| | | | | | |
|--|------------|------------|-----------|----------|-----------------|
| PROYECTO | | | | | CLAVE |
| EXPLORACION MINERA Y APOYO INFRAESTRUCTURAL EN VARIAS RESERVAS DEL ESTADO | | | | | |
| CONTENIDOS EN LOS "CUTTINGS" DE WAGON-DRILL (COBALTO) | | | | | PLANO N.º 23 |
| DIBUJADO | FECHA | COMPROBADO | AUTOR | ESCALA | CONSULTOR |
| ITGE | Enero 1989 | | J. Liarte | 1: 5.000 | |



IGME

PREPARACION MUESTRAS EN ALDEA-MORET (CACERES)

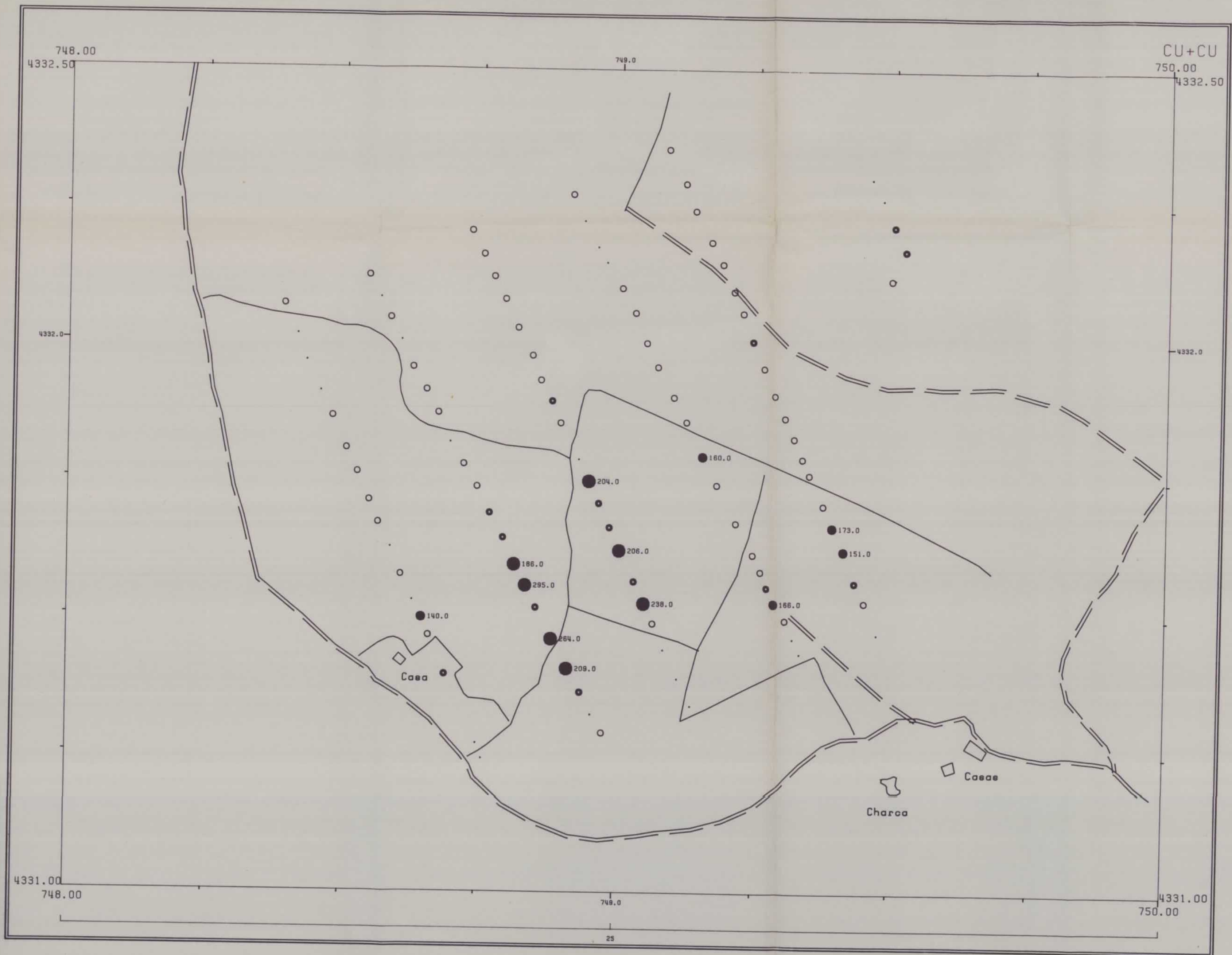
AREA DE LOS LLANILLOS

CU 0

- > 180.0
- 130.0 180.0
- 80.0 130.0
- 30.0 80.0
- < 30.0



| | | | | | |
|--|------------|------------|-----------|-----------------|-----------|
| PROYECTO | | | | CLAVE | |
| EXPLORACION MINERA Y APOYO INFRAESTRUCTURAL EN VARIAS RESERVAS DEL ESTADO | | | | | |
| CONTENIDOS EN LOS "CUTTINGS" DE WAGON-DRILL (COBRE) | | | | PLANO N.º 22 | |
| DIBUJADO | FECHA | COMPROBADO | AUTOR | ESCALA | CONSULTOR |
| ITGE | Enero 1989 | | J. Liarte | 1: 5.000 | |



IGME

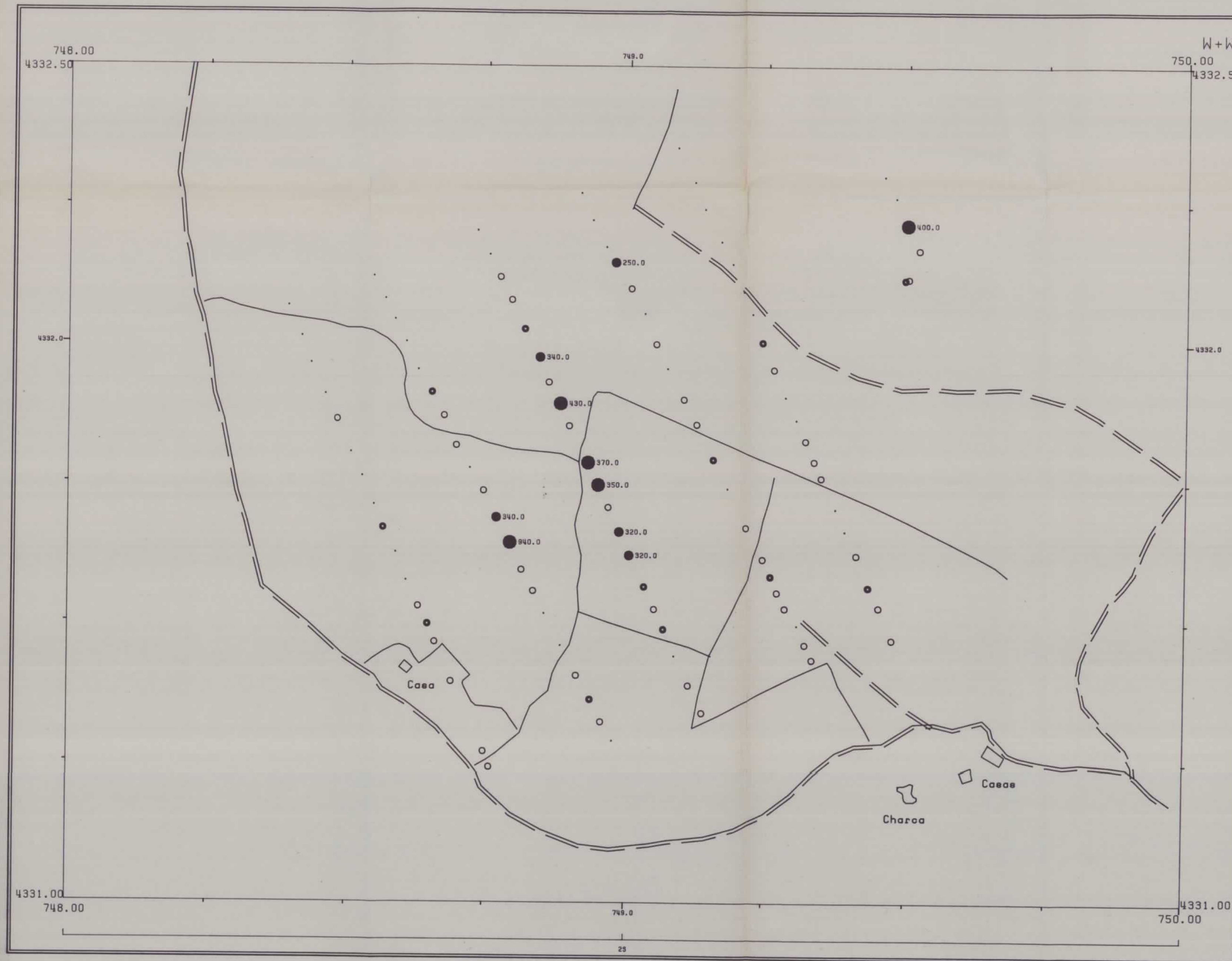
PREPARACION MUESTRAS EN ALDEA-MORET (CACERES)

AREA DE LOS LLANILLOS

- W O
- > 350.0
 - 250.0 350.0
 - 150.0 250.0
 - 50.0 150.0
 - < 50.0



| | | | | | |
|--|------------|------------|-----------|---------|-----------------|
| PROYECTO | | | | | CLAVE |
| EXPLORACION MINERA Y APOYO INFRAESTRUCTURAL EN VARIAS RESERVAS DEL ESTADO | | | | | |
| CONTENIDOS EN LOS "CUTTINGS" DE WAGON-DRILL (WOLFRAMIO) | | | | | PLANO N.º 19 |
| DIBUJADO | FECHA | COMPROBADO | AUTOR | ESCALA | CONSULTOR |
| ITGE | Enero 1989 | | J. Liarte | 1:5.000 | |




IGME

PREPARACION MUESTRAS EN ALDEA-MORET (CACERES)

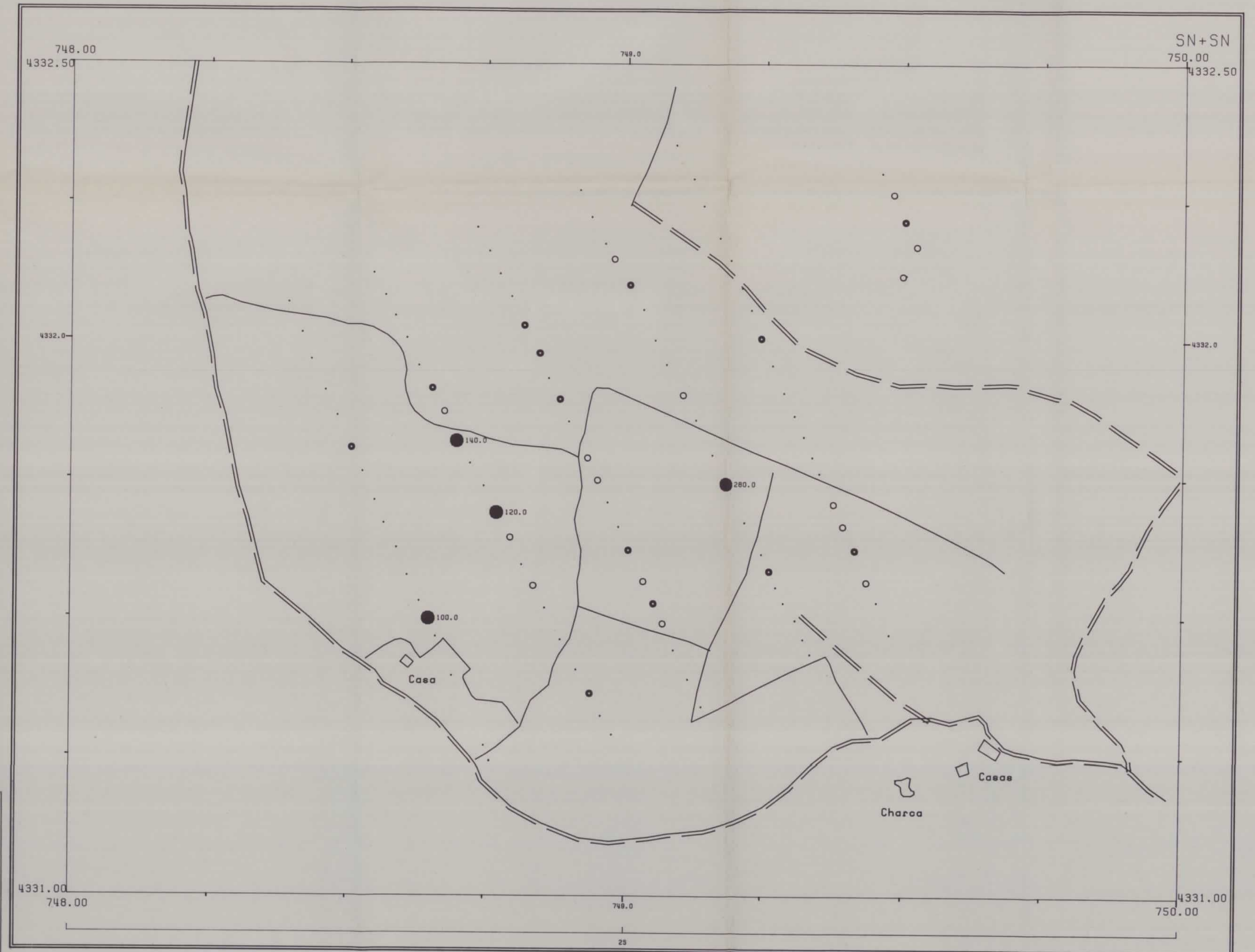
AREA DE LOS LLANILLOS

SN 0

- > 100.0
- 75.0 100.0
- 50.0 75.0
- 25.0 50.0
- < 25.0

 Instituto Tecnológico
GeoMinero de España

| | | | | |
|---|---------------------|--|--------------------|--------------------|
| PROYECTO | | EXPLORACION MINERA Y APOYO INFRAESTRUCTURAL EN VARIAS RESERVAS DEL ESTADO | | CLAVE |
| CONTENIDOS EN LOS "CUTTINGS" DE WAGON-DRILL (ESTAÑO) | | PLANO N.º 20 | | |
| DIBUJADO ITGE | FECHA Enero 1989 | COMPROBADO | AUTOR J. Liarte | ESCALA 1: 5.000 |
| CONSULTOR | | | | |



IGME

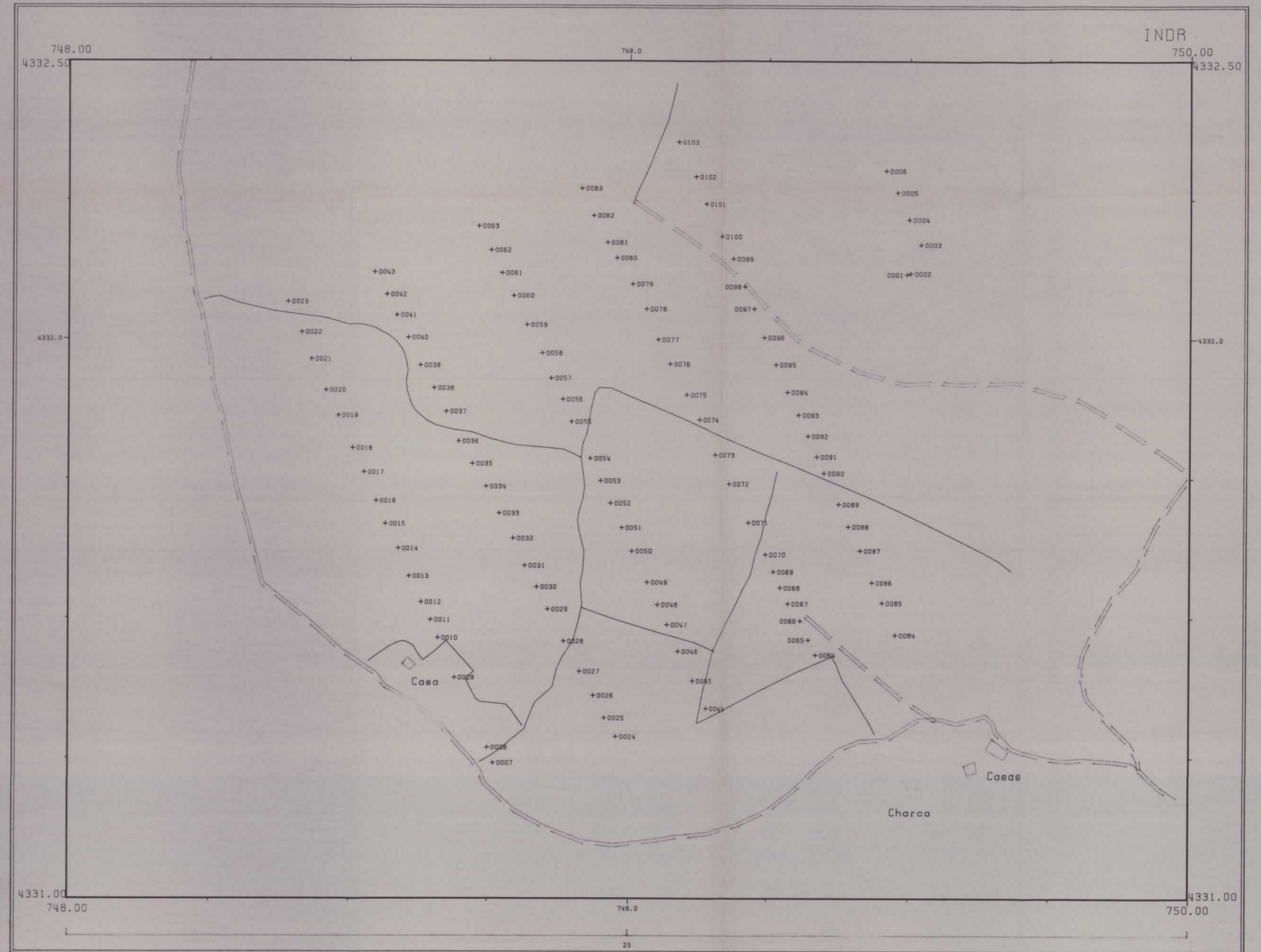
PREPARACION MUESTRAS EN ALDEA-MORET (CACERES)

AREA DE LOS LLANILLOS

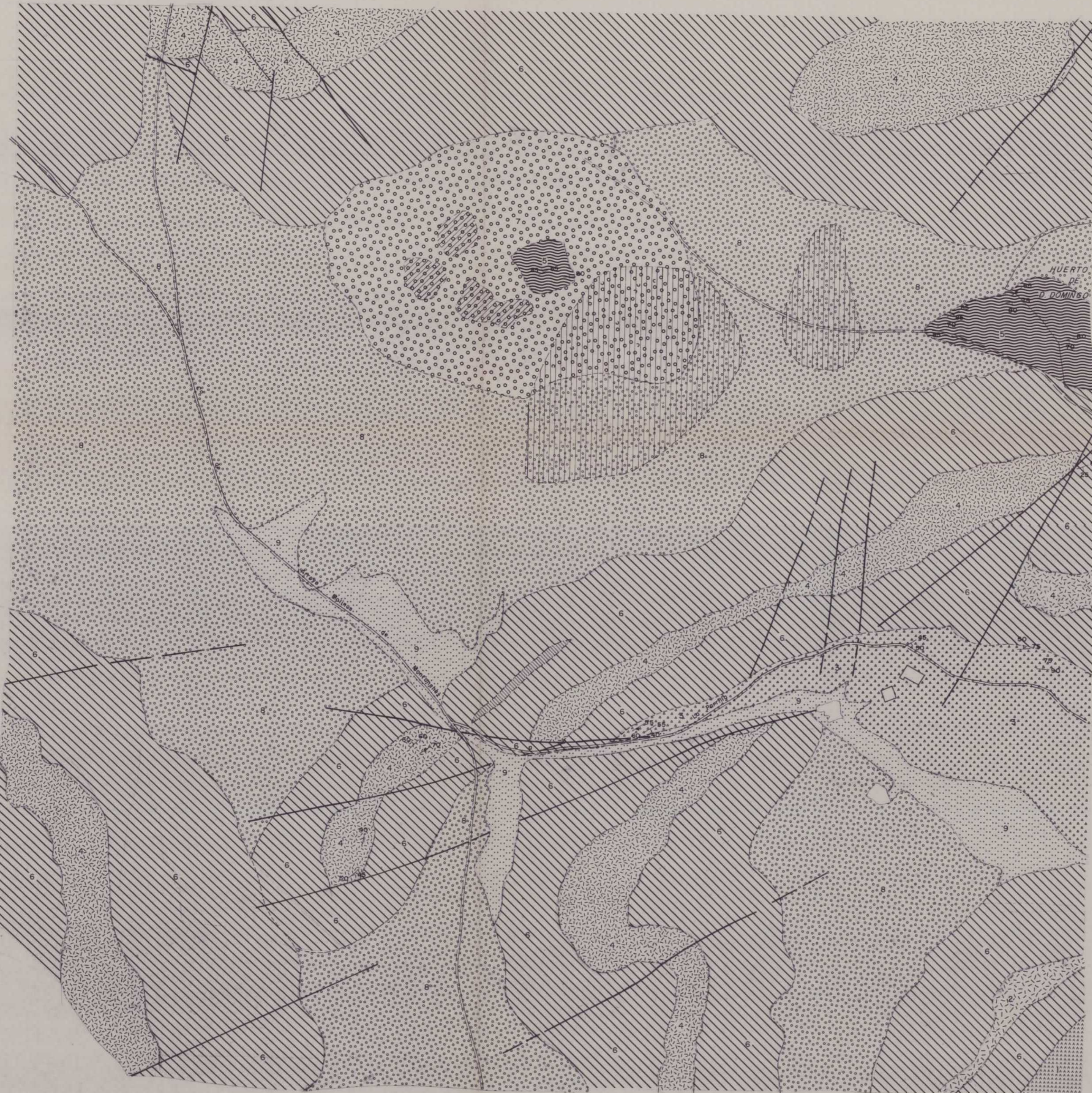
Report des
valeurs en : INDR



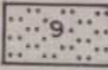
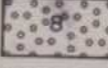
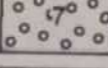
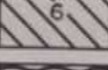
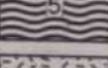
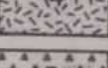
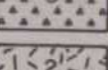
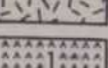
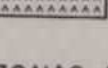
| | | | | | |
|-------------------------------------|------------|--|------------|-----------|-----------------|
| PROYECTO | | EXPLORACION MINERA Y APOYO INFRAESTRUCTURAL EN VARIAS RESERVAS DEL ESTADO | | CLAVE | |
| DIBUJADO | | FECHA | COMPROBADO | AUTOR | ESCALA |
| ITGE | Enero 1989 | J. Liarde | J. Liarde | J. Liarde | 1:5.000 |
| SITUACION DE SONDEOS DE WAGON-DRILL | | | | | PLANO N.º 17 |
| | | | | | CONSULTOR |



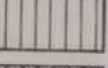

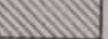
Nº 17







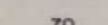
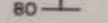

LEYENDA


-  ALUVIAL: Cantos de diverso origen, tamaño y redondez con matriz arcillosa parduzca
-  ELUVION DE PIZARRAS: Cantos de pizarras de menos 5cm. redondeadas con abundante matriz arcillosa, a veces exclusivamente
-  COLUVION DE PIZARRAS: Cantos de pizarras de 10 cm subredondeados con matriz arcillosa pardo-oscura
-  COLUVION DE CUARCITAS: Bloques y cantos angulosos de cuarcitas de hasta 40 cm de diametro con escasa matriz arcillosa, a veces nula (canchoales)
-  Pizarras violetas oscuras con fuerte metamorfismo de contacto del ORDOVICICO INFERIOR
-  Cuarcita en facies "Americana" del ORDOVICICO INFERIOR
-  Lutitas rosáceas y violáceas del VENDIENSE SUPERIOR
-  Cuarcitas y riolitas del VENDIENSE SUPERIOR
-  "Complejo esquistó-grauvácico". Pizarras y grauvacos (mas abundantes estos últimos)

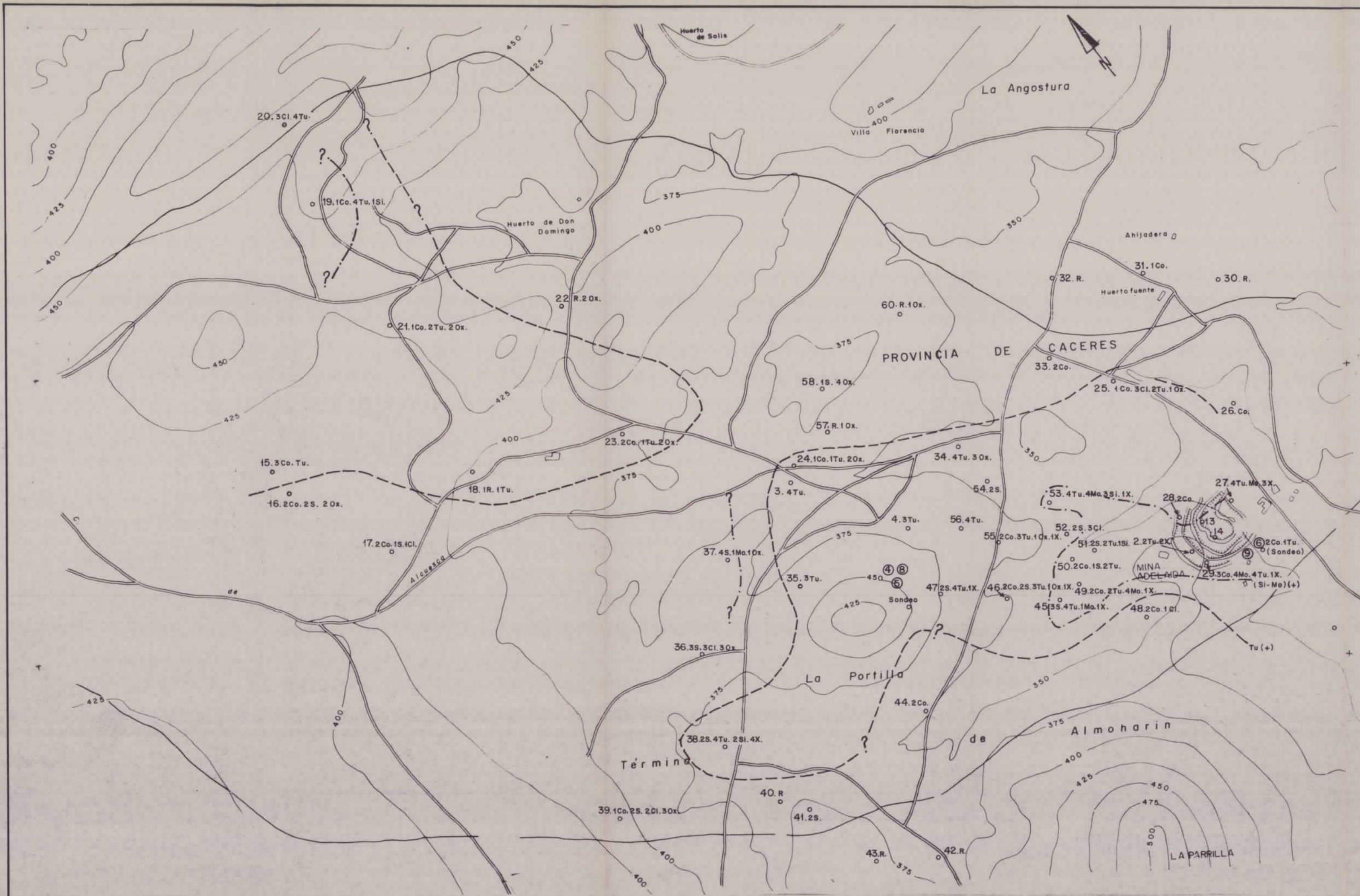
ZONAS ESPECIALES

-  Zonas con cantos de cuarzo filoniano redado muy abundantes, de tamaño hasta de 40cm
-  Zona de amontonamiento de bloques de pizarra con filones de cuarzo con Scheltha visto con lámpara
-  Bloques métricos de cuarcita armoricana trasladada de la pendiente inmediata

SIMBOLOS CONVENCIONALES

-  Contacto discordante
-  Contacto de zonas especiales
-  Falla
-  70
80 Direction and quantity of buzamiento de la S₀
-  Direction and quantity of buzamiento vertical de la S₀
-  60 Direction and quantity of buzamiento de la S principal
-  Direction and quantity of buzamiento vertical de la S principal

| | | | |
|---------------------------------------|--|----------|---|
| DIBUJADO F. Pérez Moras | MINISTERIO DE INDUSTRIA Y ENERGIA INSTITUTO GEOLOGICO Y MINERO DE ESPAÑA | |  |
| FECHA Diciembre 1986 COMPROBADO | | | |
| AUTOR: P. Gumiel y S. Gil (IGME) | PROYECTO: PREPARACION DE MUESTRAS EN ALDEA-MORET (CACERES) 86/87 E INVESTIGACION EN ZONAS DEL CENTRO-OESTE | CLAVE | |
| ESCALA 1: 5.000 | MAPA GEOLOGICO DE DETALLE Sobre ampliación a E=1: 5.000 del fotograma 753 C 06 cuadrante IV | PLANO N° | 13 |
| CONSULTOR | | | |



ALTERACIONES

- Co. - C.f. Contacto
- S. - Sericitización
- Cl. - Clorización
- Tu. - Turmalinización
- Sl. - Silicificación
- Me. - Moscovitización
- X. - Mineralización. — { Scheelita
Casiterita
Wolframita
- Ox. - Oxidación
- R. - Metamorfismo Regional

GRADO DE ALTERACION

- 1. - Muy Bajo
- 2. - Bajo
- 3. - Moderado
- 4. - Alto

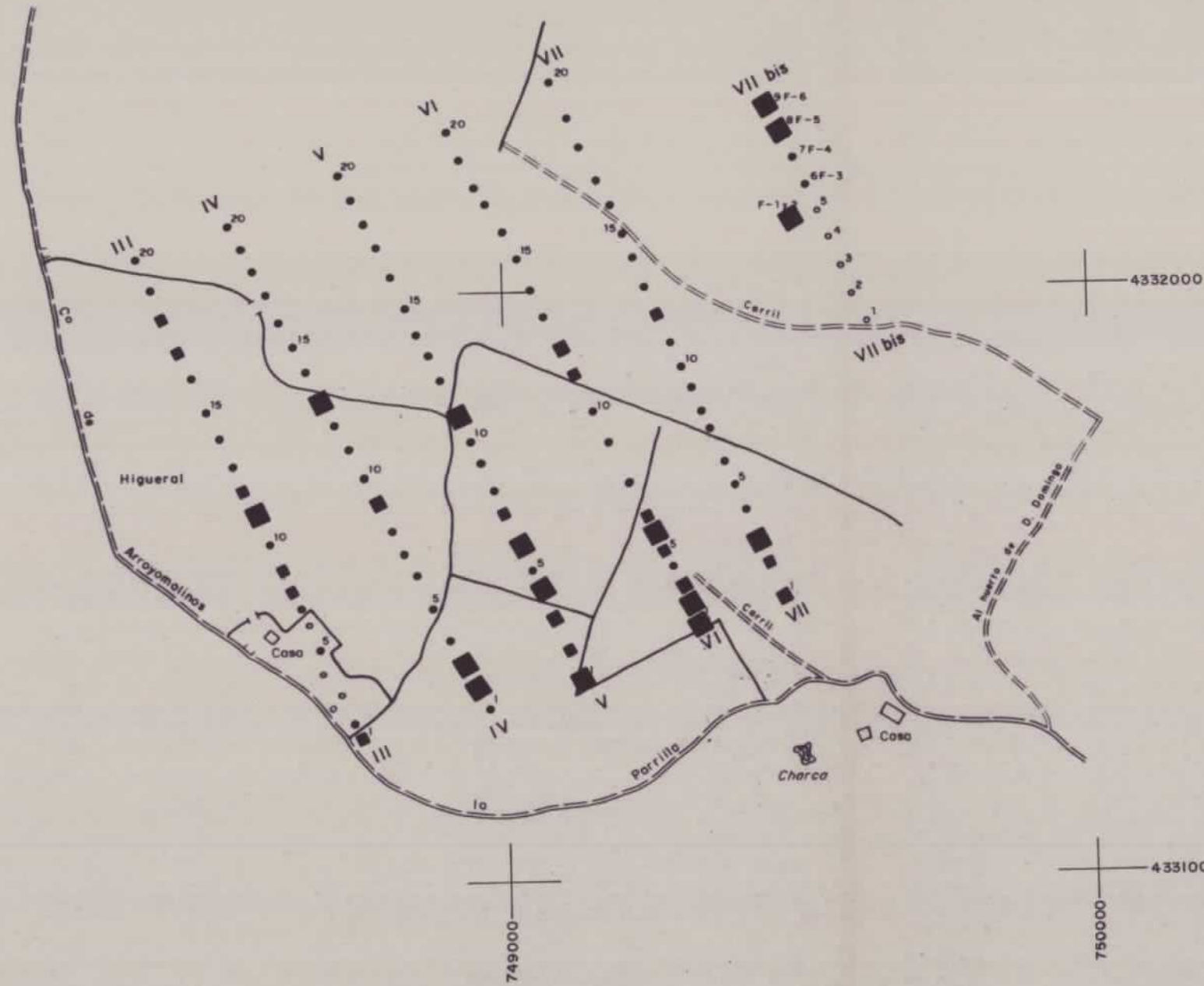
32. - Numero de muestra

--- Zona de Turmalinización

--- Zona de Silicificación-Moscovitización

Ⓞ Muestra de Sondeo

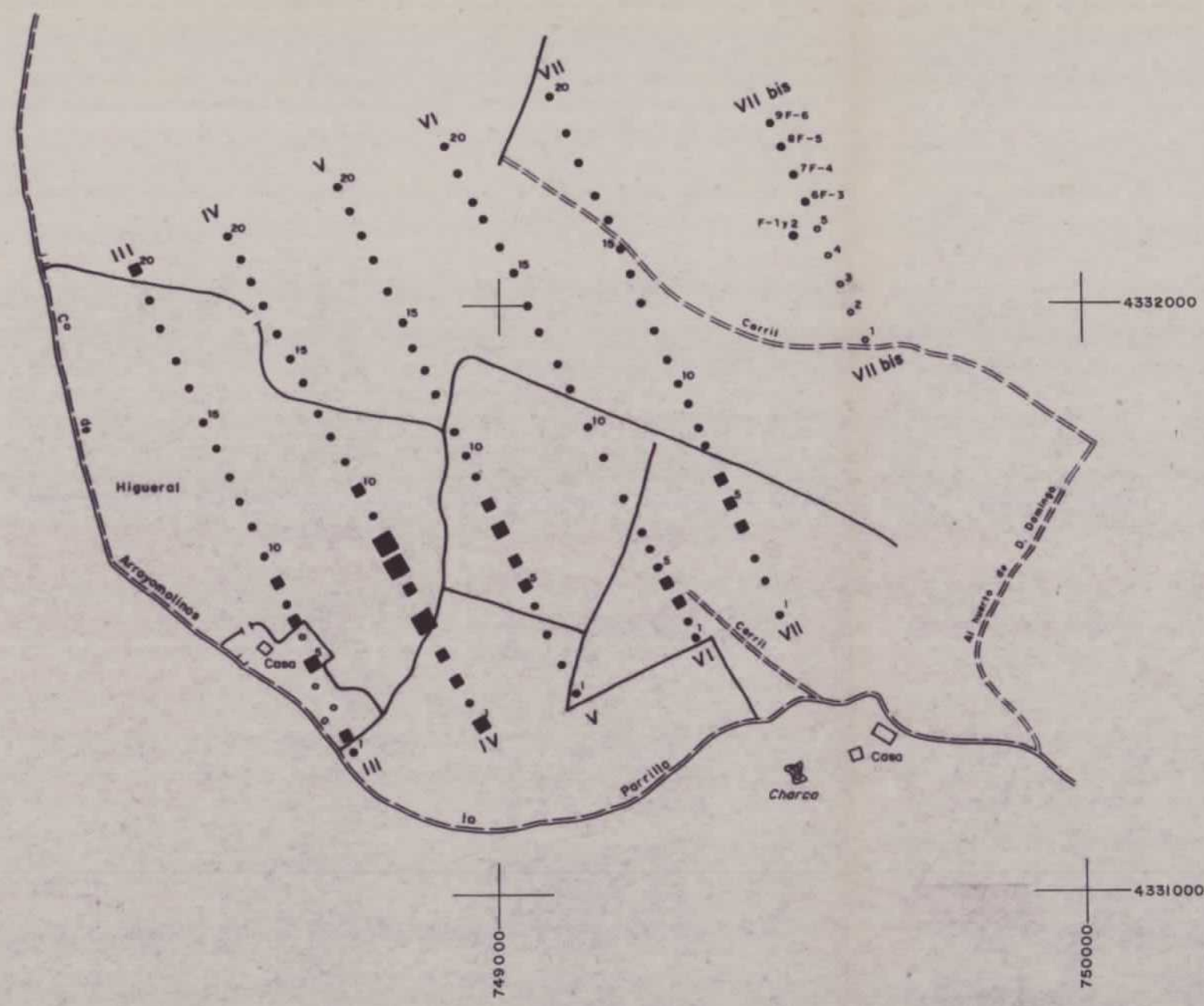
| | | | |
|------------|-------------------|--|----------------|
| DIBUJADO | M. N. M. | MINISTERIO DE INDUSTRIA Y ENERGIA | |
| FECHA | | | |
| COMPROBADO | | INSTITUTO GEOLOGICO Y MINERO DE ESPAÑA | |
| AUTOR | I. R. N. | PROYECTO TRABAJOS DE AMPLIACION DEL PROYECTO INVESTIGACION DE DOS AREAS DE LAS PROVINCIAS DE CACERES Y BADAJOZ (LOS LLANILLOS-CARMONITA) | CLAVE |
| ESCALA | 1:10.000 | | |
| CONSULTOR | I. R. N. s. a. l. | PLANO DE DISTRIBUCCION CUANTITATIVA Y CUALITATIVA DE ALTERACIONES | PLANO N° 11 |



Sílice (SiO₂)


- ≥ 70 %
- 65 a 69 %
- 60 a 64 %
- < 60 %
- Muestra sin analizar

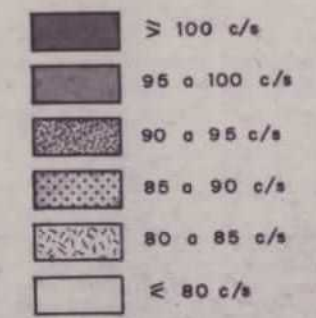
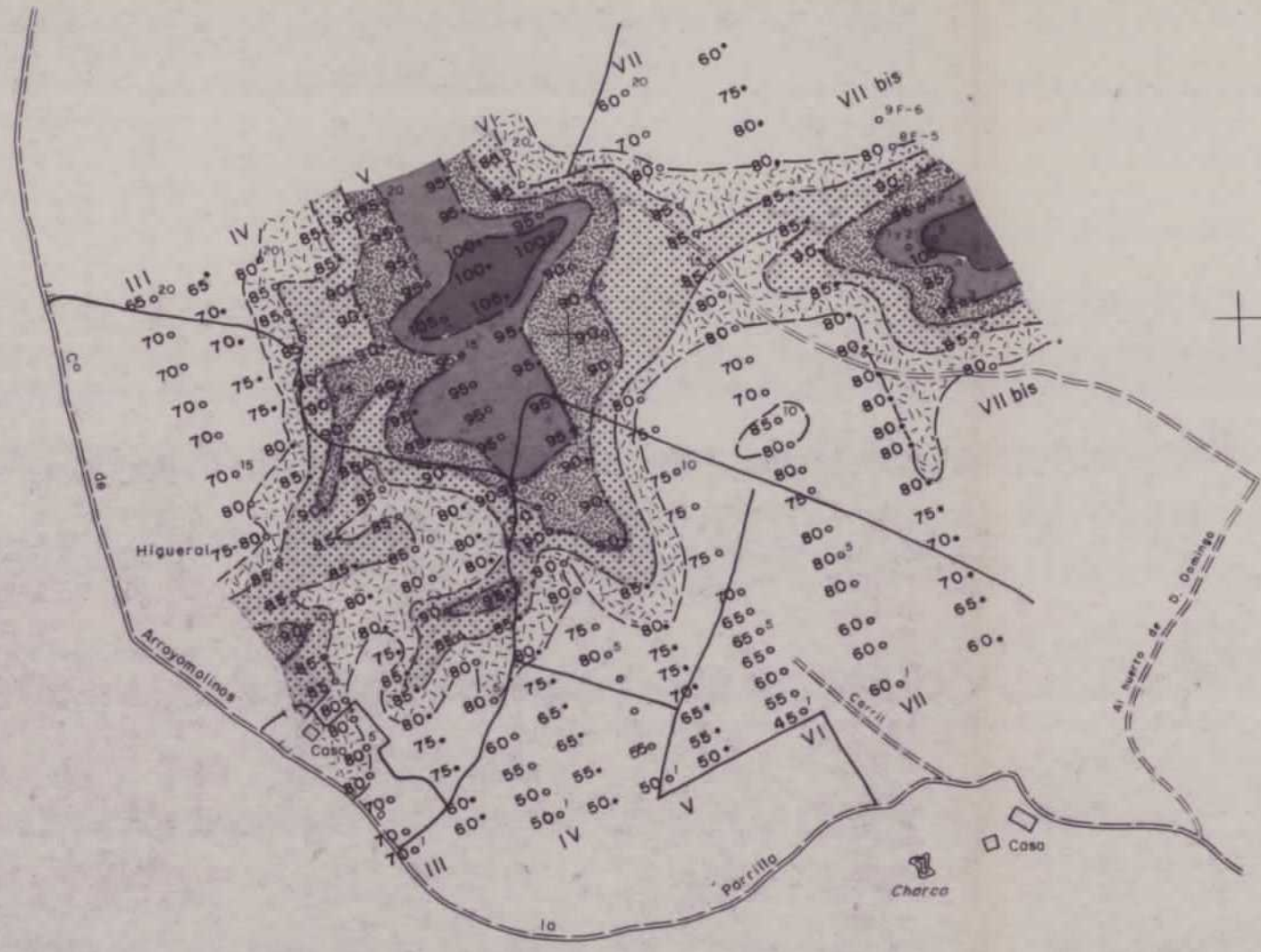
| | | |
|---------------------|---|----------------|
| DIBUJADO IGME | MINISTERIO DE INDUSTRIA Y ENERGIA INSTITUTO GEOLOGICO Y MINERO DE ESPAÑA  | |
| FECHA Marzo 1987 | | |
| COMPROBADO | | |
| AUTOR J. Liarte | PROYECTO: PREPARACION DE MUESTRAS EN ALDEA-MORET (CACERES) 86/87 E INVESTIGACION EN ZONAS DEL CENTRO-OESTE | CLAVE |
| ESCALA 1:10.000 | | |
| CONSULTOR | CONTENIDOS EN LOS "CUTTINGS" DE WAGON DRILL (Sílice) | PLANO N° 34 |



Ytrio

- \geq 50 ppm
- 28 a 49 ppm
- 15 a 27 ppm
- < 15 ppm
- Muestra sin analizar

| | | |
|---------------------|---|----------------|
| DIBUJADO IGME | MINISTERIO DE INDUSTRIA Y ENERGIA INSTITUTO GEOLOGICO Y MINERO DE ESPAÑA  | |
| FECHA Marzo 1987 | | |
| COMPROBADO | | |
| AUTOR J. Liarte | PROYECTO: PREPARACION DE MUESTRAS EN ALDEA-MORET (CACERES) 86/87 E INVESTIGACION EN ZONAS DEL CENTRO-OESTE | CLAVE |
| ESCALA 1:10.000 | | |
| CONSULTOR | CONTENIDOS EN LOS "CUTTINGS" DE WAGON DRILL (Ytrio) | PLANO N° 27 |



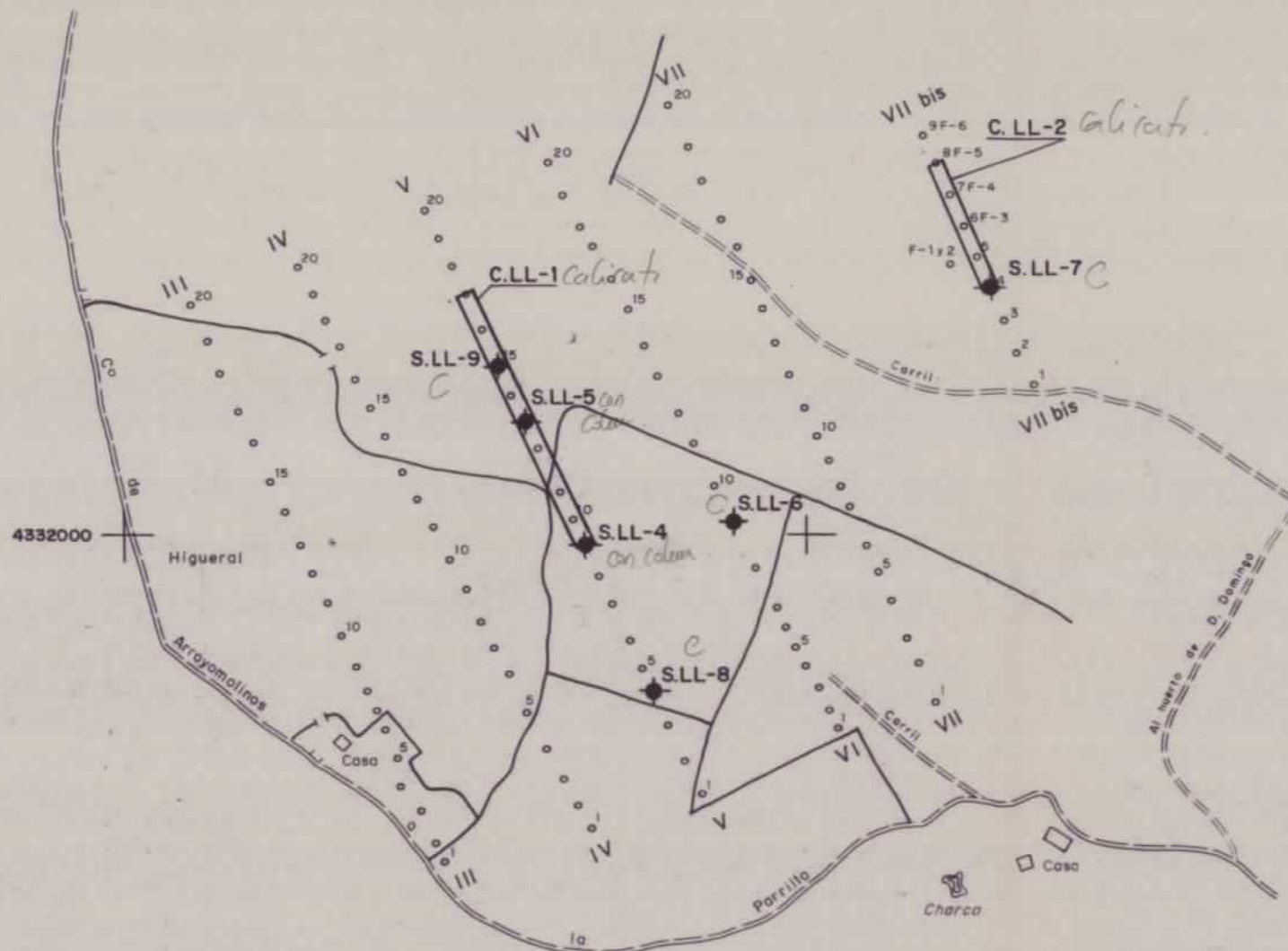
| | | |
|---------------------|---|--------------------|
| DIBUJADO IGME | MINISTERIO DE INDUSTRIA Y ENERGIA INSTITUTO GEOLOGICO Y MINERO DE ESPAÑA  | CLAVE |
| FECHA Marzo 1987 | | |
| COMPROBADO | | |
| AUTOR J. Liarte | PROYECTO: PREPARACION DE MUESTRAS EN ALDEA-MORET (CACERES) 86/87 E INVESTIGACION EN ZONAS DEL CENTRO-OESTE | PLANO N° 41 |
| ESCALA 1:10.000 | | |
| CONSULTOR | MEDIDAS DE RADIACION GAMMA EN C/S (Escintilómetro SAPHYMO S.P.P.ZNF) | |



433300 0
748000

749000


750000

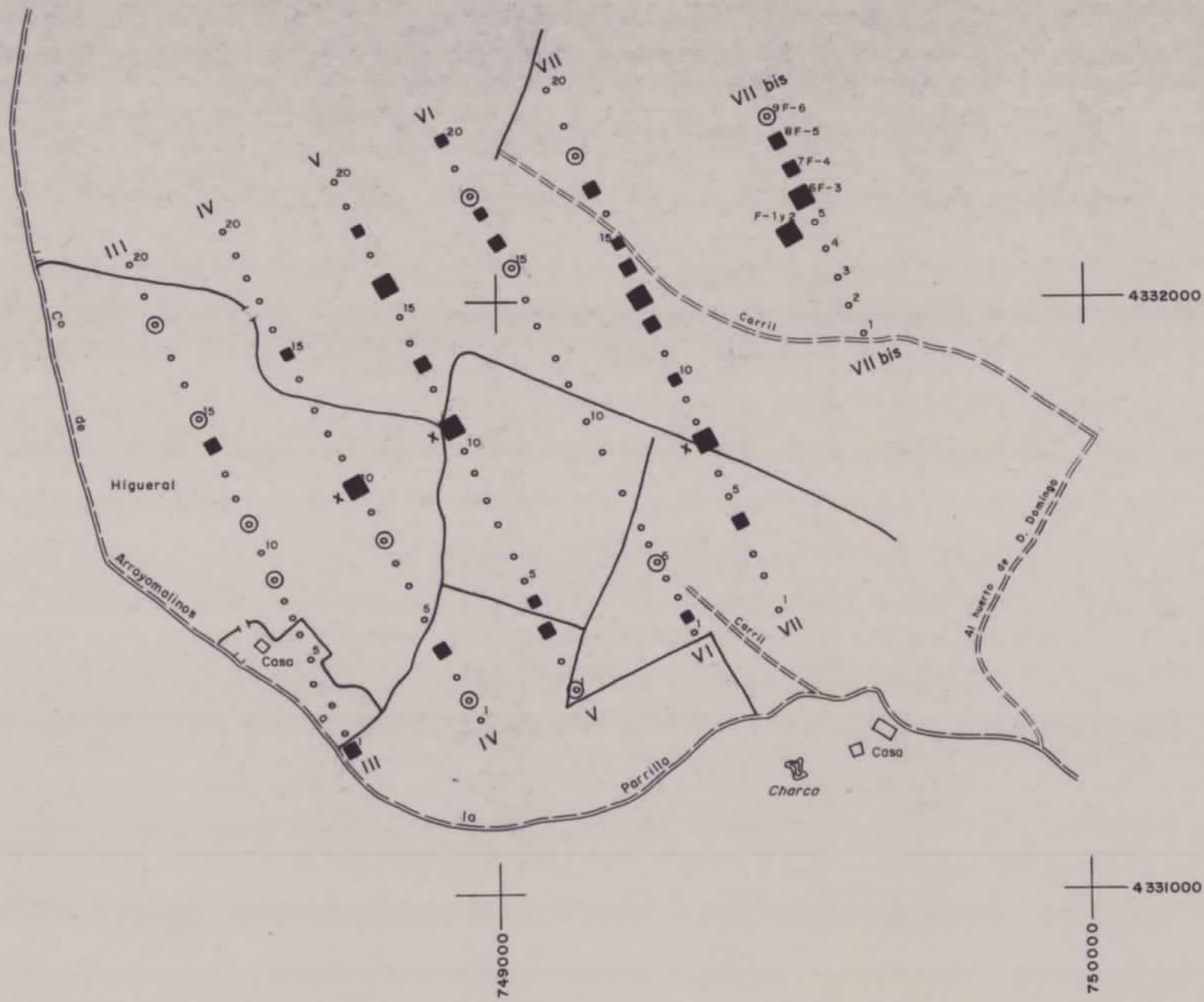


4332000

4331000


CALICATA
 SONDEO

| | | |
|---------------------|--|----------------|
| DIBUJADO IGME | MINISTERIO DE INDUSTRIA Y ENERGIA INSTITUTO GEOLOGICO Y MINERO DE ESPAÑA  | |
| FECHA Marzo 1987 | | |
| COMPROBADO | | |
| AUTOR J. Liarte | PROYECTO: PREPARACION DE MUESTRAS EN ALDEA-MORET (CACERES) 86/87 E INVESTIGACION EN ZONAS DEL CENTRO - OESTE | CLAVE |
| ESCALA 1:10.000 | | |
| CONSULTOR | SITUACION DE CALICATAS Y SONDEOS | PLANO N° 42 |



Alteraciones

- Muy fuerte
- Fuerte
- Debil
- ⊙ Inapreciable
- Muestra no examinada
- x Greissen

| | | |
|---------------------|---|----------------|
| DIBUJADO IGME | MINISTERIO DE INDUSTRIA Y ENERGIA INSTITUTO GEOLOGICO Y MINERO DE ESPAÑA  | |
| FECHA Marzo 1987 | | |
| COMPROBADO | | |
| AUTOR J. Liarte | PROYECTO: PREPARACION DE MUESTRAS EN ALDEA-MORET (CACERES) 86/87 E INVESTIGACION EN ZONAS DEL CENTRO-OESTE | CLAVE |
| ESCALA 1:10.000 | | |
| CONSULTOR | ALTERACIONES HIDROTERMALES EN LOS "CUTTINGS" DE WAGON DRILL | PLANO N° 40 |



- LEYENDA**
- Terciario
 - Carbonifero
 - Pizarras Armoricana
 - Cuarcita Armoricana
 - Vendienense
 - Complejo E. Gr. Precambrico
 - CONDUCTOR VLF
 - MUESTRA DE DENSIDAD, K y S

| | | |
|------------|----------------------------------|----------|
| DIBUJADO | A. Vallejo | |
| FECHA | Octubre 1987 | |
| COMPROBADO | | |
| AUTOR | PROFESOR | CLAVE |
| ESCALA | 1:10.000 | |
| CONSULTOR | SITUACION DE TRABAJOS GEOFISICOS | |
| | | PLANO N° |
| | | 14 |

NOTA.- Cuadrícula de coordenadas UTM con aproximación de ± 100 m.

MINISTERIO DE INDUSTRIA Y ENERGIA
INSTITUTO GEOLOGICO Y MINERO DE ESPAÑA